

मौलाना आजाद राष्ट्रीय प्रौद्योगिकी संस्थान, भोपाल भौतिकी विभाग

# प्रयोगशाला पुस्तिका Lab Mannuals

बी.टेक. प्रथम / द्वितीय सेमेस्टर (B.Tech. I Sem/II Sem)



MAULANA AZAD

NATIONAL INSTITUTE OF TECHNOLOGY, BHOPAL

DEPARTMENT OF PHYSICS

Prepared by Dr. Fozia Z. Haque Lab Incharge

## List of Experiments

## B.Tech. I & II Sem,

## Physics Lab

- 1. To plot the characteristics curves of a p-n junction diode.
- To plot the characteristics curves of PNP transistors in CE mode.
- To perform Melde's Experiment in transverse and longitudinal modes and determine the frequency of an electrically maintained tuning fork.
- 4. To determine frequency of AC mains using an electrical vibrator.
- To determine the radius of curvature of a lens by Newton's ring method.
- To determine the refractive index of the material of the prism for various colors of mercury light using prism and spectrometer.
- To determine the dispersive power of the material of the prism using spectrometer.
- To determine the wavelength of different colors of mercury light using a plane transmission grating.
- To determine percentage of transmission of light for a semi transparent film using Lummer-Brodhum photometer.
- To study diffraction at a single slit using He-Ne laser.
- 11. To determine the wavelength of He-Ne laser by Michelson Interferometer.
- 12. To determine Hall Potential and Hall Coefficient.
- 13. To study the characteristic of Photo Cell.
- To verify the formula for the combination of lenses and to determine the cardinal points of the combination using Nodal Slide assembly.
- To measure resistivity of a semiconductor by Four Probe method at different temperatures and determine the Band-gap.
- 16. To determine the Plank's Constant using LED
- To study the characteristic of Photoconductive material.

## प्रयोगों की सूची

बी.टेक. प्रथम / तििीय सेमेस्टर

## भौतिकी प्रयोगशाला

- पी-एन जंक्शन डायोड के अभिलक्षणिक वक्रों को प्लॉट करना तथा इसके प्रतिरोध की गणना करना।
- 2. सीई मोड में पीएनपी ट्रांजिस्टर के अभिलक्षणिक वक्रों को प्लॉट करना।
- अनुप्रस्थ तथा अनुदैर्ध्य मोड में मेल्डे का प्रयोग करना तथा विद्युत रूप से अनुरक्षित ट्यूनिंग कांटा की आवृत्ति निर्धारित करना।
- विद्युत वाइब्रेटर का उपयोग करके एसी मेन्स की आवृत्ति निर्धारित करना।
- न्यूटन की रिंग विधि द्वारा लेंस की वक्रता त्रिज्या निर्धारित करना।
- प्रिज्म तथा स्पेक्ट्रोमीटर का उपयोग करके पारे के प्रकाश के विभिन्न रंगों के लिए प्रिज्म की सामग्री का अपवर्तनांक निर्धारित करना।
- 7. स्पेक्ट्रोमीटर का उपयोग करके प्रिज्म के पदार्थ की विक्षेपण क्षमता निर्धारित करना।
- प्लेन टरांसगमशन ग्रेटिंग का उपयोग करके पारे के प्रकाश के विभिन्न रंगों की तरंगदैर्घ्य निर्धारित करना।
- लुमर-ब्रोधम फोटोमीटर का उपयोग करके अर्ध पारदर्शी फिल्म के लिए प्रकाश के संचरण का प्रतिशत निर्धारित करना।
- 10. He-Ne लेजर का उपयोग करके एकल स्लिट पर विवर्तन का अध्ययन करना।
- 11. माइकलसन इंटरफेरोमीटर द्वारा He-Ne लेजर की तरंग दैर्घ्य निर्धारित करना।
- 12. हॉल पोटेंशियल और हॉल गुणांक निर्धारित करना।
- 13. फोटो सेल की विशेषता का अध्ययन करना।
- 14. लेंस के संयोजन के लिए सूत्र को सत्यापित करना और नोडल स्लाइड असेंबली का उपयोग करके संयोजन के कार्डिनल पॉइंट निर्धारित करना।
- 15. विभिन्न तापमानों पर फोर प्रोब विधि द्वारा अर्धचालक की प्रतिरोधकता को मापना और बैंड-गैप निर्धारित करना।
- 16. एलईडी का उपयोग करके प्लैंक स्थिरांक निर्धारित करना।
- 17. फोटोकंडक्टिव पदार्थ की विशेषता का अध्ययन करना।

# MAULANA AZAD NATIONAL INSTITUTE OF TECHNOLOGY, BHOPAL DEPARTMENT OF PHYSICS

## B.Tech. I & II Sem EXPERIMENT: STUDY OF DIODE

#### AIM:

To study the forward and reverse characteristics of Si and Ge junction diode.

#### THEORY:

Semiconductor P-N junction is practically unidirectional, device having more conduction in one direction and negligible conduction in opposite direction.

When P-N junction is formed, potential barrier is developed across the junction that opposes the further transition of electrons and holes across the junction. Now if the external potential difference is applied across the junction so that the P end is connected to the +ve of external supply, it will oppose the junction potential barrier and when external P.D. just balances the P.D., now it becomes easy for electrons and holes to move towards the junction and cross the junction. Thus with further increase in external P.D. more and more electrons and holes will cross the junction and contribute towards external current in the circuit. Hence diode conducts and it is referred to as Forward bias.

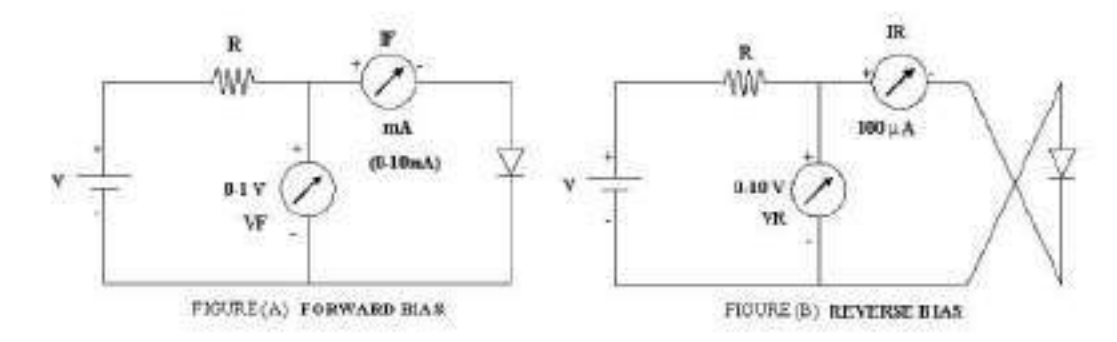
If the polarity of external supply is reversed so that P end is connected to the -ve of external supply, it will assist the junction potential difference and width of depletion layer will further increase making it still for electrons and holes to cross the junction. Hence diode will not conduct and it is referred as Reverse bias.

However due to minority carries very small current of the order of few µA is observed when diode is Reverse Bias. But as compared to forward current which is of the order of few mA practically we can neglect the neglect the reverse current and p-n junction diode may be treated as unidirectional device.

Semiconductor used for the manufacturing of p-n junction diode may be Si and Ge. The basic difference between Si and Ge is the energy band gap is 1.21 eV for Si and 0.72 eV for Ge at room temperature. Both Si and Ge diodes are commercially available.

A number of differences between these two types are relevant in design. A note worthy feature of I-V characteristics is that there exist cut in or threshold voltage Vt the current rises very rapidly. It is found that Vt is approximately 0.2 V for Ge and 0.6 V for Si. Note that the cut-in voltage for Si diode is offset about 0.4 V with respect to the cut-in voltage for Ge. The reason for this difference if found in part, in the fact that the reverse saturation current in Ge diode is normally larger by a factor of about 100, then the reverse saturation current in a Si diode of comparable ratings.

### CIRCUIT DIAGRAM:



#### PROCEDURE:

## (A) FORWARD CHARACTERISTICS:

- Make connection as shown in figure (A).
- Keep meter switches as under Voltmeter = 1 V and Ammeter = 10 mA
- Gradually increase VF in steps of 0.1 V from 0 and note IF(forward current). Tabulate the readings.

## (B) REVERSE CHARACTERISTICS:

- 1. Make connection as shown in figure (B)
- Keep meter switches as under Voltmeter = 10V and Ammeter = 100 uA
- 3. Gradually increase VR in steps of 1 V and measure diode current.
- 4. Plot the graph between VR and IR

### OBSERVATIONS:

- a) Least Count of Ammeters = .......mA, and .......μA b) Least Count of Voltmeters = ......V
- of the country of the

#### TABLE 1: FORWARD CHARACTERISTICS

S.No.	V <sub>F</sub> (Volts)	I <sub>F</sub> (mA)
1.	1000	2 500 50
2.		
2		
¥8		

#### TABLE 2: REVERSE CHARACTERISTICS

S.No.	V <sub>R</sub> ( Volts)	$I_R(\mu A)$
1,		
2.		

### RESULTS AND CONCLUSION:

From I-V characteristics of diode it is observed that, diode conducts, when it is forward bias. Current increases rapidly with forward voltage. However there is cut-in voltage below which there is no conduction. In reverse bias, reverse saturation current of diode is very small, of the order of few micro amperes.

The diode can be used as a unidirectional device which finds important application as rectifier. It is observed from the comparisons of V-I characteristics of Si and Ge that the cut-in voltage for the Ge diode is smaller than cut-in Si diode and forward current for Ge diode is larger for same forward voltage.

Reverse saturation current in Ge diode is also higher than the reverse saturation current in Si diode for comparable range.

#### SOURCES OF ERRORS AND PRECAUTIONS:

- Ensure proper connection of the diode with the correct polarity (anode to positive, cathode to negative) when connecting to the circuit.
- ii. Avoid exceeding the maximum current rating of the diode
- iii. Increase the applied voltage gradually to observe the diode's behavior

## मौलाना आजाद राष्ट्रीय प्रौद्योगिकी संस्थान, भोपाल

भौतिकी विभाग

बी.टेक. प्रथम / द्वितीय सेमेस्टर

## प्रयोग: डायोड का अध्ययन

उद्देश्य: Si और Ge जंक्शन डायोड की अग्रगामी (फॉरवर्ड बायस) और पश्चगामी (रिवर्स बायस) विशेषताओं का अध्ययन करना।

## सिद्धांत:

अर्धचालक P-N जंक्शन व्यावहारिक रूप से एकदिशीय होता है, जिसमें एक दिशा में अधिक चालन होता है और विपरीत दिशा में नगण्य चालन होता है।

जब P-N जंक्शन बनता है, तो जंक्शन के आर-पार विभवांतर विकसित होता है जो जंक्शन के आर-पार इलेक्ट्रॉनों और छिद्रों के आगे संक्रमण का विरोध करता है। अब यदि जंक्शन के आर-पार बाहरी विभवांतर लगाया जाता है ताकि P छोर बाहरी आपूर्ति के +ve से जुड़ जाए, तो यह जंक्शन विभव अवरोध (पोटेंशियल बैरिपर) का विरोध करेगा और जब बाहरी विभवांतर को संतुलित कर देता है, तो अब इलेक्ट्रॉनों और छिद्रों के लिए जंक्शन की ओर बढ़ना और जंक्शन को पार करना आसान हो जाता है। इस प्रकार बाहरी विभवांतर में और वृद्धि के साथ अधिक से अधिक इलेक्ट्रॉन और छिद्र जंक्शन को पार करेंगे और सर्किट में बाहरी धारा की ओर योगदान देंगे। इसलिए डायोड चालन करता है और इसे अग्रगामी (फॉरवर्ड बायस) कहा जाता है।

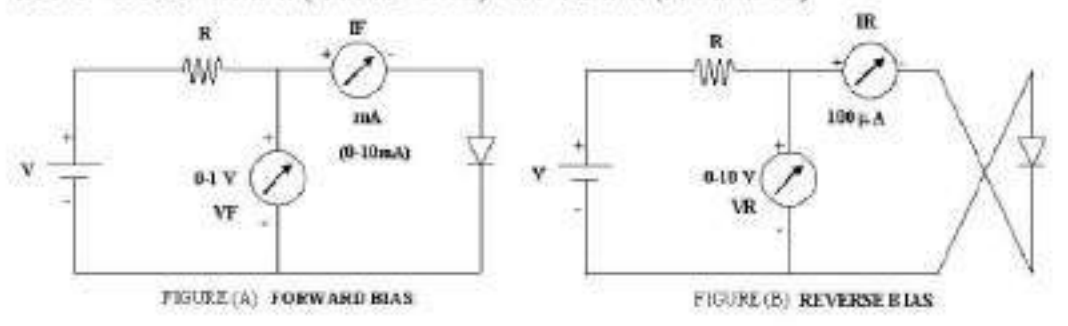
यदि बाहरी आपूर्ति की ध्रुवता को उलट दिया जाए ताकि P छोर बाहरी आपूर्ति के -ve से जुड़ जाए, तो यह जंक्शन विभव अंतर में सहायता करेगा और कमी परत की चौड़ाई और बढ़ जाएगी जिससे इलेक्ट्रॉनों और छिद्रों के लिए जंक्शन को पार करना अभी भी संभव हो जाएगा। इसलिए डायोड चालन नहीं करेगा और इसे पश्चगामी (रिवर्स बायस) कहा जाता है।

हालाँकि अल्पसंख्यक होने के कारण डायोंड रिवर्स बायस होने पर कुछ µA के क्रम का बहुत छोटा करंट देखा जाता है। लेकिन फाँरवर्ड करंट की तुलना में जो व्यावहारिक रूप से कुछ mA के क्रम का होता है, हम रिवर्स करंट की उपेक्षा कर सकते हैं और p-n जंक्शन डायोड को एकतरफा डिवाइस के रूप में माना जा सकता है।

p-n जंक्शन डायोड के निर्माण के लिए उपयोग किए जाने वाले सेमीकंडक्टर Si और Ge हो सकते हैं। Si और Ge के बीच मूल अंतर यह है कि कमरे के तापमान पर ऊर्जा बैंड गैप Si के लिए 1.21 eV और Ge के लिए 0.72 eV है। Si और Ge दोनों डायोड व्यावसायिक रूप से उपलब्ध हैं।

इन दोनों प्रकारों के बीच कई अंतर डिजाइन में प्रासंगिक हैं। I-V विशेषताओं की एक उल्लेखनीय विशेषता यह है कि कट इन या थ्रेशोल्ड वोल्टेज Vt मौजूद है, करंट बहुत तेज़ी से बढ़ता है। यह पाया गया है कि Vt Ge के लिए लगभग 0.2 V और Si के लिए 0.6 V है। ध्यान दें कि Si डायोड के लिए कट-इन वोल्टेज Ge के लिए कट-इन वोल्टेज के संबंध में लगभग 0.4 V ऑफसेट है। इस अंतर का कारण आंशिक रूप से पाया जाता है, इस तथ्य में कि Ge डायोड में रिवर्स सैचुरेशन करंट आम तौर पर तुलनात्मक रेटिंग के Si डायोड में रिवर्स सैचुरेशन करंट से लगभग 100 गुना बड़ा होता है।

सर्किट आरेख: अग्रगामी (फॉरवर्ड बायस) और पश्चगामी (रिवर्स बायस)



## प्रक्रिया:

(a) फॉरवर्ड विशेषताएँ:

चित्र (A) में दिखाए अनुसार कनेक्शन बनाएँ।

2. मीटर स्विच को दिए अनुसार रखें: वोल्टमीटर -1 V और एमीटर - 10 mA

- 0 से 0.1 V के चरणों में धीरे-धीरे VF बढ़ाएँ और IF (फॉरवर्ड करंट) नोट करें। रीडिंग को सारणीबद्ध करें।
- (b) रिवर्स विशेषताएँ:

चित्र (बी) में दिखाए अनुसार कनेक्शन बनाएँ

- मीटर स्विच को दिए अनुसार रखें: वोल्टमीटर =10V और एमीटर = 100 μA
- 1.0V के चरणों में धीरे-धीरे VR बढ़ाएँ और डायोड करंट को मापें।
- VR और IR के बीच ग्राफ़ बनाएँ

## अवलोकनः

a) एमीटर का लघुत्तमांक=......A, =.....µA

b) वोल्टमीटर का लघुत्तमांक =......V

तालिका 1: अग्रगामी (फॉरवर्ड बायस) की विशेषताएँ

S.No.	V <sub>F</sub> (Volts)	I <sub>F</sub> (mA)
1.	75/67 —37.	7 546 18
2.		

तालिका 2: पश्चगामी (रिवर्स बायस) की विशेषताएँ

S.No.	V <sub>R</sub> ( Volts)	I <sub>R</sub> (µA)
1.	5-1/05@11	
2.		
**		

## परिणाम और निष्कर्ष:

डायोड की I-V विशेषताओं से यह देखा गया है कि, डायोड तब संचालित होता है, जब यह आगे की ओर बायस होता है। आगे की ओर वोल्टेज के साथ धारा तेजी से बढ़ती है। हालांकि, कट-इन वोल्टेज होता है जिसके नीचे कोई चालन नहीं होता है। रिवर्स बायस में, डायोड का रिवर्स सैचुरेशन करंट बहुत छोटा होता है, कछ माइक्रो एम्पीयर के क्रम का।

डायोड का उपयोग एकतरफा उपकरण के रूप में किया जा सकता है, जिसका रेक्टिफायर के रूप में महत्वपूर्ण अनुप्रयोग होता है। Si और Ge की V-I विशेषताओं की तुलना से यह देखा गया है कि Ge डायोड के लिए कट-इन वोल्टेज Si डायोड के कट-इन से छोटा है और Ge डायोड के लिए फॉरवर्ड करंट समान फॉरवर्ड वोल्टेज के लिए बड़ा है।

Ge डायोड में रिवर्स सैचुरेशन करंट भी तुलनीय रेंज के लिए Si डायोड में रिवर्स सैचुरेशन करंट से अधिक है।

## त्रुटियों के स्रोत और सावधानियाँ:

- सर्किट से कनेक्ट करते समय डायोड का सही ध्रुवता (एनोड से पॉजिटिव, कैथोड से नेगेटिव) के साथ उचित कनेक्शन सिनिश्चित करें।
- ii. डायोड की अधिकतम वर्तमान रेटिंग को पार करने से बचें
- डायोड के व्यवहार का निरीक्षण करने के लिए धीरे-धीरे लागू वोल्टेज बढ़ाएँ

#### MAULANA AZAD

## NATIONAL INSTITUTE OF TECHNOLOGY, BHOPAL

## DEPARTMENT OF PHYSICS

## B.Tech. 1 Sem/II Sem

## CHARACTERISTICS CURVE OF A TRANSISTOR

AIM: To study and plot the transistor input and output characteristics for common emitter configuration.

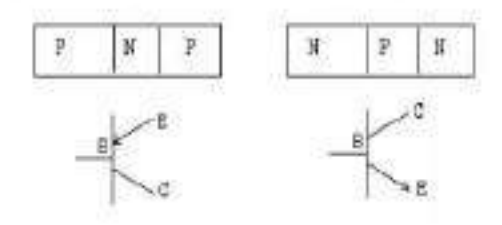
APPARATUS: A prepared kit of transistor with connecting wires.

THEORY: Transistor is a three terminal device, consisting of three different doped semi conducting regions, separated by two junctions. These are named as emitter, base and collector.

The doping in the three regions is not the same. The doping is heavy in the emitter region, and is light in base region, while it is only moderate in the collector region. Area of cross section is also not the same throughout, but goes on increasing from emitter towards collector. The base region of the transistor is invariably thin.

There are two types of junction transistors. Figure shows the cross sections of the NPN and PNP transistors, along with their electrical symbols.

In a transistor, collector base junction is always reverse biased. Naturally small current flows through the diode circuit. Current in this circuit can be increased by forward biasing the emitter base junction. When the emitter base junction is forward biased, heavily doped emitter ejects large number of majority carriers into the base region. These carriers diffuse through



the base region, and enter into the collector region, constituting the increasing current in the collector circuit of the transistor. But base being thin and lightly doped, few of the minority carriers ejected into it, are lost by the recombination with the opposite type of majority carriers ejected into it, are most by way of recombination with opposite type majority carriers present in the base region. This

constitutes the base current. The most of the majority carriers ejected into the base region diffuses into the collector region. This collector current is almost equal to the emitter current. Hence difference between emitter and collector current is the base current of the transistor.

Thus Emitter current  $(I_E)$  = Collector current  $(I_C)$  + Base current  $(I_R)$ 

The current gain in the common-emitter circuit is called BETA (β). Beta is the relationship of collector current (output current) to base current (input current). To calculate beta, use the following formula:

$$\beta = \frac{\Delta I c}{\Delta I a}$$

Δ is the Greek letter delta, it is used to indicate a small change. The resistance gain of the common emitter can be found in a method similar to the one used for finding beta:

$$R = \frac{R_{out}}{R_{in}}$$

Once the resistance gain is known, the voltage gain is easy to calculate since it is equal to the current gain ( $\beta$ ) multiplied by the resistance gain ( $E = \beta R$ ). And, the power gain is equal to the voltage gain multiplied by the current gain ( $P = \beta E$ ).

## PROCEDURE:

## INPUT CHARACTERISTICS

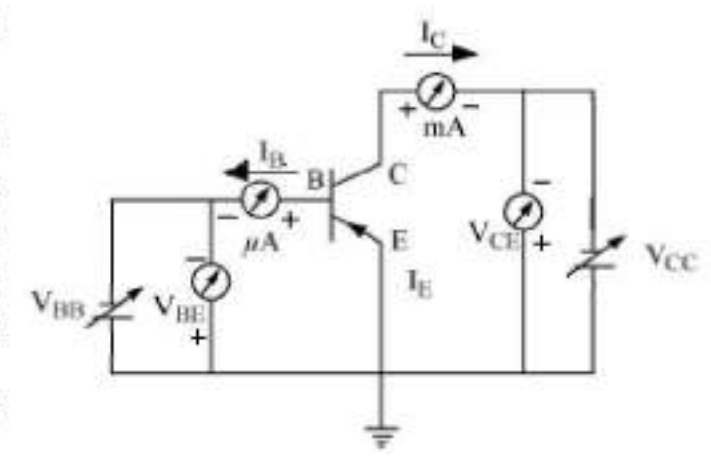
- 1. Keep collector to emitter voltage constant say 1.0 V
- Increase dc voltage applied to the forward biased base emitter junction in proper steps and in each case note V<sub>B</sub> and I<sub>B</sub> reading.

1

 Repeat the steps for different V<sub>CE</sub> voltages.

### OUTPUT CHARACTERISTICS:

- Keep base current I<sub>B</sub> constant at say 20 μA.
- Increase collector to emitter voltage Vc in proper steps and for each value of Vc record corresponding collector current Ic
- Repeat the steps for different values of I<sub>B</sub>.



OBSERVATIONS: a) Least Count of Ammeters = ......mA and = .......μA b) Least Count of Voltmeters = ......V

## TABLE 1:

V <sub>C</sub> =			V <sub>C</sub> =		
IB	$V_{BE} / I_B = Rin$	V <sub>BE</sub>	I <sub>B</sub>	$V_{BE} / I_{B} = Rin$	
				1	
	IB	$I_B$ $V_{BE} / I_B = Rin$	$I_B$ $V_{BE} / I_B = Rin$ $V_{BE}$	$I_B$ $V_{BE}$ / $I_B$ = Rin $V_{BE}$ $I_B$	

## TABLE 2:

IB=			IB=		
Ic	$Ve/Ie = R_{out}$	V <sub>C</sub>	Ic	Ve/Ie = Rout	
	Ie	Ic Ve/Ic = R <sub>out</sub>			

Input characteristics: From the observation table 1, plot a graph for  $I_B$  versus  $V_{BE}$  at different collector voltage  $V_C$ 

Output characteristics: From the observation table 2, plot a graph for  $I_C$  versus  $V_{CE}$  at different base current  $I_B$ 

Put average Rout and average Rin in to find resistance gain R,

$$R = \frac{R_{out}}{R_{in}}$$

### RESULT:

The characteristics curves for the common emitter mode of given PNP/NPN transistor, are shown in the graphs.

## PRECAUTIONS:

- The emitter-base junction is kept in forward bias while the collector-emitter junction is kept reverse bias.
- A high potential should not be applied at the base or collector
- The transistor should not be heated continuously. For this a separate key should be connected with the battery both in base and collector circuit.
- The +ve marked terminal of the ammeter and voltmeter should always be connected to the positive terminal of the battery.

## मौलाना आजाद राष्ट्रीय प्रौद्योगिकी संस्थान, भोपाल

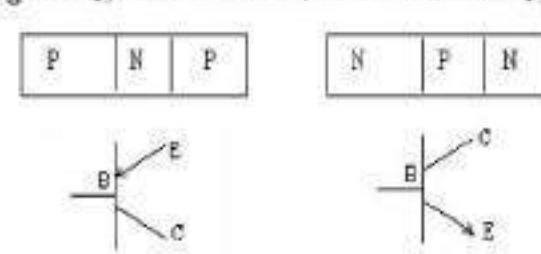
भौतिकी विभाग बी.टेक, प्रथम / द्वितीय सेमेस्टर

## प्रयोग: ट्रांजिस्टर का अभिलक्षण वक्र

उद्देश्यः कॉमन एमिटर कॉन्फ्रिगरेशन के लिए ट्रांजिस्टर इनपुट और आउटपुट विशिष्टताओं का अध्ययन करना और वक्र प्लॉट करना।

उपकरण: कनेक्टिंग तारों के साथ ट्रांजिस्टर का एक तैयार किट आदि।

सिद्धांत: ट्रांजिस्टर एक तीन टॉर्मनल डिवाइस है, जिसमें तीन अलग-अलग डोप्ड सेमी कंडिक्टंग क्षेत्र होते हैं, जो दो जंक्शनों से अलग होते हैं। इन्हें एमिटर, बेस और कलेक्टर नाम दिया गया है। तीनों क्षेत्रों में डोपिंग प्रतिशत समान नहीं है। एमिटर क्षेत्र में डोपिंग अधिक है, और बेस क्षेत्र में हल्का है, जबिक कलेक्टर क्षेत्र में यह केवल मध्यम है। क्रॉस सेक्शन का क्षेत्र भी पूरे क्षेत्र में समान नहीं है, लेकिन एमिटर से कलेक्टर की ओर बढ़ता जाता है। ट्रांजिस्टर का बेस क्षेत्र हमेशा पतला होता है। जंक्शन ट्रांजिस्टर दो प्रकार के होते हैं। चित्र में NPN और PNP ट्रांजिस्टर के क्रॉस सेक्शन और उनके इलेक्ट्रिकल सिंबल दिखाए गए हैं। ट्रांजिस्टर में, कलेक्टर बेस जंक्शन हमेशा रिवर्स बायस्ड होता है। डायोड सिर्कट से स्वाभाविक रूप से कम करंट प्रवाहित होता है। इस सिर्कट में करंट को एमिटर बेस जंक्शन को फॉरवर्ड बायस करके बढ़ाया जा सकता है। जब एमिटर बेस जंक्शन फॉरवर्ड बायस्ड होता है, तो भारी डोप वाला एमिटर बेस क्षेत्र में बड़ी संख्या में बहुसंख्यक वाहकों को बाहर निकालता है। ये वाहक बेस क्षेत्र से होकर गुजरते हैं, और कलेक्टर क्षेत्र में प्रवेश करते हैं, जो ट्रांजिस्टर के कलेक्टर सिर्कट में बढ़ती धारा का



निर्माण करते हैं। लेकिन बेस पतला और हल्का डोप होने के कारण, इसमें निकाले गए अल्पसंख्यक वाहकों में से कुछ, इसमें निकाले गए विपरीत प्रकार के बहुसंख्यक वाहकों के साथ पुनर्सयोजन द्वारा खो जाते हैं, अधिकांश बेस क्षेत्र में मौजूद विपरीत प्रकार के बहुसंख्यक वाहकों के साथ पुनर्सयोजन के माध्यम से खो जाते हैं। यह बेस करंट का निर्माण करता है। बेस

क्षेत्र में निकाले गए अधिकांश बहुसंख्यक वाहक कलेक्टर क्षेत्र में फैल जाते हैं। यह कलेक्टर करंट लगभग एमिटर करंट के बराबर होता है। इसलिए एमिटर और कलेक्टर करंट के बीच का अंतर टांजिस्टर का बेस करंट होता है।

इस प्रकार एमिटर करंट(IE) = कलेक्टर करंट(IC) + बेस करंट(IB)

कॉमन-एमिटर सर्किट में करंट गेन को बीटा (β) कहा जाता है। बीटा कलेक्टर करंट (आउटपुट करंट) और बेस करंट (इनपुट करंट) के बीच का संबंध है। बीटा की गणना करने के लिए, निम्न सूत्र का उपयोग किया जाता है:

β = Δ/2 Δ/3 Δ ग्रीक अक्षर डेल्टा है, इसका उपयोग छोटे परिवर्तन को इंगित करने के लिए किया जाता है. कॉमन एमिटर की प्रतिरोध वृद्धि R, बीटा खोजने के लिए उपयोग की जाने वाली विधि के समान ही है, R की गणना करने के लिए, निम्न सुत्र का उपयोग किया जाता है:

R = R out | Point |

प्रक्रिया:

इनपुट विशिष्टताएँ

- कलेक्टर से एमिटर वोल्टेज को स्थिर रखें, मान लें 1.0 V
- फॉरवर्ड बायस्ड बेस एमिटर जंक्शन पर लागू डीसी वोल्टेज उचित चरणों में बढ़ाएँ और हरेक बार V<sub>8</sub> और I<sub>8</sub> रीडिंग नोट करें।
- विभिन्न V<sub>CE</sub> वोल्टेज के लिए चरणों को दोहराएँ।

आउटपुट विशिष्टताएँ:

- बेंस करंट ।₃ को 20 µA पर स्थिर रखें।
- कलेक्टर से एमिटर वोल्टेज V<sub>c</sub> को उचित
   चरणों में बढ़ाएँ और V<sub>c</sub> के प्रत्येक मान के लिए संबंधित कलेक्टर करंट Ic रिकॉर्ड करें

 $I_{\rm E}$ 

18 के विभिन्न मानों के लिए चरणों को दोहराएँ।

अवलोकन: a) एमीटर का लघुत्तमांक=......mA, और ......µA b) वोल्टमीटर का लघुत्तमांक =......V

## तालिका 1:

1 T - 171 - 37	-	
$_{\rm E}$ / $I_{\rm E}$ = Rin $V_{\rm I}$		V <sub>BE</sub> / I <sub>B</sub> = Rin

## TABLE 2:

IB=			IB=		
V <sub>C</sub>	Ic	Vc/Ic = Rout	V <sub>C</sub>	Ic	Vc/Ic = R <sub>out</sub>
	-				

#### गणना :

इनपुट विशिष्टताः अवलोकन तालिका । से, विभिन्न कलेक्टर वोल्टेज  $V_C$  पर  $I_B$  v/s  $V_{BE}$  के लिए ग्राफ पेपर में वक्र बनाएं

आउटपुट विशिष्टता: अवलोकन तालिका 2 से, विभिन्न बेस करंट 18 पर 10 v/s VCE के लिए ग्राफ पेपर में वक्र बनाएं

प्रतिरोध वृद्धि R ज्ञात करने के लिए, औसत Rour और औसत Rin डालें

$$R = \frac{R_{out}}{R_{in}}$$

## परिणाम:

दिए गए PNP/NPN ट्रांजिस्टर के कॉमन एमिटर कॉन्फ्रिगरेशन की विशिष्टताओं के वक्र ग्राफ पेपर में दिखाए गए हैं।

त्रुटि का स्रोत और सावधानियाँ:

- एमिटर-बेस जंक्शन को फॉरवर्ड बायस में रखा जाता है जबकि कलेक्टर-एमिटर जंक्शन को रिवर्स बायस में रखा जाता है।
- ii. बेस या कलेक्टर पर हाई पोटेंशियल नहीं लगाया जाना चाहिए
- टूंजिस्टर को लगातार गर्म नहीं किया जाना चाहिए। इसके लिए बेस और कलेक्टर सर्किट दोनों में बैटरी के साथ एक अलग कंजी को जोड़ा जाना चाहिए।
- एमीटर और वोल्टमीटर के +ve चिह्नित टर्मिनल को हमेशा बैटरी के पॉजिटिव टर्मिनल से जोड़ा जाना चाहिए।

# MAULANA AZAD NATIONAL INSTITUTE OF TECHNOLOGY, BHOPAL DEPARTMENT OF PHYSICS

## B.Tech. I / II Sem

## EXPERIMENT: MELDE'S EXPERIMENT

## OBJECT:

To determine the frequency of electrically maintained tuning fork

## APPARATUS USED:

Electrically Maintained Tuning Fork, Battery Eliminator, Meter Scale, Pulley, Weight Box, Thread.

## THEORY:

When a thread of mass per unit length 'm' is connected to the vibrator fork and stretched with tension T, the thread vibrates in segments. If the length of the thread is then adjusted until well defined nodes are formed, the frequency of the stretched string is same as the vibrating fork. Then if 'T' is the length of one loop of vibrating string, the frequency of vibration in transverse arrangement of fork to thread, is given by

$$f = \frac{1}{2l} \sqrt{\frac{T}{m}}$$

And the frequency of vibration in longitudinal arrangement is given by,

$$f = \frac{1}{l} \sqrt{\frac{T}{m}}$$

## FORMULA:

The frequency in transverse arrangement,

$$f = \frac{1}{2l} \sqrt{\frac{T}{m}}$$

Where

f = Frequency of Rod (ac main)

I=Distance between two nodes

T - Tension Applied

m= Mass per unit length of thread

The frequency in longitudinal arrangement

$$f = \frac{1}{l} \sqrt{\frac{T}{m}}$$

With same meaning of symbols.



## PROCEDURE:

## (a) Transverse arrangement -

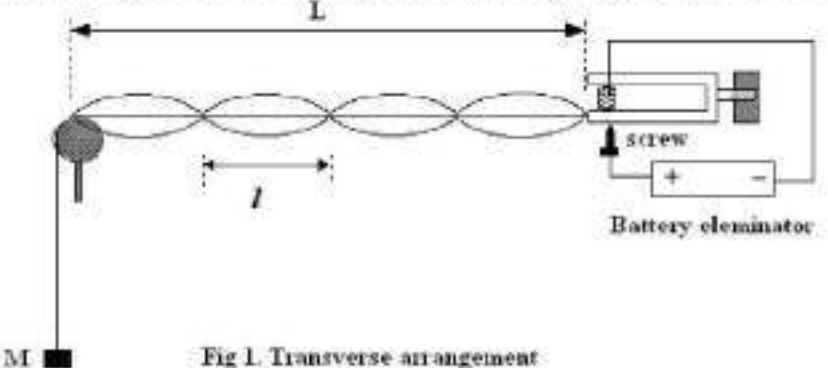
- a. Fix a thread to one of the prongs of the fork. With the help of a screw supplied for that purpose. Stretch the thread in a line with the prong of the fork and pass it over a ball bearing pulley clamped to a stand [Fig 1]. Put suitable weight (M) on the hanging pan connected to the other end of thread.
- b. The current is switched on and adjust the metal contact screw to make the fork vibrate. It is seen that the prong of fork begins to vibrate.
- c. The length of thread is adjusted till it is found that its free end attains maximum amplitude.

1

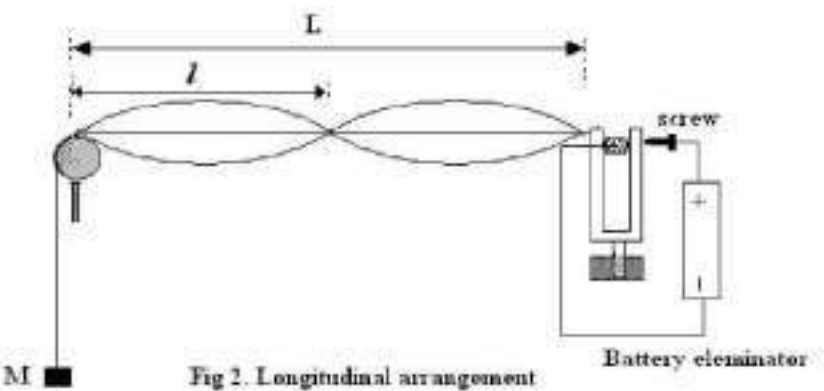
- d. Nodes are observed at the extreme end points of thread. Measure the length of the thread (L) and numbers of loops (n) between them.
- e. Calculate the length of one loop 'I'.
- f. Calculate tension and compute f, frequency of fork.

## (b) Longitudinal arrangement -

- a. Fix a thread to one of the prongs of the fork. With the help of a screw supplied for that purpose. Stretch the thread at right angles to the length of the prong of the fork and pass it over a ball bearing pulley clamped to a stand [Fig 2]. Put suitable weight (M) on the hanging pan connected to the other end of thread.
- b. Perform the experiment same as for Transverse arrangement.
- c. Calculate the length of one loop 'I', tension and compute f, frequency of fork.



rig 1. Itansverse arrangemen



## OBSERVATIONS:

- a) Mass of the pan = gm.
- b) Mass of thread per unit length m = 0.004215 gm/cm.
- c) Acceleration due to gravity g= 980 cm/sec<sup>2</sup>

Table 1: For transverse arrangement

S.No.	Mass of Pan + Weight suspended M (gm.)	Tension T=Mg (dynes)	No. of Loops	Length of Vibrating Thread L cm	Length of one Loop I= L/n cm	$f = \frac{1}{2I} \sqrt{\frac{T}{m}}$
1.	Mi	400.000.00			AUXIMITO DE LA COLOR DE LA COL	$f_l$
2.	M <sub>2</sub>					f2
3.	M <sub>3</sub>					$f_3$

Mean  $f_{transverse} = \dots$  Hertz

Table 2: For longitudinal arrangement

S.No.	Mass of Pan + Weight suspended m(gm.)	Tension T=mg (dynes)	No. of Loops n	Length of Vibrating Thread L cm	Length of one Loop l= L/n cm	$f = \frac{1}{l} \sqrt{\frac{T}{m}}$
1.	M <sub>1</sub>					fi
2.	M <sub>2</sub>					$f_2$
3.	M <sub>3</sub>					fj

Mean fluogitudinal = . . . . . Hertz

## CALCULATIONS:

For transverse arrangement

$$f = \frac{1}{2I} \sqrt{\frac{T}{m}} \qquad - \qquad \text{Hertz.}$$

For longitudinal arrangement

$$f = \frac{1}{l} \sqrt{\frac{T}{m}}$$
 = Hertz.

Frequency of fork 
$$f = f_{mannerw} + f_{longinational}$$

$$= Hertz.$$

### RESULT:

The frequency of fork is found to be Hertz.

## SOURCE OF ERROR AND PRECAUTIONS:

- There should be no friction in the pulley because it causes the tension to be less than that is actually applied.
- The nodes and antinodes should be sharply defined which justifies the optimum weight put on the pan.
- The thread should be inextensible so that its mass per unit length remains constant and the distance between the nodes and antinodes may not change during the experiment.

## मौलाना आजाद राष्ट्रीय प्रौद्योगिकी संस्थान, भोपाल

भौतिकी विभाग

बी.टेक्, प्रथ्म / द्वितीय सेमे्स्टर

प्रयोग: मेल्डे का प्रयोग

उद्देश्यः विदयुत रूप से अनुरक्षित ट्यूनिंग कांटा की आवृत्ति निर्धारित करें ।

उपकरण: विद्युतीय रूप से अनुरक्षित ट्यूनिंग फोर्क, बैटरी एलिमिनेटर, मीटर स्केल, पुली, वेट बॉक्स, धागा।

सिद्धांत:

जब प्रति इकाई लंबाई 'm' द्रव्यमान का धागा वाइब्रेटर कांट्रे से जोड़ा जाता है और तनाव T के साथ खींचा जाता है, तो धागा खंडों में कंपन करता है। यदि धागे की लंबाई को तब तक समायोजित किया जाता है जब तक कि अच्छी तरह से स्पष्ट नोड्स नहीं बन जाते हैं, तो खींची गई स्ट्रिंग की आवृत्ति कंपन करने वाले कांट्रे के समान होती है। फिर यदि 'I' कंपन करने वाले स्ट्रिंग के एक लूप की लंबाई है, तो कांट्रे से धागे की अनुप्रस्थ (ट्रांसवर्स) व्यवस्था में कंपन की आवृत्ति, इस प्रकार है,

$$f = \frac{1}{2l} \sqrt{\frac{T}{m}}$$

और अनुदेर्ध्य (लोंगीटुडनल) व्यवस्था में कंपन की आवृत्ति इस प्रकार है,

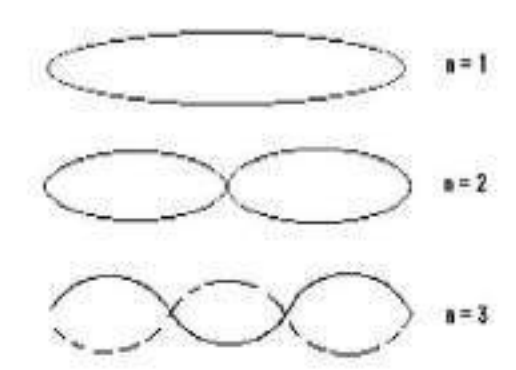
 $f = \frac{1}{l} \sqrt{\frac{T}{m}}$ 

जहाँ.

f = रॉड की आवृत्ति (एसी मेन) l = दो नोड्स के बीच की दूरी

T = लगाया गया तनाव

m= धागे की प्रति इकाई लंबाई पर द्रव्यमान



सूत्र:

अनुप्रस्थ व्यवस्था में आवृत्ति,  $f = \frac{1}{2I} \sqrt{\frac{T}{m}}$ 

अनुदैर्घ्य व्यवस्था में आवृत्ति,  $f = \frac{1}{I} \sqrt{\frac{T}{m}}$ 

जहाँ, f = रॉड की आवृत्ति (एसी मेन), l = दो नोड्स के बीच की दूरी, T = लगाया गया तनाव m= धागे की प्रति इकाई लंबाई पर द्रव्यमान है

## प्रक्रिया:

(A) अनुप्रस्थ (ट्रांसवर्स) व्यवस्था -

a. किट के एक कार्ट में धागा लगाएँ। उस उद्देश्य के लिए दिए गए पेंच की सहायता से। धागे को कार्ट के कार्ट के साथ एक रेखा में खींचें और इसे एक स्टैंड पर जकड़े बॉल बेयरिंग पुली के ऊपर से गुज़ारें [चित्र 1]। धागे के दूसरे सिरे से जुड़े हैंगिंग पैन पर उपयुक्त भार (M) रखें।

करंट चालू करें और कांटे को कंपन करने के लिए धातु के संपर्क पेंच को समायोजित करें। यह

देखा जाता है कि कांटे का कांटा कंपन करना शुरू कर देता है।

 धागे की लंबाई तब तक समायोजित की जाती है जब तक यह न पाया जाए कि इसका मुक्त सिरा अधिकतम आयाम प्राप्त कर लेता है।

4

- d. धागे के चरम अंत बिंदुओं पर नोड्स देखे जाते हैं। धागे की लंबाई (L) और उनके बीच लूप की संख्या (n) मापें।
- e. इ. एक लूप T की लंबाई की गणना करें।
- f. तनाव की गणना करें और कांटे की आवृत्ति f की गणना करें।

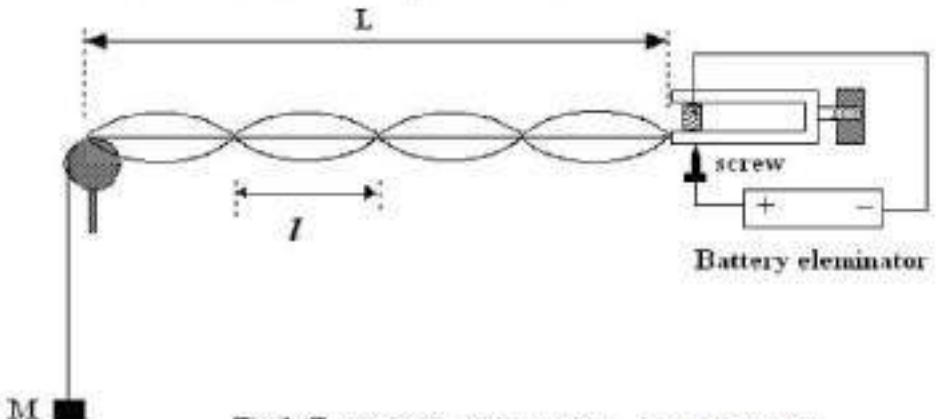


Fig 1. Transverse arrangement अनुप्रस्थ व्यवस्था

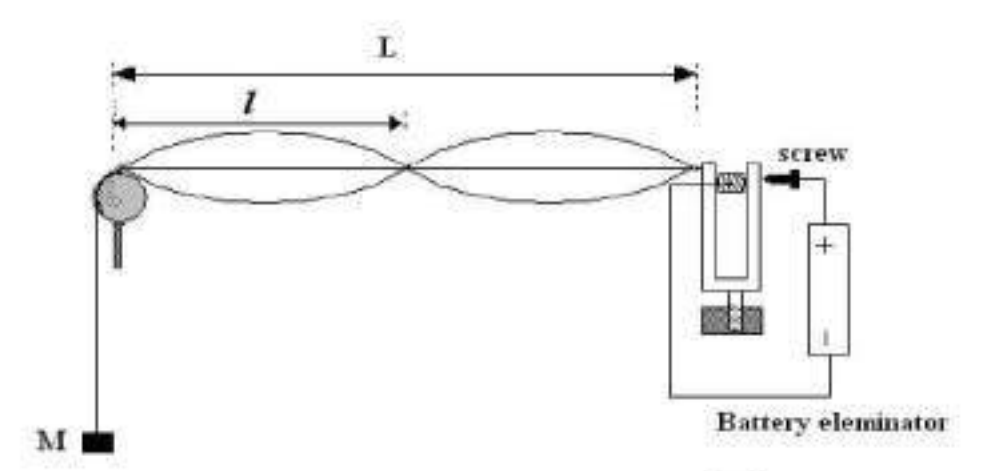


Fig 2. Longitudinal arrangement अनुदेश्य व्यवस्था

(B) अनुदेर्ध्य (लोंगीटुडनल) व्यवस्था -

- a. किट के एक कार्ट में धागा लगाएँ। इस उद्देश्य के लिए दिए गए स्क्रू की मदद से। धागे को कांटे के कांटे की लंबाई के समकोण पर खींचें और इसे एक स्टैंड पर लगी बॉल बेयरिंग पुली के ऊपर से गुज़ारें [चित्र 2]। धागे के दूसरे सिरे से जुड़े हैंगिंग पैन पर उपयुक्त वज़न (M) रखें।
- अनुप्रस्थ व्यवस्था के समान ही प्रयोग करें।
- e. सी. एक लूप 7 की लंबाई, तनाव और 5, कांटे की आवृत्ति की गणना करें।

## अवलोकन:

- a) पैन का द्रव्यमान = \_\_\_\_\_ ग्राम
- b) प्रति इकाई लंबाई पर धागे का द्रव्यमान = 0.004215 ग्राम/सेमी।
- c) गुरुत्वाकर्षण के कारण त्वरण g= 980 सेमी/सेकंड2

## तालिका 1:

S.No.	Mass of Pan + Weight suspended M (gm)	Tension T=Mg (dynes)	No. of Loops n	Length of Vibrating Thread L cm	Length of one Loop I= L/n cm	$f = \frac{1}{2I} \sqrt{\frac{T}{m}}$
4.	M <sub>1</sub>	10000				fi
5.	M <sub>2</sub>					f <sub>2</sub>
6.	M <sub>3</sub>					fs

मध्यमान (औसत) fagger – ..... हेटर्स

## तालिका 2:

S.No.	Mass of Pan + Weight suspended m (gm.)	Tension T-mg (dynes)	No. of Loops n	Length of Vibrating Thread L cm	Length of one Loop l= L/n cm	$f = \frac{1}{l} \sqrt{\frac{T}{m}}$
4.	M <sub>1</sub>					$f_I$
5.	M <sub>2</sub>	i i				$f_2$
6.	M <sub>3</sub>					f3

मध्यमान (औसत) fअनुदेर्ध =..... हेटर्स

## गणनाः

अनुप्रस्थ व्यवस्था के लिए कांटे की आवृत्ति

$$f=rac{1}{2I}\sqrt{rac{T}{m}}=$$
  $=$   $ext{हर्ट्ज.}$  अनुदैर्ध्य व्यवस्था के लिए कांटे की आवृत्ति

$$f = \frac{1}{\epsilon} \sqrt{\frac{T}{c}}$$
 = \_\_\_\_\_\_ हर्द्ज.

कांटे की आवृत्ति  $f = f_{M - 1/2} + f_{M - 1/2} + f_{M - 1/2}$ 

= \_\_\_\_\_\_ हर्दज.

## परिणामः

कांटे की आवृत्ति= \_\_\_\_\_ हर्ट्ज है

## त्रुटि का स्रोत और सावधानियाँ:

- पुली में कोई घर्षण नहीं होना चाहिए क्योंकि इससे तनाव वास्तव में लगाए गए तनाव से कम हो जाता है।
- नोड्स और एंटीनोड्स को स्पष्ट रूप से परिभाषित किया जाना चाहिए जो पैन पर रखें गए इष्टतम (ऑप्टिमम) वजन को उचित ठहराता है।
- धागा अविस्तारणीय होना चाहिए ताकि प्रति इकाई लंबाई पर उसका द्रव्यमान स्थिर रहे तथा
   प्रयोग के दौरान नोड्स और एंटीनोड्स के बीच की दूरी में परिवर्तन न हो।

# MAULANA AZAD NATIONAL INSTITUTE OF TECHNOLOGY, BHOPAL DEPARTMENT OF PHYSICS

## B.Tech. I Sem / II sem

## EXPERIMENT: FREQUENCY OF A.C. MAINS

## AIM:

To determine the frequency of A.C. Mains using an electrical vibrator.

## APPARATUS:

Electrical vibrator, Lamp, Meter Scale, Pulley, Weight Box, Thread.

#### THEORY:

When a chord of mass per unit length 'm' is connected to the vibrator rod and stretched with tension T, the chord vibrates in segments. If the length of the chord is then adjusted until well defined nodes are formed, the frequency of the stretched string is same as the vibrating rod which in turn is equal to frequency of A.C. Mains. Then if 'I' is the length of one loop of vibrating string, the frequency of vibration is given by

$$f = \frac{1}{2l} \sqrt{\frac{T}{m}}$$

Where

f = Frequency of Rod (ac main)

/=Distance between two nodes

T = Tension Applied

m= Mass per unit length of thread

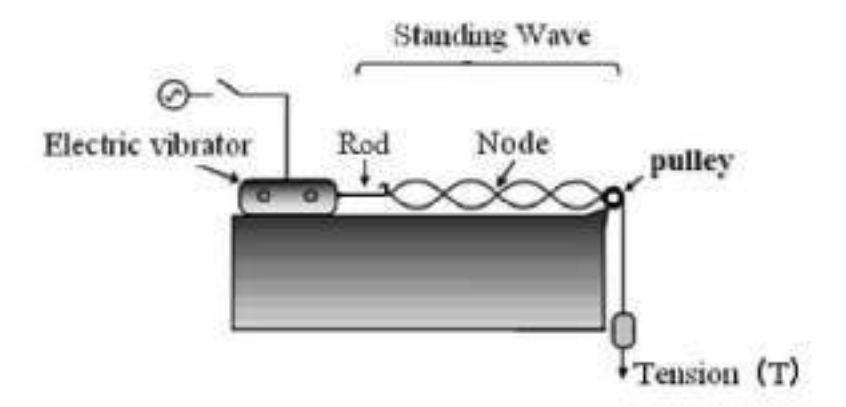


Fig. An electric vibrator connected to a pulley

### PROCEDURE:

- a) Thread is connected with the rod of the vibrator and it is made to pass over the pulley and suitable weight (M) is put on the hanging pan connected to the other end of thread (seen in figure). This weight will give tension on the string.
- b) The current is switched on and it is seen that the rod of the electric vibrator begins to vibrate. The length of thread is adjusted till it is found that its free end attains maximum amplitude.

1

- c) The length of thread is adjusted till it is found that nodes are well defined.
- d) Nodes are observed at the extreme end points of thread. Measure the length of the thread using the metre scale and count numbers of loops between them. Note down the values in table 1.
- e) Calculate the length of one loop 'l'.
- f) Calculate tension and compute f, frequency of A.C. Mains.
- g) Repeat the experiment with different tensions.

## OBSERVATIONS:

- a) Mass of the pan = gm.
- b) Mass of thread per unit length = 0.004215 gm/cm.
- c) Acceleration due to gravity g- 980 cm/sec2

Table: for determining tension in string and length of one loop

S.No.	Mass of Pan + Weight suspended M (gm.)	Tension T=Mg (dynes)	No. of Loops n	Length of Vibrating Thread L cm	Length of one Loop l= L/n cm	$f = \frac{1}{2I} \sqrt{\frac{T}{m}}$
I.	0 -					fi.
2.						$f_2$
3.						fi
4.						fi
5.				II.		fs

## CALCULATIONS:

$$f = \frac{1}{2l} \sqrt{\frac{T}{m}}$$

=		Hertz.

Mean 
$$f = f_l + f_2 + f_3 + f_4 + f_5$$
  
5
Hertz

#### RESULT:

The frequency of A.C. Mains is Hertz.

## SOURCE OF ERROR AND PRECAUTIONS:

- There should be no friction in the pulley because it causes the tension to be less than that is actually applied.
- The nodes and antinodes should be sharply defined which justifies the optimum weight put on the pan.
- The length of the steel rod should be initially adjusted so that it vibrates with maximum amplitude. This will ensure that the frequency of the vibration of rod is same as that of A.C. Mains.
- iv. The chord should be inextensible so that its mass per unit length remains constant and the distance between the nodes and antinodes may not change during the experiment.
- v. The rod should be horizontal and pass freely in between the poles of the magnet so that it attains the same frequency as that of A.C. Mains while vibrating.
- The A.C. should be stepped down to about (6 8 volts) before passing through the wire, to make the distance between nodes and antinodes constant.

## मौलाना आजाद राष्ट्रीय प्रौद्योगिकी संस्थान, भोपाल

भौतिकी विभाग बी.टेक. प्रथम / द्वितीय सेमेस्टर

प्रयोग: ए.सी. मेन्स की आवृत्ति

उद्देश्यः विदयुत वाइब्रेटर का उपयोग करके ए.सी. मेन्स की आवृत्ति निर्धारित करना।

उपकरणः विद्युत वाङ्ब्रेटर, लैंप, मीटर स्केल, पुली, वजन बॉक्स, धागा।

सिद्धांत:

जब प्रति इकाई लंबाई 'm' द्रव्यमान का धागा वाइब्रेटर रॉड से जोड़ा जाता है और तनाव T के साथ खींचा जाता है, तो धागा खंडों में कंपन करता है। यदि धागे की लंबाई को तब तक समायोजित किया जाता है जब तक कि अच्छी तरह से स्पष्ट नोड्स नहीं बन जाते हैं, तो खींची गई स्ट्रिंग की आवृत्ति कंपन रॉड के समान होती है जो बदले में A.C. मेन्स की आवृत्ति के बराबर होती है। फिर यदि 'I' कंपन धागे के एक लुप की लंबाई है, तो कंपन की आवृत्ति इस प्रकार दी जाती है,

$$f = \frac{1}{2I} \sqrt{\frac{T}{m}}$$

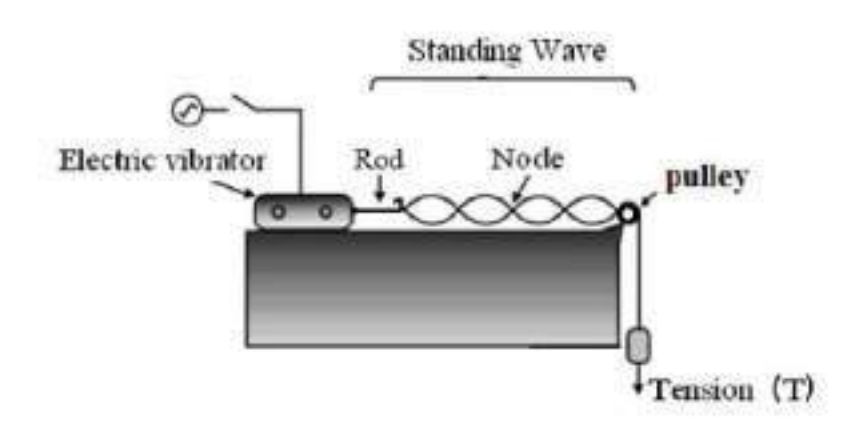
जहाँ

f = रॉड की आवृत्ति (एसी मेन)

। = दो नोड्स के बीच की दूरी

T = लगाया गया तनाव

m= थागे की प्रति इकाई लंबाई पर द्रव्यमान



चित्र 1: पुली से जुड़ा इलेक्ट्रिक वाइब्रेटर

प्रक्रिया:

- धागे को वाइब्रेटर की छड़ से जोड़ा जाता है और इसे पुली के ऊपर से गुजारा जाता है तथा धागे के दूसरे सिरे से जुड़े हैंगिंग पैन पर उपयुक्त भार (M) डाला जाता है। यह भार धागे पर तनाव देगा।
- करंट चालू किया जाता है और यह देखा जाता है कि इलेक्ट्रिक वाइब्रेटर की छड़ कंपन करना शुरू कर देती है। धांगे की लंबाई तब तक समायोजित की जाती है जब तक यह न पाया जाए कि इसका मुक्त सिरा अधिकतम आयाम प्राप्त कर लेता है।

 धागे की लंबाई तब तक समायोजित की जाती है जब तक यह न पाया जाए कि नोड्स अच्छी तरह से परिभाषित हैं।

 व) धागे के अंतिम छोर पर नोड्स देखे जाते हैं। मीटर स्केल का उपयोग करके धागे की लंबाई मापें और उनके बीच लुप की संख्या गिनें। तालिका 1 में मानों को नोट करें। एक लप '!' की लंबाई की गणना करें।

तनाव की गणना करें और A.C. मेन्स की आवृत्ति f की गणना करें।

विभिन्न तनावों (भार, M) के साथ प्रयोग को दोहराएं।

## अवलोकन:

a) पैन का द्रव्यमान = \_\_\_\_\_ ग्राम।

b) प्रति इकाई लंबाई पर धागे का द्रव्यमान = 0.004215 ग्राम/सेमी।

ट) गुरुत्वाकर्षण के कारण त्वरण q= 980 सेमी/सेकंड2

तालिका: स्टिंग में तनाव और एक लप की लंबाई निर्धारित करने के लिए

S.No.	Mass of Pan + Weight suspended M (gm.)	Tension T=Mg (dynes)	No. of Loops n	Length of Vibrating Thread L cm	Length of one Loop l= L/n cm	$f = \frac{1}{2I} \sqrt{\frac{T}{m}}$
1.		12				fi
2.						fs
3.						f3
4.						fi
5.	700 SO SO 713					fs

गणना: ए.सी. मेन्स की आवृत्ति,

$$f = \frac{1}{2I} \sqrt{\frac{T}{m}}$$

मध्यमान (औसत)  $f = f_1 + f_2 + f_3 + f_4 + f_5$ 

-	\$ C A
	-0.00

परिणाम:

ए.सी. मेन्स की आवृत्ति= हर्टज है

त्रटि का स्रोत और सावधानियाँ:

- पुली में कोई घर्षण नहीं होना चाहिए क्योंकि इससे तनाव वास्तव में लगाए गए तनाव से कम हो जाता है।
- नोड्स और एंटीनोड्स को स्पष्ट रूप से परिभाषित किया जाना चाहिए जो पैन पर रखे गए इष्टतम (ऑप्टिमम) वजन को उचित ठहराता है।
- स्टील रॉड की लंबाई को शुरू में समायोजित किया जाना चाहिए ताकि यह अधिकतम आयाम के साथ कंपन करे। यह सुनिश्चित करेगा कि रॉड के कंपन की आवृत्ति ए.सी. मेन्स के समान है।
- धागे को अविस्तारणीय होना चाहिए ताकि प्रति इकाई लंबाई में इसका द्रव्यमान स्थिर रहे और प्रयोग के दौरान नोड़स और एंटीनोड़स के बीच की दूरी में बदलाव न हो।
- v. रॉड क्षेतिज होनी चाहिए और चुंबक के धूवों के बीच स्वतंत्र रूप से गुजरनी चाहिए ताकि कंपन करते समय यह ए.सी. मेन्स के समान आवृत्ति प्राप्त करे।
- vi. नोड्स और एंटीनोड्स के बीच की दूरी को स्थिर बनाने के लिए तार से गुजरने से पहले ए.सी. को लगभग (6-8 वोल्ट) तक कम किया जाना चाहिए।

# MAULANA AZAD NATIONAL INSTITUTE OF TECHNOLOGY, BHOPAL DEPARTMENT OF PHYSICS

## B.Tech. I Sem/II sem

## EXPERIMENT: NEWTON'S RINGS

#### OBJECT:

To determine the radius of curvature of a lens by Newton's Ring method

## APPARATUS:

Newton's Ring apparatus; which consist of a plano-convex lens of large radius of curvature and a plane glass plate, traveling microscope, and Light reflecting unit, Reading lens and Sodium vapor lamp,

#### FORMULA:

The radius of curvature of a lens is calculated from the formula,

$$R = \frac{D_{n+p}^2 - D_u^2}{4p\lambda}$$

Where, D<sub>n</sub> is diameter of n<sup>th</sup> bright fringe D<sub>n+p</sub> is diameter of (n+p<sup>th</sup>) bright fringe and R the radius of the curvature of the lens.

#### THEORY:

The experimental arrangement for obtaining Newton's rings shown in the Fig 1. Newton's rings apparatus consists of a plano- conex lens with its conex surface resting on a plane glss plate. This arrangement forms an air films between the glass plate and the plano-convex lens. The thickness of the film is zero at the center(point of contact) increases as one moves rapidly outwards (Fig.

2). By taking the radius of curvature of the lens very large, the thickness of the air film becomes very small. A parallel beam of monochromatic light is allowed to fall on a glass plate which is inclined at 45 to the horizontal . This glass plate reflects the light vertically downwards. Thus the light is normally incident on the air film enclosed between the plano-convex lens and the glass plate. This light is reflected from the upper and the lower surface of the air film. These two reflected beams mutually interfere to give rise to localized circular fringes in the air film. The wave reflected from the glass plate travels an extra path 2µt (geometrical path difference), where t is the thickness of the air film at the point of incidence. Since this wave is reflected from a denser medium. it suffers a phase change of λ/2 or π (optical path difference). Depending upon the path difference, bright and dark circular fringes are formed due to interference.

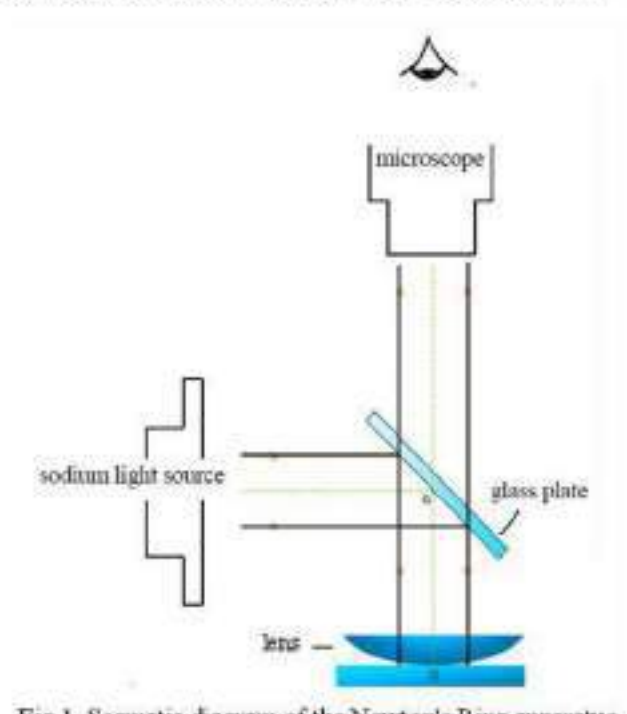


Fig.1 Scematic diagram of the Newton's Ring apparatus

These fringes can be seen with the help of microscope focused on the air film (fig 2). The fringes system consists of alternate bright and dark concentric rings with dark fringes at the centre. Due to presence of dust particles, the pano-convex lens may not have perfect contact with the glass plate and in that case the central fringe may be bright.

## Diameter of Bright Rings

Let x be the radius of the n th bright ring and R the radius of the curvature of the lens. Then from fig. 3(a) the diameter of n th bright fringe ( $D_n=2x$ ) will be

$$D_n^2 = \frac{4nR\lambda}{\mu}$$

And diameter of n+pth bright fringe (Dn+y) will be,

$$D_{n+p}^2 = \frac{4\langle n+p \rangle R \lambda}{\mu}$$

Thus the equation for the radius of curvature of palno-convex lens will be,

$$R = \frac{D_{n+\rho}^2 - D_n^2}{4p\lambda}$$

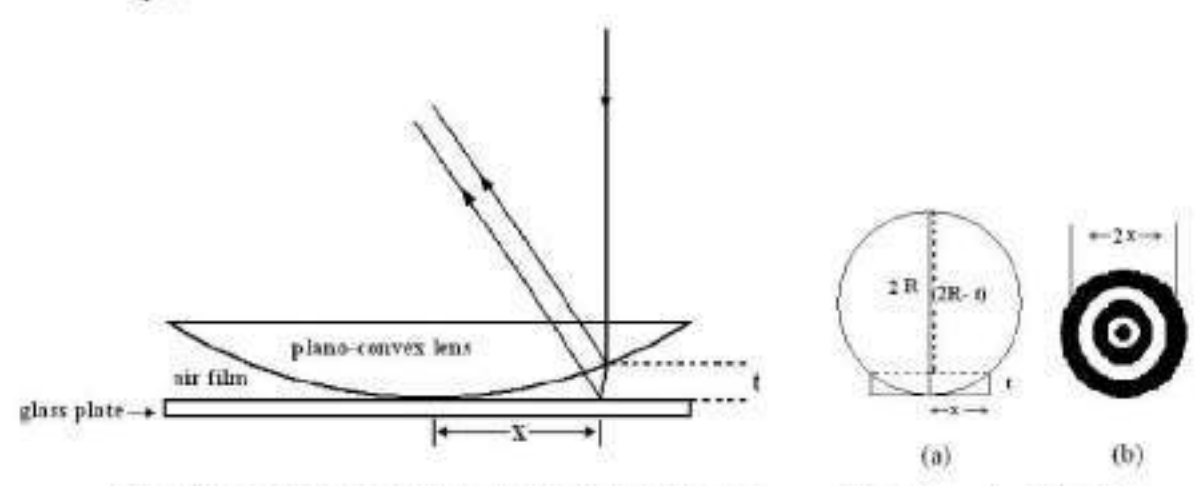


Fig. 2 Schematic arrangement for producing Newton's ring

Fig 3 Diameter of bright fringe

#### PROCEDURE:

- a) Clean the plano-convex lens and the glass plate with the rectified spirit.
- b) Don't touch the lens and the glass plate with the fingers oint the midlle portion
- c) Place the plano-convex lens over the glas plate.
- d) Below the microscope objective, place a light reflecting unit inclined at 45° to the horizontal.
- e) Allow a beam of parallel light from a sodium vapour lamp to fall on the reflector. See through the microscope. Bright and dark circular rings will be seen. If rings are not seen shift the Newton's ring arrangement in such a way that the point of contact of the plano-convex lens and the glass plate lies just below the microscope objective. Adjust the inclination of glass plate of reflecting unit. Set the cross wire on the central dark ring.
- f) Be sure that the cross wire can be moved abobe 20-25 fringes on both side of the central of the dark rings by moving it with the help of micro meter screw provided in the microscope base.

so that it falls over the middle of the 6<sup>th</sup> bright ring. Take the reading. The cross wire is now moved to the 8<sup>th</sup>,10<sup>th</sup>.........20<sup>th</sup> bight ring and the corresponding readings are recorded. From these readings the diameter of the rings are calculated as in the observation table.

#### OBSERVATIONS:

Least count of microscope vemier = .....cm

Table: Calculate the square of the diameters of the rings

Ring number	from L	eft-hand s center (co (a)	side of	from F	scope rea Right-han e center ( (b)	d side	Diameter D <sub>n</sub> (cm) (a~b)	D <sub>n</sub> <sup>2</sup> (cm <sup>2</sup> )	$D_{n+p}^2 - D_n^2$
	Main Scale	Vernier Scale	Total (cm)	Main Scale	Vernier Scale	Total (cm)			
16							Sa Sa		$D_{16}^2 - D_{12}^2 \dots$
14									$D_{14}^2 - D_{10}^2 \dots$
12									D <sub>12</sub> <sup>2</sup> - D <sub>8</sub> <sup>2</sup>
10									$D_{10}^2 - D_6^2 \dots$
8									$D_8^2 - D_4^2 \dots$
6									$D_6^2 - D_2^2 \dots$
4									$D_4^2 - D_0^2 \dots$
2							J		***
0									

## CALCULATIONS:

$$R = \frac{D_{n+p}^2 - D_n^2}{4 p \lambda}$$

=.....cm

#### RESULT:

### SORCES OF ERRORS AND PRECAUTION:

- The theory demands that light should fall normally on the air film. To achieve this
  condition, the glass plate of the reflecting unit must be inclined at 45 to the horizontal
- In order to have thin air film between the glass plate and the plano-convex lens the latter must have large radius of curvature, because in deriving the formula of diameter of rings we have used the approximation t<R</li>
- iii. the glass plate and the plano-convex lens must be well cleaned
- iv. Before taking the readings it should be checked whether the working length of the micro meter screw covers 20 rings on both sides of central spot. If micro meter screw is not properly adjusted then its entire working length is finished only on the one side of the central spot and the microscope diffuses to move further.
- While measuring diameter one of the cross wire should lie tangentially on the middle of the bright ring
- Back lash error of the micro meter screw should be avoided by moving it in the one direction only.

## मौलाना आजाद राष्ट्रीय प्रौद्योगिकी संस्थान, भोपाल

भौतिकी विभाग बी.टेक. प्रथम / द्वितीय सेमेस्टर

## प्रयोग: न्यूटन की रिग्स

उद्देश्यः

न्युटन की रिंग्स विधि का उपयोग करके उत्तल लेंस की वक्रता त्रिज्या का निर्धारण करना।

उपकरण:

उत्तल लेंस, काँच की प्लेट, एकरंगी प्रकाश स्रोत (जैसे, सोडियम लैम्प), सूक्ष्मदर्शी (माइक्रोस्कोप), मापक पट्टी या स्केल, समतल काँच की शीट या प्लेट

सत्रः

न्यूटन की रिंग्स विधि से समतल-उत्तल लेंस की वक्रता त्रिज्या (R) को निम्नलिखित समीकरण से निकाला जा सकता है

$$R = \frac{D_{n+p}^2 - D_n^2}{4p\lambda}$$

जहाँ:

 $D_a = nd\tilde{l}$  चमकदार फ्रिज का व्यास,  $D_{a+p} = (n+p)d\tilde{l}$  चमकदार फ्रिज का व्यास,  $R = d\tilde{l}$ स की वक्रता त्रिज्या,  $\lambda = 0$  प्रयुक्त प्रकाश की तरंगदैर्घ्य,  $p = \tilde{l}$ रंस के बीच का अंतर

सिद्धांत:

न्यूटन की रिंग्स उत्तल लेंस और समतल काँच प्लेट के बीच एक पतली वायु फिल्म से परावर्तित प्रकाश तरंगों के व्यतिकरण (इंटरफेरेंस ) के कारण बनती हैं। इन रिंग्स के व्यास को मापकर, लेंस की वक्रता त्रिज्या की गणना की जा सकती है।

न्यूटन की रिंग्स प्राप्त करने के लिए प्रयोगात्मक व्यवस्था चित्र 1 में दिखाई गई है। न्यूटन की रिंग्स यंत्र एक समतल उत्तल लेंस से बना होता है जिसकी उत्तल सतह एक समतल काँच की प्लेट पर टिकी होती है। यह व्यवस्था काँच की प्लेट और समतल उत्तल लेंस के बीच एक वायु फिल्म बनाती है। इस फिल्म की मोटाई केंद्र (संपर्क बिंदु) पर शून्य होती है और बाहर की ओर बढ़ने पर बढ़ती हैं (चित्र 2)। लेंस की वक्रता त्रिज्या को बहुत बड़ा रखने से वायु फिल्म की मोटाई बहुत पतली हो जाती है।

एक समानांतर एकरंगी प्रकाश किरण को एक काँच की प्लेट पर गिरने दिया जाता है जो क्षेतिज के 45° पर झुकी होती है। यह काँच की प्लेट प्रकाश को नीचे की ओर परावर्तित करती है। इस प्रकार, प्रकाश समतल उत्तल लेंस और

काँच की प्लेट के बीच संलग्न वायु फिल्म पर सामान्य रूप से गिरता है। यह प्रकाश वायु फिल्म की ऊपरी और निचली सतह से परावर्तित होता है। ये दोनों परावर्तित किरणें आपस में व्यतिकरण (इंटरफेरेंस ) करती हैं जिससे वायु फिल्म में वत्ताकार फ्रिंजेस उत्पन्न होते हैं।

काँच की प्लेट से परावर्तित तरंग 2µt का अतिरिक्त पथ (ज्यामितीय पथ अंतर) तप करती है, जहाँ । घटना बिंदु पर वायु फिल्म की मोटाई है। चूंकि यह तरंग घने माध्यम से परावर्तित होती है, इसलिए इसमें 1√2 या π का चरण परिवर्तन (प्रकाशीय पथ अंतर) होता है। पथ अंतर के आधार पर, हस्तक्षेप के कारण ब्राइट (दीप्त) और डार्क (अदीप्त) वत्ताकार फ्रिंजेस बनते हैं।

इन फ्रिंजेस को वायु फिल्म पर केंद्रित सूक्ष्मदर्शी की सहायता से देखा जा सकता है (चित्र 2)। फ्रिंजेस प्रणाली में केंद्र पर अधेरे फ्रिंजेस के साथ बारी-बारी से ब्राइट (दीप्त) और डार्क (अदीप्त) कन्सेन्ट्रिक (संकेंद्रित) वृत्त होते हैं। धूल के कणों की उपस्थिति के कारण, समतल उत्तल लेंस का काँच की प्लेट के साथ पूर्ण संपर्क नहीं हो सकता है और उस स्थिति में केंद्रीय फ्रिंज चमकदार हो सकता है।

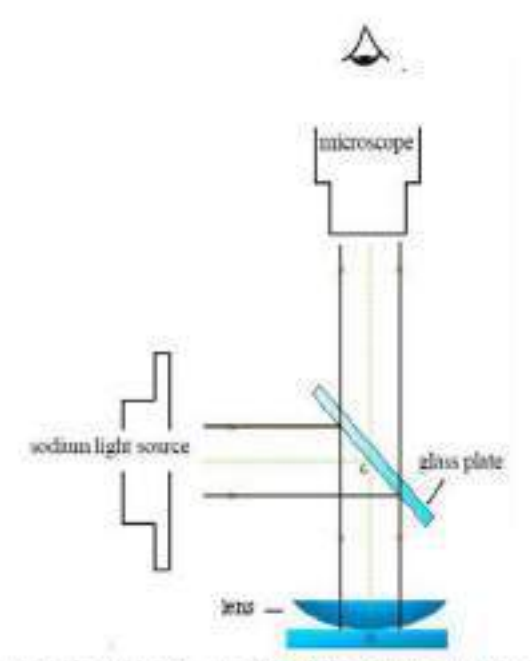
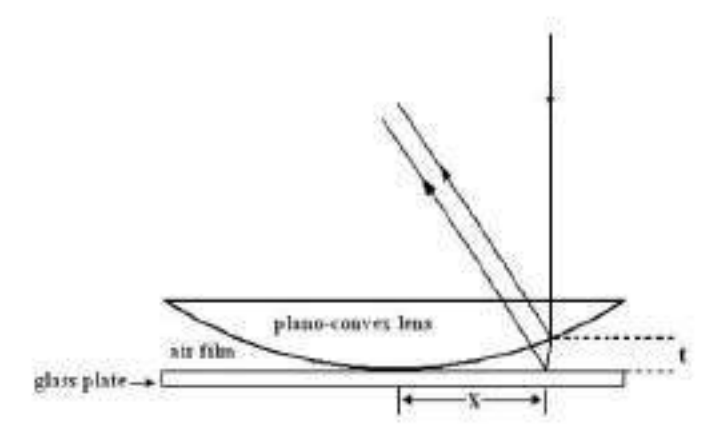


Fig 1 Scematic diagram of the Newton's Ring apparatus



2R (2R-6) (b)

Fig. 2 Schematic arrangement for producing Newton's ring

Fig. 3 Diameter of bright fringe

## ब्राइट (दीप्त) रिंग्स का व्यास

मान लीजिए x, nवीं ब्राइट (दीप्त) रिंग की त्रिज्या है और R लेंस की वक्रता त्रिज्या है। तो चित्र 3(a) के अनुसार nवीं ब्राइट (दीप्त) फ्रिंज का व्यास (Dn = 2x)

$$D_n^2 = (n - \frac{1}{2})4\lambda R$$

होगा जहाँ:

- D<sub>n</sub> = nवीं चमकदार फ्रिंज का व्यास
- R = लेंस की वकता त्रिज्या
- λ प्रयुक्त प्रकाश की तरंगदैर्ध्य
- μ = वायुँ का अपवर्तक सूचकांक (आमतौर पर 1 के बराबर माना जाता है)

और (n+p)वीं चमकदार फ्रिज को व्यास (Dn+p)

$$D_{n+p}^2 = \frac{4(n+p)R\lambda}{\mu}$$

समतल-उत्तल लेंस की वक्रता त्रिज्या के लिए सूत्र

न्यूटन की रिंग्स विधि से समतल-उत्तल लेंस की वक्रता त्रिज्या को निम्नलिखित समीकरण से निकाला जा सकता है:

$$R=rac{D_{n+p}^2-D_n^2}{4p\lambda}$$

जहाँ:

 $D_n = n \vec{a}$  चमकदार फ्रिंज का व्यास,  $D_{n+p} = (n+p)\vec{a}$  चमकदार फ्रिंज का व्यास,  $R = \vec{a}$  के बीच का अंतर हैं।

प्रक्रिया:

- समतल उत्तल लेंस और काँच की प्लेट को संशोधित स्पिरिट से साफ करें।
- होंस और काँच की प्लेट को बीच के भाग में उँगलियों से न छुएं।

समतल उत्तल लेंस को काँच की प्लेट पर रखें।

d) सूक्ष्मदर्शी की उद्दीपन इकाई के नीचे, 45° कोण पर क्षेतिज रूप से झुकी हुई प्रकाश परावर्तक इकाई रखें।

 सोडियम वाष्प लैम्प से एक समांतर प्रकाश किरण को पराव र्तक पर गिरने दें। सूक्ष्मदर्शी से देखें। ब्राइट और डार्क वृत्ताकार रिग्स दिखाई देंगी। यदि रिग्स नहीं दिखें, तो न्यूटन की रिग्स सेटअप को इस प्रकार समायोजित करें कि समतल उत्तल लेंस और काँच की प्लेट का संपर्क बिंदु सूक्ष्मदर्शी की उद्दीपन इकाई के नीचे हो। परावर्तक इकाई के काँच प्लेट के झुकाव को समायोजित करें। केंद्रीय डार्क रिग पर क्रॉस वायर को सेट करें।

f) सुनिश्चित करें कि क्रॉस वायर को माइक्रोमीटर स्क्रू की सहायता से सूक्ष्मदर्शी आधार में मध्य की डार्क रिंग के दोनों

ओर 20-25 फ्रिजेस तक स्थानांतरित किया जा सके।

 क्रॉस वायर के प्रतिच्छेदन (इंटरसेक्शन) को केंद्रीय डार्क फ्रिंज पर सेट करें। माइक्रोमीटर स्क्रू की सहायता से क्रॉस वायर को 20वीं ब्राइट रिंग के बाईं ओर केंद्र तक स्थानांतरित करें। एक क्रॉस वायर को ब्राइट रिंग के स्पर्शरेखा पर समायोजित करें। अब क्रॉस वायर को विपरीत दिशा में स्थानांतरित करें जब तक कि यह 18वीं रिंग के मध्य में न पहुँच जाए। माइक्रोमीटर वाचन (रीडिंग) को दर्ज करें। क्रॉस वायर को उसी दिशा में स्थानांतरित करते हुए इसे 16वीं, 14वीं, ... 6वीं ब्राइट रिंग के मध्य में सेट करें और संबंधित वाचन (रीडिंग) को नोट करें। अब क्रॉस वायर को केंद्र के दाई ओर स्थानांतरित करें तािक यह 6वीं ब्राइट रिंग के मध्य में पहुँचे। वाचन (रीडिंग) को दर्ज करें। अब क्रॉस वायर को 8वीं. 10वीं, ... 20वीं ब्राइट रिंग में स्थानांतरित करें और संबंधित वाचन (रीडिंग) को दर्ज करें। अवलोकन तािलका के अनुसार इन वाचनो (रीडिंगस) से रिंग्स के व्यासो की गणना किया जाता है।

अवलोकन (प्रेक्षण ):

तालिका(Table): रिंग्स के व्यास और उनके संबंधित रिंग नंबर

Ring number	Microscope reading from Left-hand side of the center (cm) (a)			from of the	CONTRACTOR OF THE PROPERTY OF	d side	D <sub>8</sub> <sup>2</sup> (cm <sup>2</sup> )	$D_{n+p}^2 - D_n^2$
	Main Scale	Vernier Scale	Total (cm)	Main Scale	Vernier Scale			
16								$D_{16}^2 - D_{12}^2 \dots$
14								$D_{14}^2 - D_{10}^2 \dots$
12								D <sub>12</sub> <sup>2</sup> - D <sub>8</sub> <sup>2</sup>
10								D102 - D62
8								$D_8^2 - D_4^2 \dots$
6								$D_6^2 - D_2^2 \dots$
4								$D_4^2 - D_0^2 \dots$
2								
0								0000

## गणनाः

-रिंग्स के व्यास के वर्ग की गणना करें। सूत्र का उपयोग करके वक्रता त्रिज्या R ज्ञात करें।

## परिणामः

- सिद्धांत के अनुसार: प्रकाश को वायु फिल्म पर सामान्य रूप से गि रना चाहिए। इस स्थिति को प्राप्त करने के लिए, परावर्तक इकाई की काँच प्लेट को क्षैतिज से 45° के कोण पर झुका हुआ होना चाहिए।
- ii. पतली वायु फिल्म के लिए: काँच की प्लेट और समतल उत्तल लेंस के बीच पतली वायु फिल्म प्राप्त करने के लिए, लेंस की वक्रता त्रिज्या बड़ी होनी चाहिए, क्योंकि रिंग्स के व्यास के सूत्र को निकालने में हमने t<R समीकरण का उपयोग किया है।</p>
- iii. साफ सफाई: काँच की प्लेट और समतल उत्तल लेंस को अच्छी तरह से साफ करना चाहिए।
- iv. वाचन (रीडिंग) लेने से पहले: यह जांच लें कि माइक्रोमीटर स्क्रू की कार्य सीमा कें द्रीय स्थान के दोनों तरफ 20 रिंग्स को कवर करती है या नहीं। यदि माइक्रोमीटर स्क्रू सही तरीके से समायोजित नहीं है, तो इसकी पूरी कार्य सीमा केवल केंद्रीय स्थान के एक तरफ समाप्त हो जाती है और सूक्ष्मदर्शी को आगे बढ़ाने में असमर्थ हो जाती है।
- व्यास मापते स मयः एक क्रॉस वायर को चमकदार रिंग के मध्य पर स्पर्शरेखा के रूप में रखना चाहिए।
- बैकलैश त्रुटि : माइक्रोमीटर स्क्रू की बैकलैश त्रुटि से बचने के लिए इसे केवल एक दिशा में ही चलाना चाहिए।

# MAULANA AZAD NATIONAL INSTITUTE OF TECHNOLOGY, BHOPAL DEPARTMENT OF PHYSICS

## B.TECH. I SEM/II SEM

## EXPERIMENT: REFRACTIVE INDEX

AIM: To determine the refractive index of material of prism using spectrometer.

APPARATUS:Prism, source of mercury light, a spirit level and spectrometer.

#### THEORY:

When a ray of light is incident on a prism, it undergoes deviation (Fig. 1). When a ray of light incident on a face of prism it passes from rarer medium to denser and thus bents towards the normal and travels within the material of prism. On emerging from other face it passes through denser to rarer medium and thus bents away from the normal. It travels in air. It is evident that it has deviated from its original path by an angle  $\delta$ . For thin prism of angle A, the deviation produced by it is given by

$$\delta = (n-1)A$$

Where n is refractive index of material of prism

The refractive index n of a substance is defined as the ratio of speed of light in vacuo and to the speed of light in medium.

$$n = \frac{c}{v}$$

For an isosceles triangled prism, the condition when prism is set in minimum deviation is:

$$n = \frac{\sin\left(\frac{A + \delta_n}{2}\right)}{\sin\frac{A}{2}}$$

where n = refractive index of prism

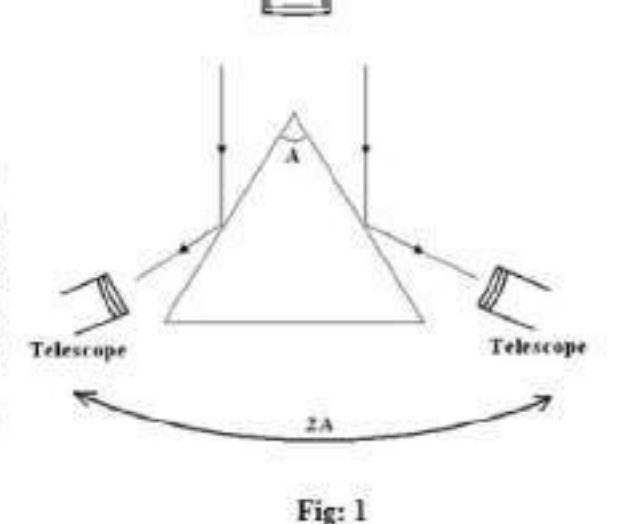
A - angle of prism

δ<sub>m</sub>- angle of minimum deviation

The light wave of different frequency (and hence different wavelength) move with different speed in an optical medium; so the refractive index of medium is a function of frequency (or wavelength). In general, the refractive index n of a material decreases with increase in wavelength.

Since n depends on wavelength, so does the deviation  $\delta$ , If white light is incident on prism, different wavelength undergo deviation by different amount and hence

the emergent ray is dispersed and a spectrum is formed.



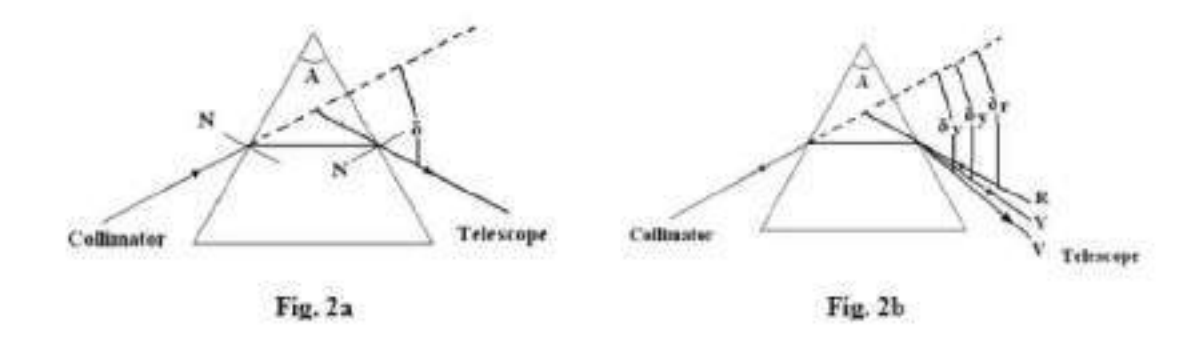
Collineater

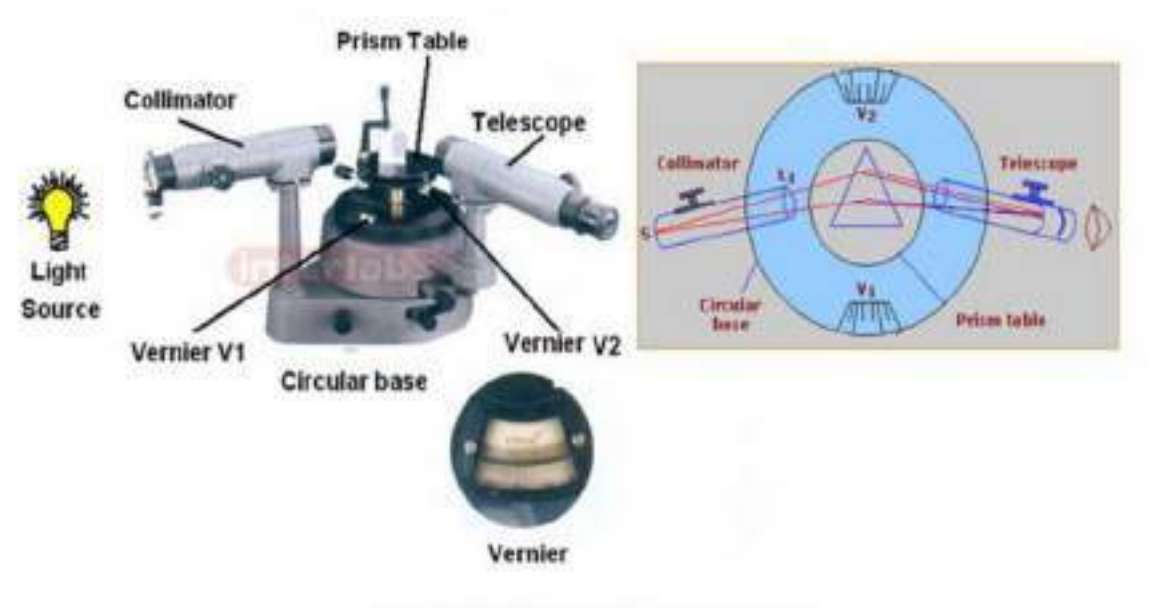
FORMULA:

For an isosceles triangled prism, refractive index of material of the prism n

$$n = \frac{\sin\left(\frac{A+\delta}{2}\right)}{\sin\frac{A}{2}}$$

where A = angle of prism, and  $\delta$  = angle of minimum deviation





#### FIG 3: PARTS OF THE SPECTROMETER

#### PROCEDURE:

- Put a prism on prism table to set its base parallel to collimator beam. A well focused spectrum is obtained in field of view.
- Setting for parallel rays: Move Refracting angle of the prism slightly towards the collimeter. The spectrum will get diffused. Focus the collimeter for sharp spectrum. Now move the refracting angle slightly towards the telescope. The spectrum will get diffused again. This time focus the telescope for sharp spectrum. This procedure should be repeated number of times till the spectrum always remains sharp for slight movement of the prism.
- 3. To measure prism angle: Keep one edge of the prism pointed towards collimeter. Make the width of the slit as narrow as possible. Turn the telescope to set the image of the slit from one face. In this position, note down the reading of vernier (V<sub>1</sub>) from window-1 and reading of vernier (V<sub>2</sub>) from window-2. Again turn it to the other face, take reading from both verniers and notedown in Table 1. Find the difference which gives twice the angle of prism (2A).
- 4. Now place the prism so that the base becomes parallel to the slit and light falls on one face.
- 5. Focus the telescope on other face. Spectrum will be observed from that side. Slowly rotated the prism table, keeping in view the spectrum by rotating telescope in same direction till the spectrum starts moving in the opposite direction. Fix the position of prism table. Now set the crosswire of telescope on Red line of spectrum. In this position, note down the reading of vernier (V<sub>1</sub>) from window-1 and reading of vernier (V<sub>2</sub>) from window-2 in Table 2 as dispersed angle. Similarly note down the reading for other two colours yellow and violet.

- Remove the Prism and bring the telescope in line with collimator. Record and their readings both for V<sub>1</sub> and V<sub>2</sub> in Table 2 as direct-angle.
- 7. Find the difference for all the three colors which gives of for individual color.

## OBSERVATIONS: Least count;

main scale = 0.5 ° (degree) vernier scale = 01 ' (minute)

Table 1: For angle of prism.

S. No.	Window Vernier		ection f Face (	or Left L)		ion fron face (R)		Difference =2A	Mean 2A	A
		MSR	VSR	Total	MSR	VSR	Total			
1	VI		Ţ	VIL			VIR	V <sub>IL</sub> ~V <sub>IR</sub>		
2	V <sub>2</sub>			V <sub>2L</sub>			V <sub>2R</sub>	$V_{2L} {\sim} V_{2R}$		

<sup>\*</sup>MSR= main scale reading, VSR= vernier scale reading

Table 2: For finding angle of minimum deviation:

S.No	Colours	olours Window Vernier		Dispersed angle Dis.			rect an Dir.	gle	Difference V <sub>1D</sub> ~V <sub>1</sub>	Mean
			MSR	VSR	Total	MSR	VSR	Total	V20~ V2	
1.	Red	V <sub>1</sub> V <sub>2</sub>							$\delta_{1r}$ = $\delta_{2r}$ =	δ <sub>t</sub> =
2.	Yellow	V <sub>1</sub> V <sub>2</sub>				$V_{1D} =$ $V_{2D} =$			$\delta_{1y} = \dots$ $\delta_{2y} = \dots$	δ <sub>y</sub> =
3.	Violet	V <sub>1</sub> V <sub>2</sub>				- 1.0 <del>1.00</del> 0.0			δ <sub>1v</sub> = δ <sub>2v</sub> =	δ <sub>v</sub> =

## CALCULATIONS:

- 1. Calculate A (table 1)
- 2. Using the values of  $\delta_r$ ,  $\delta_v$  and  $\delta_v$  in formula, calculate three refractive indices (table 2).

$$n = \frac{\sin\left(\frac{A+\delta}{2}\right)}{\sin\frac{A}{2}}$$

=.....

## RESULTS:

Angle of prism = "" (degree)
Refractive index of prism for different colours

n (Red) = -----

n (Yellow) -----

n (Violet) ------

### PRECAUTIONS:

- 1. Avoid the extra light falling on telescope
- Prior to any measurement with spectrometer, the telescope, collimator and prism table should be set properly.
- The width of slit should be made as narrow as possible, reading of both emier should be taken.

## मौलाना आजाद राष्ट्रीय प्रौद्योगिकी संस्थान, भोपाल

भौतिकी विभाग बी.टेक, प्रथम / द्वितीय सेमेस्टर

## प्रयोग: प्रिज्म के पदार्थ का अपवर्तक सूचकांक

उद्देश्य: स्पेक्ट्रोमीटर का उपयोग करके प्रिज्म के पदार्थ का अपवर्तक सूचकांक निर्धारित करना। उपकरण: प्रिज्म, पारा प्रकाश स्रोत, एक स्पिरिट स्तर, स्पेक्ट्रोमीटर

## सिद्धांत:

जब एक प्रकाश की किरण प्रिज्म पर आपितत होती है, तो यह विचलन का अनुभव करती है (चित्र 1)। जब एक प्रकाश की किरण प्रिज्म के एक चेहरे पर आपितत होती है, तो यह दुर्लभ माध्यम से घने माध्यम में प्रवेश करती है और इस प्रकार सामान्य की ओर मुड़ती है और प्रिज्म के पदार्थ के भीतर यात्रा करती है। दूसरे चेहरे से बाहर निकलते समय यह घने से दुर्लभ माध्यम में प्रवेश करती है और इस प्रकार सामान्य से दूर मुड़ती है। यह हवा में यात्रा करती है। यह स्पष्ट है कि यह अपने मूल पथ से 8 कोण द्वारा विचलित हो गई है। पतले प्रिज्म के कोण A के लिए, इससे उत्पन्न विचलन 8 निम्नलिखित सुत्र द्वारा दी जाती है:

$$\delta = (n-1)A$$

जहाँ » प्रिज्म के पदार्थ का अपवर्तक सूचकांक है। किसी पदार्थ का अपवर्तक सूचकांक » को निर्वात में प्रकाश की गति c और माध्यम में प्रकाश की गति » के अनुपात के रूप में परिभाषित किया जाता है।

$$n = \frac{c}{v}$$

समद्विबाहु त्रिभुज प्रिज्म को जब न्यूनतम विचलन में सेट किया जाता है, तो

$$n = \frac{\sin\left(\frac{A + \delta_m}{2}\right)}{\sin\frac{A}{2}}$$

जहाँ:

- n = प्रिज्म का अपवर्तक सूचकांक
- A = प्रिज्म का कोण
- δ<sub>m</sub> = न्यूनतम विचलन का कोण विभिन्न आवृत्तियों (और इस प्रकार विभिन्न तरंगदैघ्यों) की प्रकाश तरंगें एक ऑप्टिकल माध्यम में विभिन्न गित से चलती हैं; इसलिए माध्यम का अपवर्तक सूचकांक आवृत्ति (या तरंगदैघ्य) का एक फलन होता है। सामान्यतः, किसी पदार्थ का अपवर्तक सूचकांक तरंगदैघ्यं बढ़ने के साथ घटता है। चूंकि n तरंगदैघ्यं पर निर्भर करता है, इसलिए विचलन δ भी तरंगदैघ्यं पर निर्भर करता है। यदि सफेद प्रकाश प्रिज्म पर

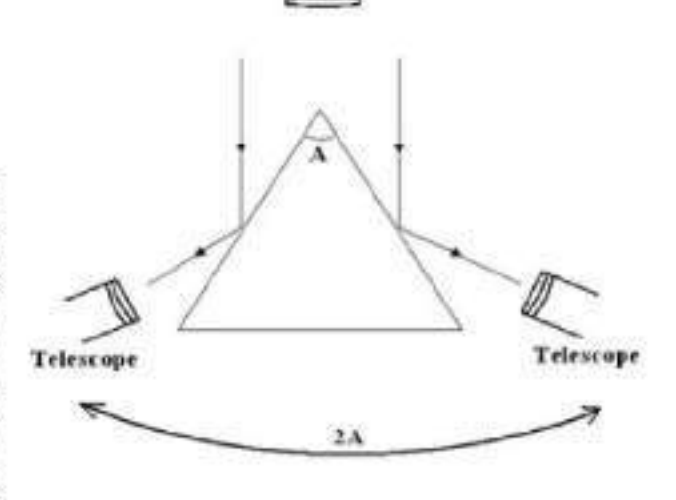


Fig: 1

आपतित होता है, तो विभिन्न तरंगदैर्घ्य विभिन्न मात्राओं में विचलित होते हैं और इस प्रकार उभरने वाली किरण फैल जाती है और एक वर्णक्रम बनता है।

फॉर्मुला:

एक समद्धिबाहु त्रिभुज प्रिज्म के लिए, प्रिज्म की सामग्री का अपवर्तकांक n

$$n = \frac{\sin\left(\frac{A + \delta_n}{2}\right)}{\sin\frac{A}{2}}$$

जहाँ; A = प्रिज्म का कोण, δ<sub>0</sub> = न्यूनतम विचलन का कोण है।

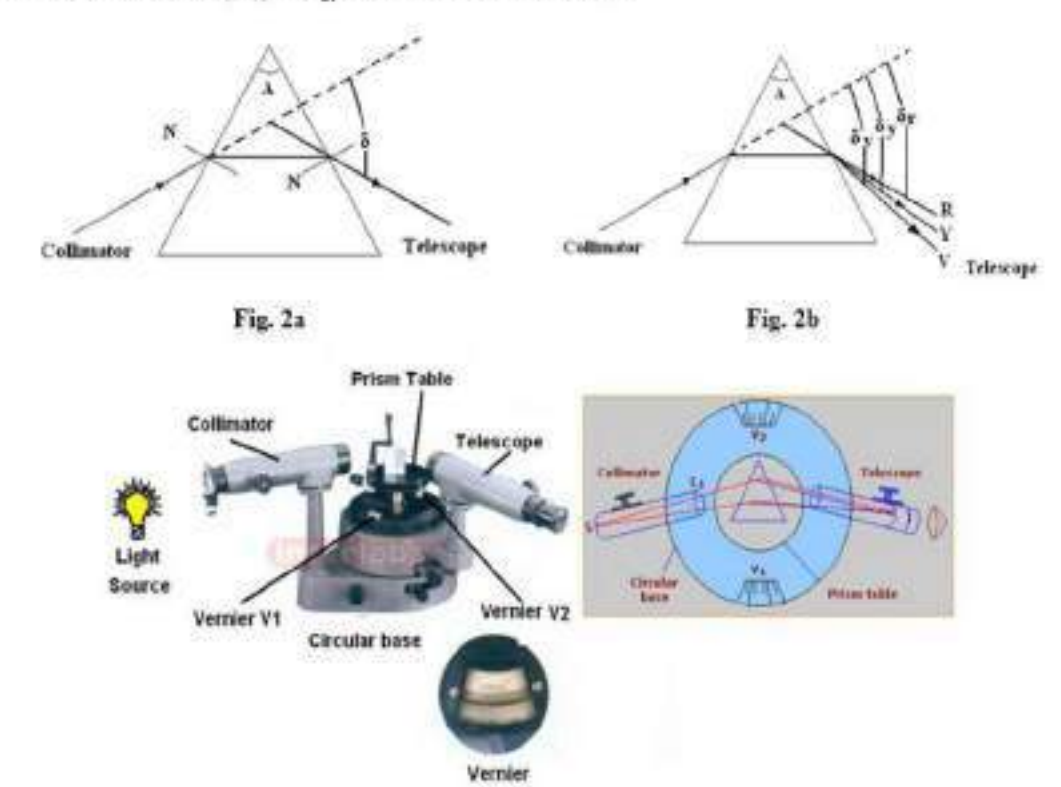


FIG J: PARTS OF THE SPECTROMETER

## प्रक्रियाः

- प्रिज्म टेबल पर एक प्रिज्म रखें ताकि इसका आधार कोलिमेटर बीम के समानांतर हो। दृश्य क्षेत्र में एक अच्छी तरह से फोकस्ड स्पेक्टम प्राप्त होती है।
- समानांतर किरणों के लिए सेटिंग: प्रिज्म के अपवर्तन कोण को कोलिमेटर की ओर थोड़ा सा हिलाएं। स्पेक्ट्रम फैल जाएगा (स्प्रेड होजाएगा) । तीव्र (शार्प) स्पेक्ट्रम के लिए कोलिमेटर को फोकस करें। अब अपवर्तन कोण को टेलीस्कोप की ओर थोड़ा सा हिलाएं। स्पेक्ट्रम फिर से फैल जाएगा। इस बार टेलीस्कोप को तीव्र (शार्प) स्पेक्ट्रम के लिए फोकस करें। इस प्रक्रिया को कई बार दोहराना चाहिए जब तक प्रिज्म की थोडी सी भी चाल के लिए स्पेक्ट्रम हमेशा तीव्र (शार्प) बना रहता है।
- 3. प्रिज्म कोण को मापने के लिए: प्रिज्म के एक किनारे को कोलिमेटर की ओर इंगित रखें। स्लिट की चौड़ाई को जितना संकीर्ण हो सके उतना बनाएं। टेलीस्कोप को एक फेस से स्लिट की छवि सेट करने के लिए घुमाएं। इस स्थिति में, विंडो-1 से वर्नियर (V1) का रीडिंग और विंडो-2 से वर्नियर (V2) का रीडिंग नोट करें। फिर इसे दूसरे फेस की ओर घुमाएं, दोनों वर्नियर से रीडिंग लें और इसे टेबल 1 में नोट करें। अंतर निकालें जो प्रिज्म के कोण का दोगुना (2A) देता है।
- 4. अब प्रिज्म को इस प्रकार रखें कि आधार स्लिट के समानांतर हो जाए और प्रकाश एक फेस पर गिरे।
- 5. टेलीस्कोप को दूसरे फेस पर फोकस करें। उस दिशा से स्पेक्ट्रम देखा जाएगा। प्रिज्म टेबल को धीरे-धीरे घुमाएं, स्पेक्ट्रम को देखते हुए टेलीस्कोप को उसी दिशा में घुमाते रहें जब तक स्पेक्ट्रम विपरीत दिशा में चलने न लगे। प्रिज्म टेबल की स्थिति को ठीक करें। अब टेलीस्कोप के क्रॉसवायर को स्पेक्ट्रम की लाल (Red) रेखा पर सेट करें। इस स्थिति में, विंडो-1 से वर्नियर (V1) का रीडिंग और विंडो-2 से वर्नियर (V2)

का रीडिंग टेबल 2 में बिखरे हुए कोण के रूप में नोट करें। इसी तरह, अन्य दो रंगों पीले (Yellow) और बैंगनी (Violet) के लिए भी रीडिंग नोट करें।

 प्रिज्म को हटाएं और टेलीस्कोप को कोलिमेटर के साथ पंक्ति में लाएं। उनके रीडिंग दोनों V₁ और V₂ के लिए टेबल 2 में सीधे कोण के रूप में रिकॉर्ड करें।

तीनो रंगो के लिए अंतर निकालें जो इन रंगों के लिए अलग अलग 8 देता है।

## प्रेक्षण:

न्यूनतम गणनाः

मुख्य स्केल = 0.5 डिग्री वर्नियर स्केल = 01 मिनट

टेबल 1: प्रिज्म के कोण के लिए।

S. No.	Window Vernier	Reflection for Left Face (L)			Reflec	tion from face (R		Difference =2A	Mean 2A	A o
		MSR	VSR	Total	MSR	VSR	Total			
1	Vi			VII.			VIR	$V_{IL}\sim V_{IR}$		
2	V <sub>2</sub>			V <sub>2L</sub>			V <sub>2R</sub>	$V_{2L}\!\!\sim\!V_{2R}$		

\*MSR = मुख्य स्केल रीडिंग, VSR = वर्नियर स्केल रीडिंग

टेबल 2: न्यूनतम विचलन कोण ज्ञात करने के लिए:

S.No	Colours	Colours Window Vernier				Direct angle Dir.			Difference V <sub>1D</sub> ~V <sub>1</sub>	Mean
				VSR	Total	MSR	VSR	Total	$V_{2D} \sim V_2$	
1.	Red	V <sub>1</sub> V <sub>2</sub>							ô <sub>1r</sub> = ô <sub>2r</sub> =	ô,=
2.	Yellow	$V_1 V_2$				V <sub>10</sub> =			$\delta_{1y} = \dots$ $\delta_{2y} = \dots$	δ,=
3.	Violet	V <sub>1</sub> V <sub>2</sub>				V <sub>2D</sub> =			$\delta_{1y}$ = $\delta_{2y}$ =	δ <sub>v</sub> =

## गणनाएँ:

- A की गणना करें (टेबल 1)
- 2. őr, őy, और őv के मानों का उपयोग करते हुए सूत्र में, तीन अपवर्तकांक की गणना करें (टेबल 2)।

$$n = \frac{\sin\left(\frac{A+\delta}{2}\right)}{\sin\frac{A}{2}} = \dots$$

## परिणाम:

प्रिज्म का कोण – ------ डिग्री विभिन्न रंगों के लिए प्रिज्म का अपवर्तकांक:

> n (लाल) =----n (पीला) =----n (बैंगनी) =-----

## सावधानियाँ:

- टेलीस्कोप पर अतिरिक्त प्रकाश पड़ने से बचें।
- किसी भी माप से पहले, स्पेक्ट्रोमीटर, टेलीस्कोप, कोलिमेटर और प्रिज्म टेबल को सही ढंग से सेट किया जाना चाहिए।
- 3. स्लिट की चौड़ाई को जितना संकीर्ण हो सके उतना बनाना चाहिए। दोनों वर्नियर की रीडिंग ली जानी चाहिए।

# MAULANA AZAD NATIONAL INSTITUTE OF TECHNOLOGY, BHOPAL DEPARTMENT OF PHYSICS

## B.TECH. I SEM/II SEM EXPERIMENT: DISPERSIVE POWER OF MATERIAL OF PRISM

AIM: To determine the dispersive power of material of prism by using spectrometer.

APPARATUS: Prism, source of mercury light, a spirit level and spectrometer.

THEORY: The refractive index in of a substance is defined as the ratio of speed of light in vacuo and to the speed of light in medium.

$$n = \frac{c}{v}$$

The light wave of different frequency (and hence different wavelength) move with different speed in a medium; so the refractive index of medium is a function of frequency (or wavelength). The dependence of refractive index of material on frequency or wavelength is known as dispersion. In general, the refractive index n of a material decreases with increase in wavelength.

When a ray of light is incident on a prism, it undergoes deviation. For thin prism of angle A, the deviation produced by it is given by

$$\delta = (n-1)A$$

For an isosceles triangled prism, the condition when prism is set in minimum deviation is:

$$n = \frac{\sin\left(\frac{A+\delta}{2}\right)}{\sin\frac{A}{2}}$$

where n = refractive index of prism

A = angle of prism

 $\delta$  = angle of minimum deviation

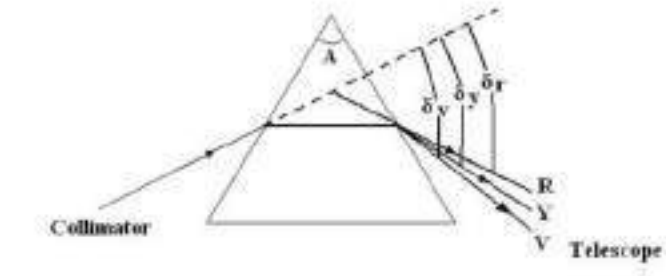


Fig. 1

Since n depends on wavelength, so does the deviation  $\delta$ . If white light is incident on prism, different wavelength undergo deviation by different amount and hence the emergent ray is dispersed and a spectrum is formed. The prism is thus a dispersive device. If  $\delta_v$ ,  $\delta_y$ , and  $\delta_f$  are the angles of deviation for violet, yellow

and red colours, then the ratio  $\left(\frac{\delta_y - \delta_r}{\delta_y}\right)$  is called the dispersive power ( $\omega$ ) of the material of the prism.

$$\omega = \frac{\delta_v - \delta_r}{\delta_y} = \frac{n_v - n_r}{n_v - 1}$$

Where  $\Pi_r$ ,  $\Pi_v$  and  $\Pi_v$  are refractive indices of prism for red, yellow and violet colours.

$$\therefore \omega = \frac{n_v - n_e}{n_v - 1}$$

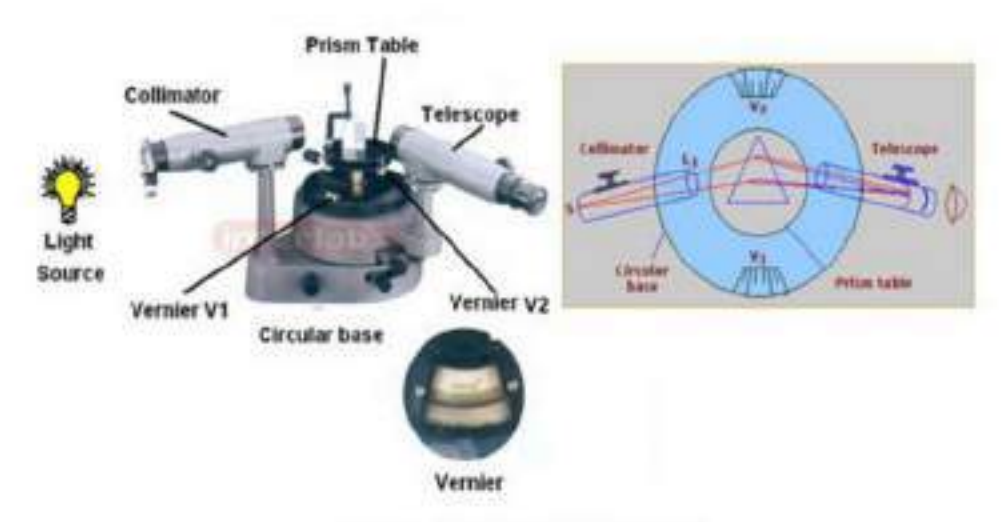


FIG > PARTS OF THE SPECTROMETER

## FORMULA:

Refractive index of material of the prism n

$$n = \frac{\sin\left(\frac{A+\delta}{2}\right)}{\sin\frac{A}{2}}$$

where A = angle of prism

 $\delta$  = angle of minimum deviation

Dispersive power of the material of the prism ω,

$$\omega = \frac{n_s - n_r}{n_s - 1}$$

Where n<sub>t</sub>, n<sub>v</sub> and n<sub>v</sub> are refractive indices of prism for red, yellow and violet colours.

#### PROCEDURE:

- Put a prism on prism table to set its base parallel to collimator beam and light falls on one face.
- A well focused spectrum is obtained in field of view.
- 3. Setting for parallel rays: Move Refracting angle of the prism slightly towards the collimator. The spectrum will get diffused. Focus the collimator for sharp spectrum. Now move the refracting angle slightly towards the telescope. The spectrum will get diffused again. This time focus the telescope for sharp spectrum. This procedure should be repeated number of times till the spectrum always remains sharp for slight movement of the prism.
- 4. Now place the prism so that the base becomes parallel to the slit Focus the telescope on other face. Spectrum will be observed from that side. Slowly rotate the prism table, keeping in view the spectrum by rotating telescope in same direction till the spectrum starts moving in the opposite direction. Fix the position of prism table. Now set the crosswire of telescope on Red line of spectrum. In this position, note down the reading of vernier (V1)

from window-1 and reading of vernier  $(V_2)$  from window-2 in **Table** as dispersed angle. Similarly note down the reading for other two colours yellow and violet.

- Remove the Prism and bring the telescope in line with collimator. Record and their readings both for V<sub>1</sub> and V<sub>2</sub> in Table as direct-angle.
- Find the difference which gives δ.

#### OBSERVATIONS:

Angle of prism= 60° (degree) Least count; main scale = 0.5 ° (degree) vernier scale = 01 ` (minute)

Table: For finding angle of minimum deviation:

S.No	Colours	Vernier	Dispersed angle Dis.			Di	rect an Dir.	gle	Difference Dis.~ Dir.	Mean
			MSR	VSR	Total	MSR	VSR	Total		
1.	Red	V <sub>1</sub> V <sub>2</sub>							$\delta_r = \dots$ $\delta_r = \dots$	δ <sub>r</sub> =
2.	Yellow	V <sub>1</sub> V <sub>2</sub>				$\mathbf{v_1}$	101		δ <sub>y</sub> = δ <sub>v</sub> =	δ <sub>v</sub> =
3.	Violet	V <sub>1</sub> V <sub>2</sub>				V <sub>2</sub>			$\delta_v = \dots$ $\delta_v = \dots$	$\delta_v =$

<sup>\*</sup>MSR= main scale reading, VSR= vernier scale reading

#### CALCULATIONS:

Using the values of  $\delta_r$ ,  $\delta_v$  and  $\delta_v$  in formula, calculate three refractive indices.

$$n_r = \frac{\sin\left(\frac{A + \delta_r}{2}\right)}{\sin\frac{A}{2}}$$

Similarly  $n_1 = \dots$  and  $n_v = \dots$ 

Dispersive power of the material of the prism ω,

$$\omega = \frac{n_r - n_r}{n_r - 1}$$

$$\omega = \dots$$

### RESULTS:

Refractive index of prism for different colours

Dispersive power of the material of the prism ω=......

## PRECAUTIONS:

- Avoid the extra light falling on telescope
- Prior to any measurement with spectrometer, the telescope, collimator and prism table should be set properly.
- The width of slit should be made as narrow as possible reading of both ernier should be taken.
- The position of minimum deviation should be obtained for each colour photocell such that it yields maximum current.

## मौलाना आजाद राष्ट्रीय प्रौद्योगिकी संस्थान, भोपाल

भौतिकी विभाग बी.टेक, प्रथम / द्वितीय सेमेस्टर

## प्रयोग: प्रिज्म के पदार्थ की विक्षेपण क्षमता

उद्देश्य: स्पेक्ट्रोमीटर का उपयोग करके प्रिज्म के पदार्थ की विक्षेपण क्षमता निर्धारित करना। । उपकरण: प्रिज्म, पारा प्रकाश स्रोत, एक स्पिरिट स्तर, स्पेक्ट्रोमीटर सिद्धांत:

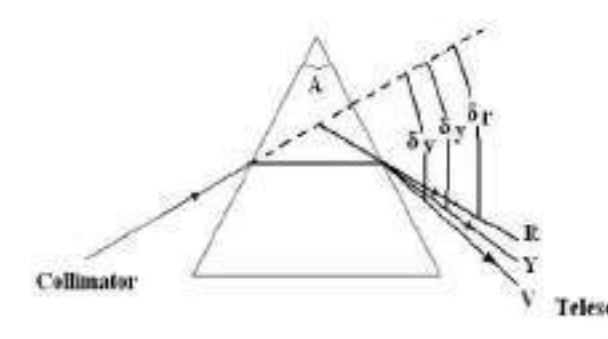
जब एक प्रकाश की किरण प्रिज्म पर आपितत होती है, तो यह विचलन का अनुभव करती है (चित्र 1)। जब एक प्रकाश की किरण प्रिज्म के एक चेहरे पर आपितत होती है, तो यह दुर्लभ माध्यम से घने माध्यम में प्रवेश करती है और इस प्रकार सामान्य की ओर मुड़ती है और प्रिज्म के पदार्थ के भीतर यात्रा करती है। दूसरे चेहरे से बाहर निकलते समय यह घने से दुर्लभ माध्यम में प्रवेश करती है और इस प्रकार सामान्य से दूर मुड़ती है। यह हवा में यात्रा करती है। यह स्पष्ट है कि यह अपने मूल पथ से 8 कोण द्वारा विचलित हो गई है। पतले प्रिज्म के कोण A के लिए, इससे उत्पन्न विचलन 8 निम्नलिखित सूत्र द्वारा दी जाती है:

δ= (n-1)A
जहाँ n प्रिज्म के पदार्थ का अपवर्तक सूचकांक है।
किसी पदार्थ का अपवर्तक सूचकांक n को निर्वात में प्रकाश की गति c और माध्यम में प्रकाश की गति v
के अनुपात के रूप में परिभाषित किया जाता है।

$$n = \frac{c}{v}$$

समद्विबाहु त्रिभुज प्रिज्म को जब न्यूनतम विचलन में सेट किया जाता है, तो

$$n = \frac{\sin\left(\frac{A + \delta_m}{2}\right)}{\sin\frac{A}{2}}$$



जहाँ:

- n = प्रिज्म का अपवर्तक सूचकांक
- A = प्रिज्म का कोण
- δ<sub>m</sub> = न्यूनतम विचलन का कोण

Fig. 1

विभिन्न आवृत्तियों (और इस प्रकार विभिन्न तरंगदैष्यों) की प्रकाश तरंगें एक ऑप्टिकल माध्यम में विभिन्न गित से चलती हैं; इसलिए माध्यम का अपवर्तक सूचकांक आवृत्ति (या तरंगदैष्यी) का एक फलन होता है। सामान्यतः, किसी पदार्थ का अपवर्तक सूचकांक तरंगदैष्यी बढ़ने के साथ घटता है। चूंकि " तरंगदैष्यी पर निर्भर करता है, इसलिए विचलन ह भी तरंगदैष्यी पर निर्भर करता है। यदि सफेद प्रकाश प्रिज्म पर आपतित होता है, तो विभिन्न तरंगदैष्यी विभिन्न मात्राओं में विचलित होते हैं और इस प्रकार उभरने वाली किरण फेल जाती है और एक वर्णक्रम बनता है।

इस प्रकार प्रिज्म एक विक्षेपक उपकरण है। यदि δ., δ,, और δ, बैंगनी, पीले और लाल रंगों के विचलन कोण हैं, तो इस अनुपात को प्रिज्म की सामग्री की विक्षेपण शक्ति/क्षमता (ω) कहा जाता है।

$$\omega = \frac{\delta_v - \delta_r}{\delta_v} = \frac{n_v - n_r}{n_v - 1}$$

जहाँ n, n, और n, प्रिज्म के लाल, पीले और बैंगनी रंगों के अपवर्तक सूचकांक हैं।

$$\therefore \omega = \frac{n_v - n_r}{n_v - 1}$$

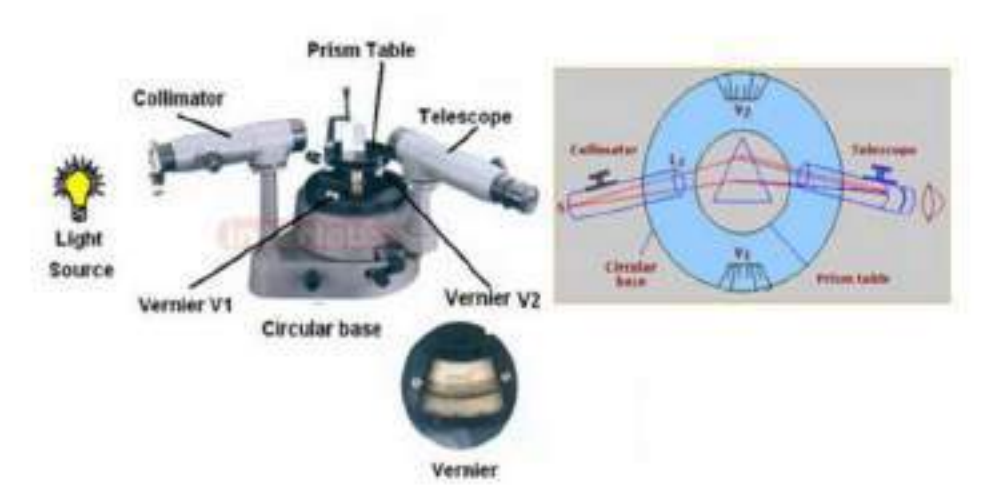


FIG 2: PARTS OF THE SPECTROMETER

फॉर्मूला:

एक समद्विबाहु त्रिभुज प्रिज्म के लिए, प्रिज्म की सामग्री का अपवर्तकांक n

$$n_r = \frac{\sin\!\left(\frac{A + \mathcal{S}_r}{2}\right)}{\sin\frac{A}{2}}$$

जहाँ:

 $\Lambda =$  प्रिज्म का कोण,  $\delta_r =$  लाल का न्यूनतम विचलन का कोण है। इसी प्रकार  $n_y =$  और  $n_y =$  ...... विक्षेपण क्षमता ( $\omega$ )

$$\therefore \omega = \frac{n_v - n_r}{n_v - 1}$$

#### प्रक्रिया:

- प्रिज्म टेबल पर एक प्रिज्म रखें ताकि इसका आधार कोलिमेटर बीम के समानांतर हो। दृश्य क्षेत्र में एक अच्छी तरह से फोकस्ड स्पेक्टम प्राप्त होती है।
- 2. समानांतर किरणों के लिए सेटिंग: प्रिज्म के अपवर्तन कोण को कोलिमेटर की ओर थोड़ा सा हिलाएं। स्पेक्ट्रम फैल जाएगा (स्प्रेड होजाएगा) । तीव्र (शार्प) स्पेक्ट्रम के लिए कोलिमेटर को फोकस करें। अब अपवर्तन कोण को टेलीस्कोप की ओर थोड़ा सा हिलाएं। स्पेक्ट्रम फिर से फैल जाएगा। इस बार टेलीस्कोप को तीव्र (शार्प) स्पेक्ट्रम के लिए फोकस करें। इस प्रक्रिया को कई बार दोहराना चाहिए जब तक प्रिज्म की थोड़ी सी भी चाल के लिए स्पेक्ट्रम हमेशा तीव्र (शार्प) बना रहता है।
- अब प्रिज्म को इस प्रकार रखें कि आधार स्लिट के समानांतर हो जाए और प्रकाश एक फेस पर गिरे।
- 4. टेलीस्कोप को दूसरे फेस पर फोकस करें। उस दिशा से स्पेक्ट्रम देखा जाएगा। प्रिज्म टेबल को धीरे-धीरे घुमाएं, स्पेक्ट्रम को देखते हुए टेलीस्कोप को उसी दिशा में घुमाते रहें जब तक स्पेक्ट्रम विपरीत दिशा में चलने न लगे। प्रिज्म टेबल की स्थिति को ठीक करें। अब टेलीस्कोप के क्रॉसवायर

को स्पेक्ट्रम की लाल (Red) रेखा पर सेट करें। इस स्थिति में, विंडो-। से वर्नियर (V<sub>1</sub>) का रीडिंग और विंडो-2 से वर्नियर (V<sub>2</sub>) का रीडिंग टेबल 2 में बिखरे हुए कोण के रूप में नोट करें। इसी तरह, अन्य दो रंगों पीले (Yellow) और बैंगनी (Violet) के लिए भी रीडिंग नोट करें।

प्रिज्म को हटाएं और टेलीस्कोप को कोलिमेटर के साथ पंक्ति में लाएं। उनके रीडिंग दोनों V1 और

V<sub>2</sub> के लिए टेबल 2 में सीधे कोण के रूप में रिकॉर्ड करें।

तीनी रंगों के लिए अंतर निकालें जो इन रंगों के लिए अलग अलग 8 देता है।

### प्रेक्षणः

न्यूनतम विचलन कोण की गणना;

मुख्य स्केल = 0.5 डिग्री

वर्नियर स्केल = 01 मिनट

प्रिज्म का कोण - 60 डिग्री

टेबल 2: न्यूनतम विचलन कोण ज्ञात करने के लिए:

S.No Colours		Window Vernier	Disp	ersed a	angle	Di	rect an Dir.	gle	Difference V <sub>1D</sub> ~V <sub>1</sub>	Mean δ
		32,000,000,000	MSR	VSR	Total	MSR	VSR	Total	V20~V2	934
1.	Red	V <sub>1</sub> V <sub>2</sub>						14	$\delta_{1r}$ = $\delta_{2r}$ =	δ <sub>r</sub> =
2.	Yellow	V <sub>1</sub> V <sub>2</sub>				$V_{1D}=$ $V_{2D}=$			$\delta_{1y}=\dots$ $\delta_{2y}=\dots$	δ <sub>y</sub> =
3.	Violet	V <sub>1</sub> V <sub>2</sub>							δ <sub>1v</sub> = δ <sub>2v</sub> =	δ <sub>v</sub> =

\*MSR = मुख्य स्केल रीडिंग, VSR = वर्नियर स्केल रीडिंग

## गणनाएँ:

δε, δγ, और δγ के मानों का उपयोग करते हुए सूत्र में, तीन अपवर्तकांक की गणना करें (टेबल 2)।

$$n_r = \frac{\sin\left(\frac{A + \delta_r}{2}\right)}{\sin\frac{A}{2}}$$

इसी प्रकार ny और ny की भी गणना करें , ny=\_\_\_\_\_\_ ny=\_\_\_\_\_\_

#### परिणामः

विभिन्न रंगों के लिए प्रिज्म का अपवर्तकांक:

प्रिज्म के पदार्थ की विक्षेपण क्षमता (ω) =.....

#### सावधानियाँ:

टेलीस्कोप पर अतिरिक्त प्रकाश पडने से बचें।

 किसी भी माप से पहले, स्पेक्ट्रोमीटर, टेलीस्कोप, कोलिमेटर और प्रिज्म टेबल को सही ढंग से सेट किया जाना चाहिए।

 स्लिट की चौड़ाई को जितना संकीर्ण हो सके उतना बनाना चाहिए। दोनों वर्नियर की रीडिंग ली जानी चाहिए।

# MAULANA AZAD NATIONAL INSTITUTE OF TECHNOLOGY, BHOPAL DEPARTMENT OF PHYSICS

#### B.Tech. I Sem/II sem

#### EXPERIMENT: PLANE TRANSMISSION GRATING

#### AIM:

Determination of wavelength of different colours of mercury light using a plane transmission grating.

#### APPARATUS:

Spectrometer with the grating stand, diffraction grating of known grating element, mercury lamp and reading lens.

#### THEORY:

A transmission diffraction grating is a glass slide with large number of parallel, closely spaced slits (transparent spaces) drawn on it. Early ones were carbon covered glass slides etched by a needle point - now they tend to be printed onto a slide. When a parallel beam of monochromatic light is directed normally (at right angles to it!) at a diffraction grating, light is transmitted by the grating in certain directions only because the light passing through each slit is diffracted and these diffracted light waves from adjacent slits reinforce each other in certain directions only, including the incident light direction, and cancel out in all other directions.

If the source of light is mercury lamp (having all visible colours), this grating separates the colors of incident light because different wavelengths are diffracted at different angles, according to the grating relationship

$$\sin \theta = \frac{n\lambda}{(e+d)}$$

where (e+d) = grating element

 $\Theta$  = angle of diffraction

n = order diffraction

 $\lambda$  = wavelength of light

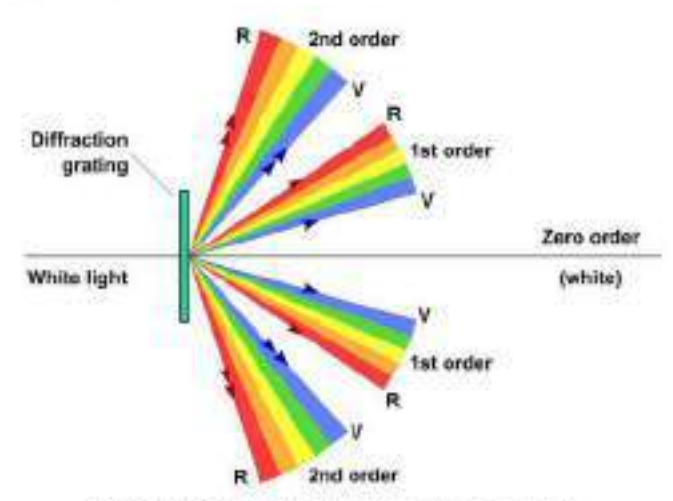


Fig 1: Diffraction pattern from grating

1

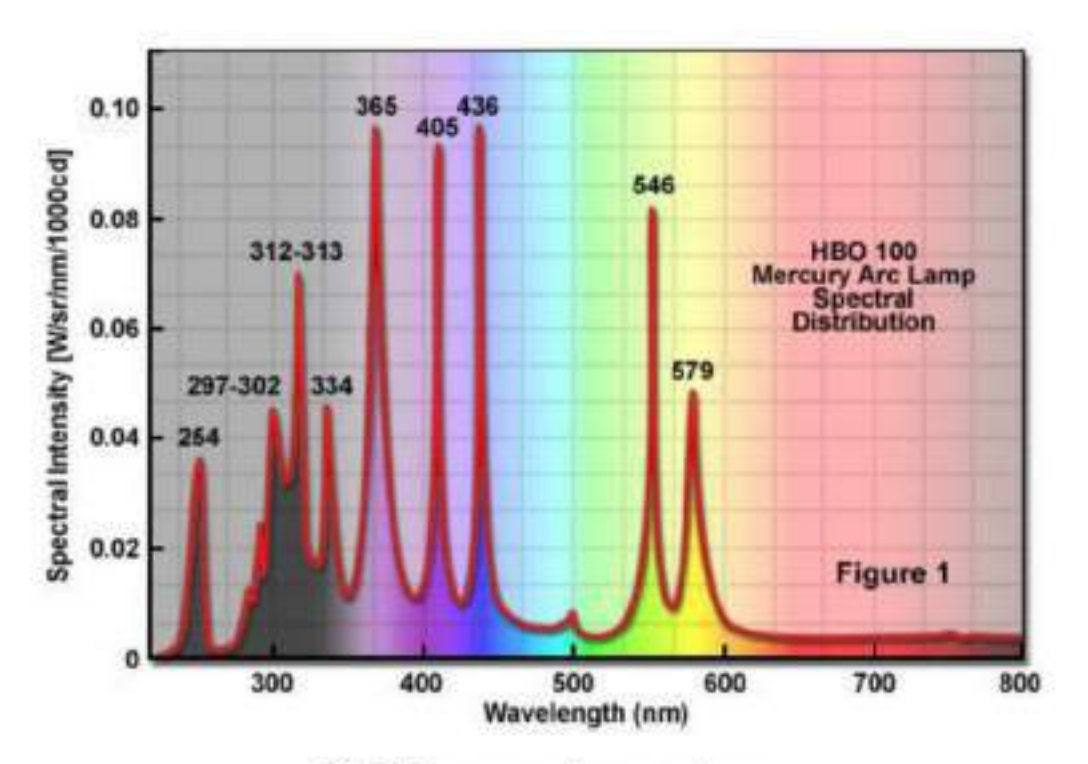


Fig 2: Mercury are lamp spectrum

#### PROCEDURE:

Make the preliminary mechanical and optical adjustments of the spectrometer.

- 1. Set the telescope and collimator in one line so that the direct image of the slit falls on the intersection of wires. Note the reading. Now mount the grating and turn the telescope by 90°. Turn the grating in such a way that the reflected image of the slit is received in the telescope. It means that the incident rays on the grating are inclined at 45° to the plane of grating. Now rotate grating by 45° or 135° so that it becomes normal to collimator and the grating surface facing the telescope. The rulings of the grating are parallel to main axis of the instrument. When the axis of the telescope is parallel to that of the collimator, an image of the slit will be seen lying with its centre lying on the intersection of the crosswires of the telescope.
- Turn the collimator towards left until the diffraction image (colour spectrum) of first order is visible on the intersection of cross-wires, take the readings of two verniers V<sub>1</sub> (window 1) and V<sub>2</sub> (window 2) for Violet color.
- Next turn the telescope to get the first order image to the right on the intersection and read the two verniers V<sub>1</sub> (window 1) and V<sub>2</sub> (window 2) for Violet color.
- The difference in the readings of the same vernier of the two settings gives twice the angle of diffraction. Calculate its mean value. Use this and the known grating element for the calculation of wavelength of light.
- Same experiment can be repeated for Green and Yellow lines.

#### OBSERVATIONS:

Lines per inch on grating = 15000 Grating element (e+d) = 2.54/15000 cm

Least count ; main scale = 0.5 ° (degree) vernier scale = 30" (seconds)

#### Table

Colour	Vernier	Spectro Left of direct i			Right	<b>■</b>		Difference in the readings 20	Mean value of O
		MSR Degree	VSR Minute	Total	MSR Degree	VSR Minute	Total		
(1)303/52/12	V <sub>1</sub>			VILeff			V <sub>1 Right</sub>	$V_{1Left} \sim V_{1Right}$	
	V <sub>2</sub>			V <sub>2 Left</sub>			V <sub>2 Right</sub>	$V_{2  Left} \sim V_{2  Right}$	
Green	V <sub>1</sub>							$V_{1  Left} \sim V_{1  Right}$	
	V <sub>2</sub>							$V_{2Left} \sim V_{2Right}$	
Yellow	$V_1$							$V_{1\;Left} \sim V_{1\;Right}$	
	V <sub>2</sub>				11.	7		V2 Left - V2 Right	

#### CALCULATIONS:

Wavelength of,

1. violet 
$$\lambda = \frac{(e+d)}{n} \sin \theta = \dots$$

2. green 
$$\lambda = \frac{(e+d)}{n} \sin \theta = \dots$$

3. yellow 
$$\lambda = \frac{(e+d)}{n} \sin \theta = \dots$$

#### RESULT:

- 3. Wavelength of yellow light = ..... A

#### SOURCES OF ERRORS AND PRECAUTIONS:

- i) Avoid the extra light falling on telescope
- ii) Prior to any measurement with spectrometer, the telescope, collimator and prism table should be set properly.
- iii) The width of slit should be made as narrow as possible reading of both ernier should be taken.

## मौलाना आजाद राष्ट्रीय प्रौद्योगिकी संस्थान, भोपाल भौतिकी विभाग

बी.टेक. प्रथम / द्वितीय सेमेस्टर

## प्रयोगः प्लेन ट्रांसमिशन ग्रेटिंग

उद्देश्यः प्लेन ट्रांसमिशन ग्रेटिंग का उपयोग करके पारा-वाष्प लैंप के विभिन्न रंगों की तरंगदैर्ध्य (wavelength) का निर्धारण।

उपकरण: ग्रेटिंग स्टैंड के साथ स्पेक्ट्रोमीटर, ज्ञात ग्रेटिंग तत्व वाला विवर्तन ग्रेटिंग, पारा-वाष्प लैंप और रीडिंग लेंस।

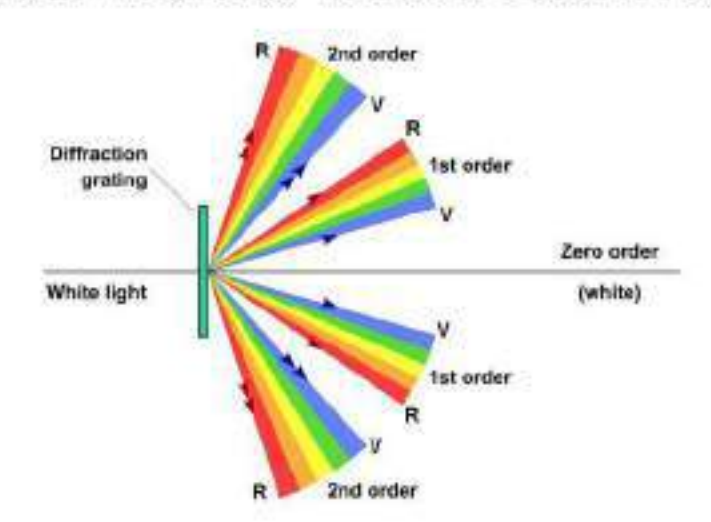
सिद्धांत: ट्रांसिमशन विवर्तन ग्रेटिंग एक कांच की स्लाइड होती है जिसमें बड़ी संख्या में समानांतर, निकट से स्थित स्लिट्स (पारदर्शी स्थान) होती हैं। प्रारंभिक ग्रेटिंग्स कार्बन से ढके कांच की स्लाइड्स को सुई की नोक से उकेरा जाता था - अब इन्हें स्लाइड पर प्रिंट किया जाता है। जब मोनोक्रोमैटिक प्रकाश की समानांतर किरण को विवर्तन ग्रेटिंग पर सामान्य रूप से (सही कोण पर) निर्देशित किया जाता है, तो ग्रेटिंग के द्वारा प्रकाश केवल निश्चित दिशाओं में प्रसारित होता है क्योंकि प्रत्येक स्लिट से गुजरने वाला प्रकाश विवर्तित होता है और ये विवर्तित प्रकाश तरंगें निकटवर्ती स्लिट्स से केवल कुछ निश्चित दिशाओं में एक-दूसरे को सुद्द करती हैं, जिसमें घटना प्रकाश दिशा शामिल है, और अन्य सभी दिशाओं में एक-दूसरे को रद्द कर देती हैं।

यदि प्रकाश का स्रोत पारा लैंप है (जिसमें सभी दृश्य रंग होते हैं), तो यह ग्रेटिंग घटना प्रकाश के रंगों को अलग करती है क्योंकि विभिन्न तरंगदैर्ध्य अलग-अलग कोणों पर विवर्तित होती हैं, ग्रेटिंग संबंध के अनुसार:

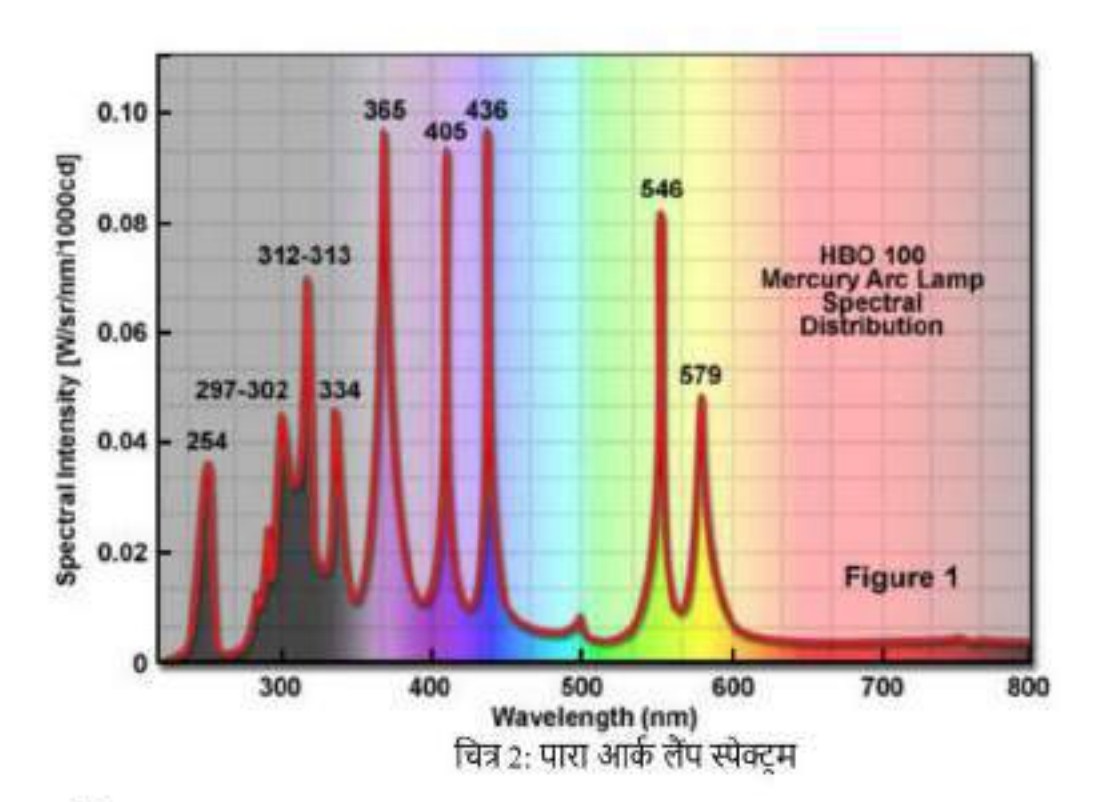
$$\sin\theta = \frac{n\lambda}{(e+d)}$$

(e+d)sinθ=nλ

जहां  $(e+d)=\bar{y}$ दिंग तत्व,  $\theta=\bar{q}$  विवर्तन कोण,  $q=\bar{q}$  विवर्तन क्रम,  $q=\bar{q}$  प्रकाश की तरंगदैर्ध्य हैं।



चित्र 1: ग्रेटिंग से विवर्तन पैटर्न



#### प्रक्रिया:

स्पेक्ट्रोमीटर के प्रारंभिक यांत्रिक और ऑप्टिकल समायोजन (adjustment) करें।

- 1. टेलीस्कोप और कॉलिमेटर को एक रेखा में सेट करें ताकि स्लिट की सीधी छवि तारों के प्रतिब्छेदन (cross wire) पर गिरे। रीडिंग नोट करें। अब ग्रेटिंग को माउंट करें और टेलीस्कोप को 90° घुमाएं। ग्रेटिंग को इस तरह घुमाएं कि स्लिट की प्रतिबिंबित छवि टेलीस्कोप में प्राप्त हो। इसका मतलब है कि ग्रेटिंग पर आपितत किरणें ग्रेटिंग के तल पर 45° पर झुकी हुई हैं। अब ग्रेटिंग को 45° या 135° घुमाएं ताकि यह कॉलिमेटर के लंबवत हो जाए और ग्रेटिंग की सतह टेलीस्कोप की ओर हो। जब टेलीस्कोप की धुरी कॉलिमेटर की धुरी के समानांतर होगी, तो स्लिट की छवि देखी जा सकेगी जो टेलीस्कोप के क्रॉस-वायर के प्रतिब्छेदन के केंद्र पर होगी।
- जब तक कि प्रथम क्रम के विवर्तन छवि (रंग स्पेक्ट्रम) क्रॉस-वायर के प्रतिच्छेदन पर दिखाई न दे, कॉलिमेटर को बाईं ओर घुमाएं। वायलेट रंग के लिए दो वर्नियर्स VI (विंडो 1) और V2 (विंडो 2) की रीडिंग लें।
- इसके बाद टेलीस्कोप को दाईं ओर घुमाएं ताकि प्रथम क्रम की छवि क्रॉस-वायर के प्रतिच्छेदन पर हो और वायलेट रंग के लिए दो वर्नियर्स V1 (विंडो 1) और V2 (विंडो 2) की रीडिंग लें।
- टेलीस्कोप की इन दो सेटिंग्स के एक ही वर्नियर की रीडिंग में अंतर विवर्तन के कोण का दो गुना होता है। इसका औसत मान निकालें। इसका उपयोग करें और ज्ञात ग्रेटिंग तत्व का उपयोग करके प्रकाश की तरंगदैर्ध्य की गणना करें।
- वहीं प्रयोग ग्रीन और येलों लाइनों के लिए दोहराना है।

## प्रेक्षण/ अवलोकनः

ग्रेटिंग पर लाइन्स प्रति इंच = 15000 ग्रेटिंग तत्व(झिर्री के बीच की दूरी Grating element) (e+d) = 2.54/15000 सेमी लघुत्तमांक की गणना (Least count); मुख्य स्केल <u>= 0.5° (डिग्री)</u>, वर्नियर स्केल <u>= 30" (सेकंड)</u>

#### तालिकाः

Colour	Colour	Vernier	Spectro Left of direct i	f		Spectrum Different Right of the read direct image 20		ight of th		Mean value of O
		MSR Degree	VSR Minute	Total	MSR Degree	VSR Minute	Total			
Violet	V <sub>1</sub>		110330000	Vilen	1,0000120000	- NESW/	V <sub>1 Right</sub>	$V_{1\;Left} \sim V_{1\;Right}$		
	V <sub>2</sub>			V <sub>21,eft</sub>			V <sub>2 Right</sub>			
Green	V <sub>1</sub>							$V_{1 \text{ Left}} \sim V_{1 \text{ Right}}$		
	V <sub>2</sub>							$V_{2  Left} \sim V_{2  Right}$		
Yellow	V <sub>1</sub>							$V_{1 \text{ Left}} \sim V_{1 \text{ Right}}$		
	V <sub>2</sub>	Service 1			houses			V2 Left ~ V2 Right		

<sup>\*</sup>MSR = मुख्य स्केल रीडिंग, VSR = वर्नियर स्केल रीडिंग

#### गणनाः

- 1. वायलेट के लिए  $\lambda = \frac{(e+d)}{n} \sin \theta$  : .....
- 2. हरे के लिए  $\lambda = \frac{(e+d)}{n} \sin \theta$ :.....
- 3. पीले के लिए  $\lambda = \frac{(e+d)}{n} \sin \theta$ :....

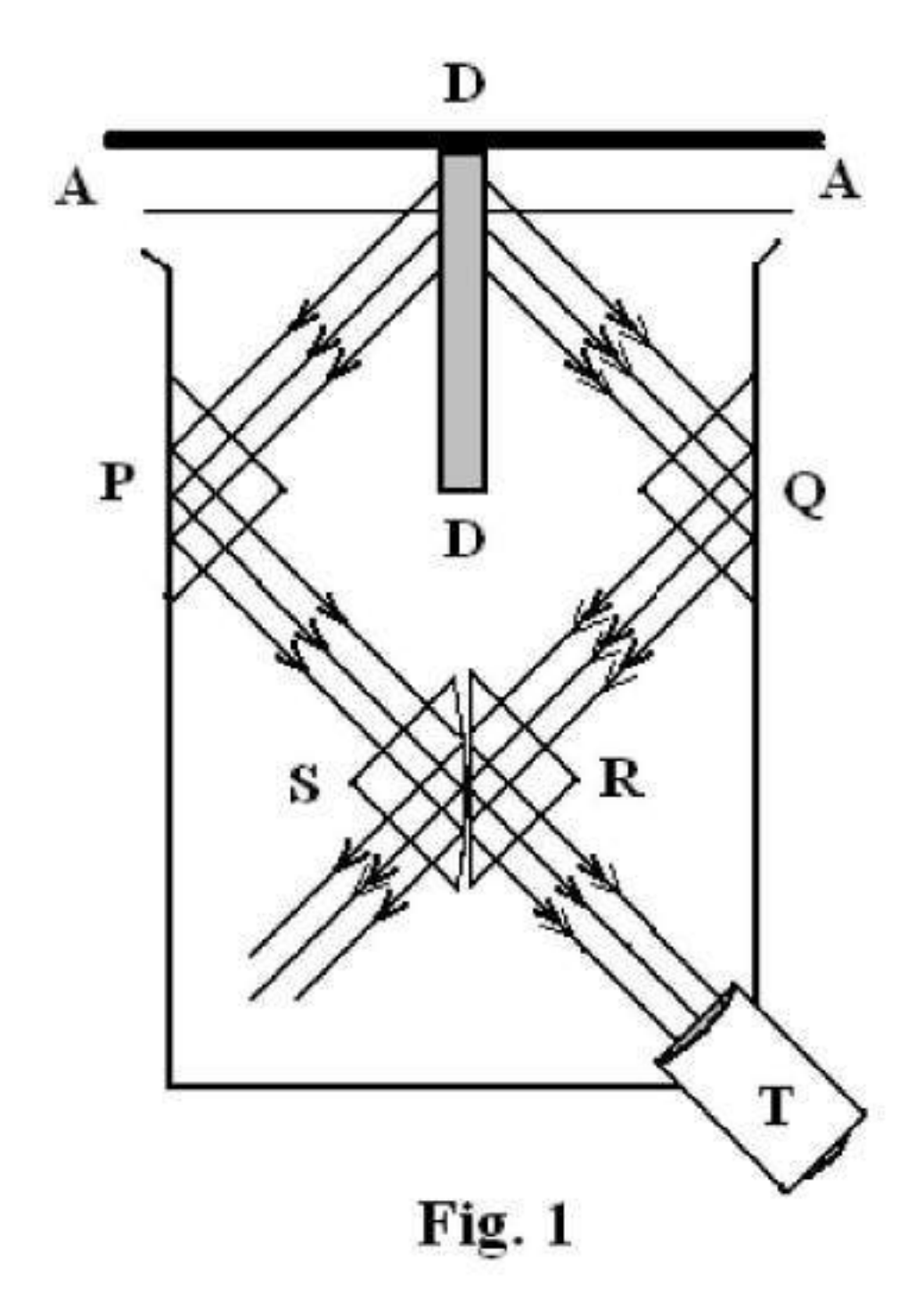
#### परिणाम:

- सावधानियाँ और तुटि का स्रोत:
  i. टेलीस्कोप पर अतिरिक्त प्रकाश आने से बचाएं।
- ii. स्पेक्ट्रोमीटर के साथ किसी भी माप से पहले, टेलीस्कोप, कॉलिमेटर और प्रिज्म टेबल को सही ढंग से सेट किया जाना चाहिए।
- iii. स्लिट की चौड़ाई को जितना संभव हो उतना संकीर्ण बनाया जाना चाहिए। दोनों वर्नियर की रीडिंग ली जानी चाहिए।

# MAULANA AZAD NATIONAL INSTITUTE OF TECHNOLOGY, BHOPAL DEPARTMENT OF PHYSICS

### B.Tech. I Sem/II sem

## EXPERIMENT: L-B PHOTOMETER



#### AIM:

To determine the percentage of transmittance for a semi-transparent film using Lummer-Brodhum (L.B.) Photometer.

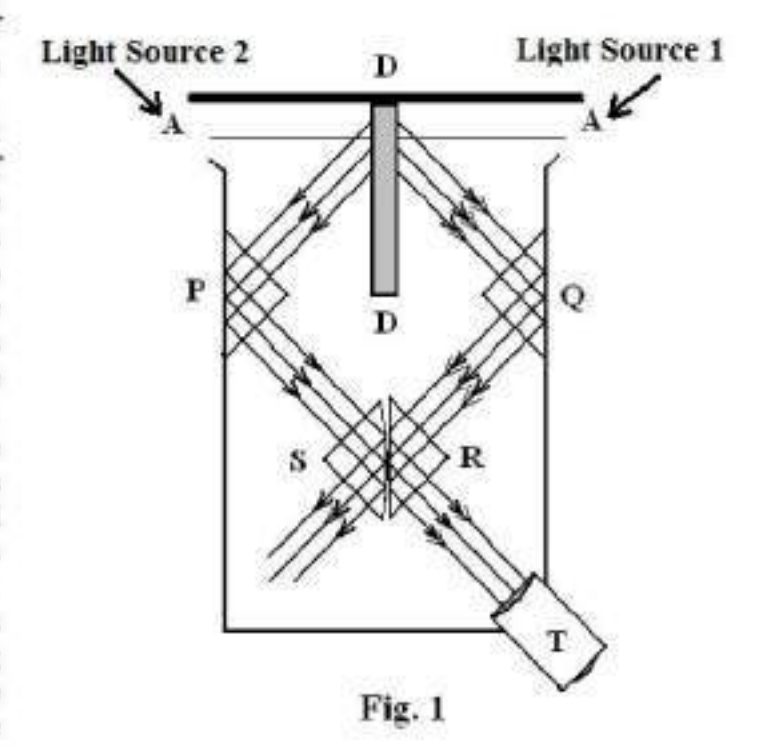
#### APPARATUS:

L.B. Photometer assembly with two light sources, transparent glass plate with stand.

#### THEORY:

The optical arrangement of L.B. Photometer assembly is illustrated in fig. 1. It consists of a system of right angled isosceles prisms so arranged that the field of view of the telescope is divided into two, one portion being illuminated by light coming from one of the sources and the other by light from the second source. This is achieved in the following manner. Light from the two sources is admitted through the apertures AA and falls on the slab DD of magnesium carbonate. Light is diffusely reflected from the surfaces of the slab and except for the rays that cut the faces of the total reflection prism P and Q normally, the rest are absorbed by the interior of the blackened sides of the box containing this arrangement. These rays are totally reflected at the hypotenuse surface of the prism P and Q and then enter the prism combination SR. It consists of two right-angled prisms with their hypotenuse surfaces in

optical contact. The hypotenuse of S is rounded off except for the central portion which lies in contact with R. The reason for this is that light can pass through the region of contact as if the prism were one solid medium. Other rays suffer total reflection and do not pass through the combination. Of the rays totally reflected by P on to the surface of S only the central system incident on the surface of contact of the two prisms is allowed to pass through and enter the telescope; other rays are totally internally reflected. In a similar manner rays coming from Q and meeting the surface of contact of the two prisms pass through the combination and are not able



to enter the telescope. The light, which falls on the portions of R outside the surface of contact, are totally reflected and enter the telescope. So, the central portion of the field of view is illuminated with light coming from the source on the left side whereas that surrounding the central portion is illuminated by light from the other source. If the illumination of the two portions is same, the field of view will appear to be uniformly illuminated (Fig 2 a,b). It means the intensity of illumination on either side of the slab DD is the same.

If then the sources have illuminating powers  $P_1$  and  $P_2$  and their distances from the photometer-head are r and  $r_1$  respectively.

$$I = \frac{P_1}{r^2} = \frac{P_2}{r_1^2}$$

Since both the portions of light received by the telescope traverse the same thickness of glass, any absorption by it will affect the intensity of the two equally and will not interfere with the adjustment.

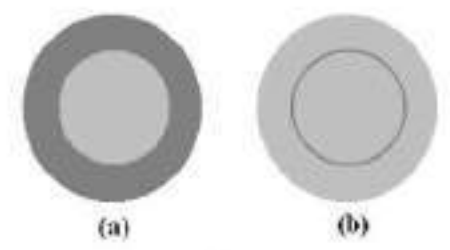


Fig. 2 (a) spots of unequal intensities (b) photometric balance

If a semi transparent film is kept between one source P<sub>1</sub> and photometer head, keeping their position constant the second source is moved to distance r<sub>2</sub>, to keep the balance of intensities.

$$\frac{P_3}{r^2} = \frac{P_2}{r_2^2} = I$$

Where

$$P_3 = t. P$$

and

t = transmittance coefficient.

$$\therefore \frac{t \cdot P_1}{r^2} = \frac{P_2}{r_2^2} = \frac{t \cdot P_2}{r_1^2}$$

$$t = \frac{r_1^{-2}}{r_2^2}$$

$$t\% = 100 \times \frac{r_1^2}{r_2^2}$$

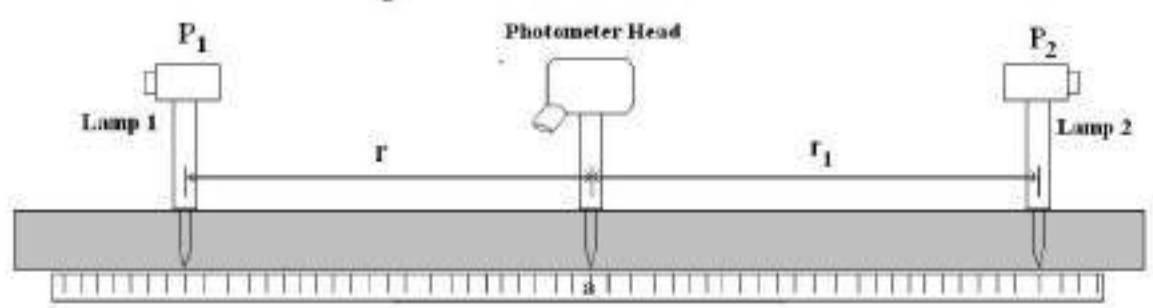


Fig.3 Lummer-Brodhum Photometer Arrangement

#### PROCEDURE:

- a) Keep Photometer head and the source P<sub>1</sub> at a fixed distance Γ (say 40 cm).
- On viewing through photometer eye piece, two spots of unequal intensities are observed (Fig 2a)

- c) Adjust the source P<sub>2</sub> to make the intensity of spots equal, this is called a photometric balance (Fig 2b). Note its position as b<sub>1</sub> cm to calculate r<sub>1</sub>.
- d) Then insert given glass plate between screen of photometer and P<sub>1</sub>. Then again note the distance r<sub>2</sub> for photometric balance by moving P<sub>2</sub>.
- e) Experiment Repeat the experiment by changing r and also by rotating photometer by 186°
- f) Calculate t from r<sub>1</sub> and r<sub>2</sub> data.

#### OBSERVATION:

Table: For calculating riand r2

S. No		Position of Photomete	Position of Sec P2	cond Source	r <sub>1</sub> =b <sub>1</sub> ~a	r <sub>2</sub> =b <sub>2</sub> ~a	transmitt ance t%
	P <sub>1</sub> cm	ra cm	Without Plate b <sub>1</sub> cm	With Plate b <sub>2</sub> cm	1, 0, 0	17 02 4	
1.							
2.							
3.	0	3		8 1		1	1
4.							
5.							

#### CALCULATION:

$$t\% = 100 \times \frac{r_1^2}{r_2^2}$$

Mean % transmittance =

13	 	190
•		

The percentage of transmittan	ce for the given	film is found to	be %
-------------------------------	------------------	------------------	------

#### SOURCE OF ERRORS AND PRECAUTIONS:

- The height of the uprights carrying the two sources should be properly adjusted so that light falls normally and not obliquely on the slab of the photometer. This is done so that full intensity of light of the source enters the photometer head.
- Due to same reason as mentioned above the photometer head is set so that slab lies normal to the line joining the two sources.
- For one fixed distance of the source of light from the photometer a number of observations for the distance of the other source should be taken. This is done to eliminate any minor error in taking one reading.
- Rotate the photometer head through 180° with reference to the source of light so as to
  interchange the surfaces exposed to light. This eliminates any error due to inequality
  of the reflecting powers of the two surfaces of the slab.
- The thickness of the slab causes a slight error in the calculations however in actual practice the thickness of the slab is left out of consideration.

## मौलाना आजाद राष्ट्रीय प्रौद्योगिकी संस्थान, भोपाल

भौतिकी विभाग

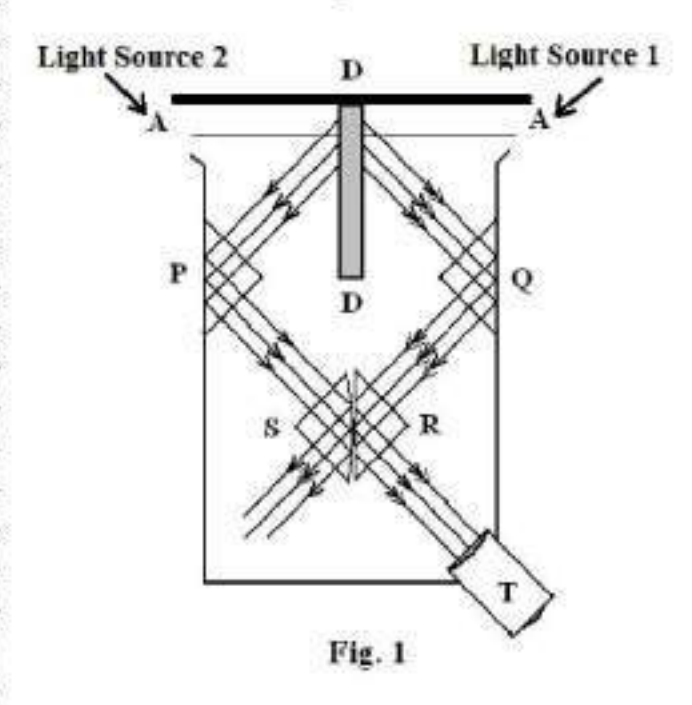
बी.टेक, प्रथम / द्वितीय सेमेस्टर प्रयोगः लुमर-ब्रोधम फोटोमीटर

उद्देश्य: तुमर-ब्रोधम फोटोमीटर का उपयोग करके अर्ध-पारदर्शी फिल्म (कांच की प्लेट)के लिए पकाश के संचरण का प्रतिशत निर्धारित करना।

उपकरण: एल.बी. फोटोमीटर असेंबली. दो प्रकाश स्रोतों. स्टैंड के साथ पारदर्शी ग्लास प्लेट आदि। सिद्धांत:

एल.बी. फोटोमीटर असेंबली की ऑप्टिकल व्यवस्था चित्र 1 में दर्शाई गई है। इसमें समकोण समद्विबाह प्रिज्मों की एक प्रणाली शामिल है, जो इस तरह व्यवस्थित है कि दूरबीन का दृश्य क्षेत्र दो भागों में विभाजित होता है, एक भाग एक स्रोत से आने वाले प्रकाश से प्रकाशित होता है और दूसरा दूसरे स्रोत से प्रकाश द्वारा। यह निम्नलिखित तरीके से हासिल किया जाता है। दो स्रोतों से प्रकाश एपर्चर AA के माध्यम से प्रवेश करता है और मैग्रीशियम कार्बोनेट के स्लैब DD पर पड़ता है। प्रकाश स्लैब की सतहों से विसरित रूप से परावर्तित होता है और कल परावर्तन प्रिज्म P और Q के चेहरों को सामान्य रूप से काटने वाली किरणों को छोड़कर, बाकी इस व्यवस्था वाले बॉक्स के काले पड़ चुके पक्षों के अंदरूनी भाग द्वारा अवशोषित हो जाते हैं। ये किरणें प्रिज्म P और Q के करण सतह पर पूरी तरह से परावर्तित होती हैं S के कर्ण को गोल किया जाता है, सिवाय केंद्रीय भाग के जो R के संपर्क में रहता है। इसका कारण यह है कि प्रकाश संपर्क के क्षेत्र से होकर गुजर सकता है जैसे कि प्रिज्म एक ठोस माध्यम हो। अन्य किरणें पूर्ण परावर्तन से ग्रस्त होती हैं और संयोजन से होकर नहीं गुजरती हैं। P द्वारा S की सतह

पर परी तरह से परावर्तित किरणों में से केवल दो प्रिज्मों की संपर्क सतह पर पड़ने वाली केंद्रीय प्रणाली को ही गुजरने और दरबीन में प्रवेश करने की अनुमति होती है; अन्य किरणें पूरी तरह से आंतरिक रूप से परावर्तित होती हैं। इसी तरह से O से आने वाली और दो प्रिज्मों की संपर्क सतह से मिलने वाली किरणें संयोजन से होकर गुजरती हैं और दरबीन में प्रवेश नहीं कर पाती हैं। संपर्क सतह के बाहर R के भागों पर पड़ने वाला प्रकाश पुरी तरह से परावर्तित होता है और दूरबीन में प्रवेश करता है। इसलिए, दृश्य क्षेत्र का केंद्रीय भाग बाईं ओर के स्रोत से आने वाले प्रकाश से प्रकाशित होता है जबकि केंद्रीय भाग के आसपास का भाग दूसरे स्रोत से आने वाले प्रकाश से प्रकाशित होता है। यदि दोनों भागों की रोशनी समान है, तो



दृश्य क्षेत्र समान रूप से प्रकाशित दिखाई देगा (चित्र 2 a.b)। इसका अर्थ है कि स्लैब DD के दोनों ओर रोशनी की तीवता समान है।

यदि तब स्रोतों की प्रदीपन क्षमता (illuminating power) P1 और P2 हैं और फोटोमीटर-हेड से उनकी दरी क्रमशः r और r1 है।

$$I = \frac{P_1}{r^2} = \frac{P_2}{r_1^2}$$

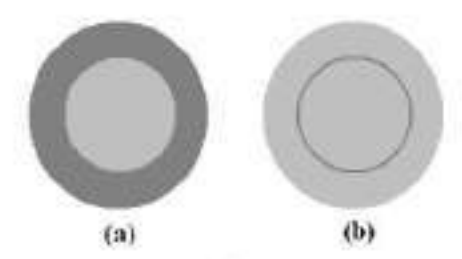


Fig. 2 (a) spots of unequal intensities (b) photometric balance

चूँिक दूरबीन द्वारा प्राप्त प्रकाश के दोनों भाग कांच की समान मोटाई को पार करते हैं, इसलिए इसके द्वारा कोई भी अवशोषण दोनों की तीव्रता को समान रूप से प्रभावित करेगा और समायोजन में बाधा नहीं डालेगा।

यदि एक स्रोत P1 और फोटोमीटर हेड के बीच एक अर्ध पारदर्शी फिल्म (कांच की प्लेट) रखी जाती है, तो उनकी स्थिति को स्थिर रखते हुए दूसरे स्रोत को तीव्रता का संतुलन बनाए रखने के लिए r2 दूरी पर ले जाया जाता है।

$$\frac{P_1}{r^2} = \frac{P_2}{r_2^2} = I$$
  
जहाँ  $P_3 = t, P_1$ 

और t = संचरण (संप्रेषण) गुणांक है।

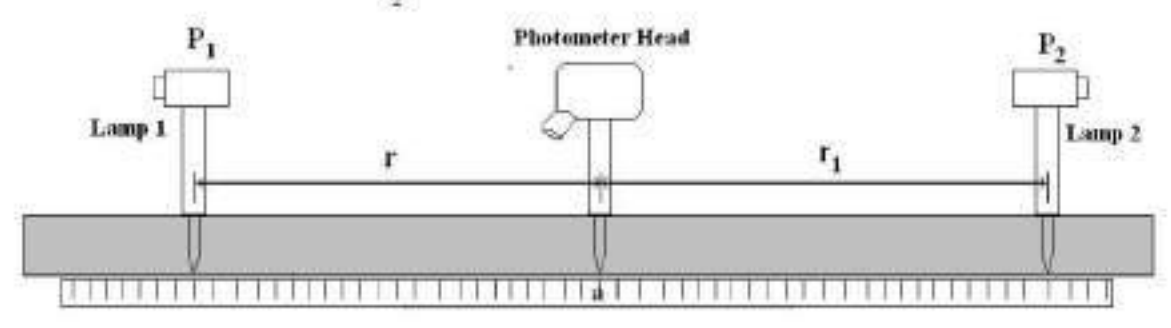


Fig.3 Lummer-Brodhum Photometer Arrangement

#### पकियाः

- a) फोटोमीटर हेड और स्रोत P1 को एक निश्चित दूरी r (मान लीजिए 40 सेमी) पर रखें।
- b) फोटोमीटर आई पीस से देखने पर, असमान तीव्रता के दो स्पॉट दिखाई देते हैं (चित्र 2a)
- स्पॉट की तीव्रता को बराबर करने के लिए स्रोत P2 को समायोजित करें, इसे फोटोमेंट्रिक बैलेंस कहा जाता है (चित्र 2b) I r3 की गणना करने के लिए इसकी स्थिति b3 सेमी के रूप में नोट करें I

- d) फिर फोटोमीटर और P<sub>1</sub> की स्क्रीन के बीच दी गई कांच की प्लेट डालें। फिर P<sub>2</sub> को घुमाकर फोटोमेट्रिक बैलेंस के लिए दूरी r<sub>2</sub> को फिर से नोट करें।
- e) प्रयोग r को बदलकर और फोटोमीटर को 180° घुमाकर प्रयोग को दोहराएं।
- r<sub>1</sub> और r<sub>2</sub> डेटा से t की गणना करें।

### अवलोकन:

#### तालिकाः

S.No	Position of fixed	Position of	Position o Source		r.=b.~a	r <sub>2</sub> =b <sub>2</sub> ~a	% संचरण
	Source P <sub>1</sub> cm	Photomet er a cm	Without Plate b <sub>1</sub> cm	With Plate b <sub>2</sub> cm	11 01 0	.2	Q1333
1.						7	
2.						8	
2. 3. 4. 5.						I.	
4.							
5.							

#### गणनाः

$$t\% = 100 \times \frac{r_1^2}{r_2^2}$$

औसत % संचरण (संप्रेषण) =

1	Δ.		
u	रण	IH:	

दी गई फिल्म (कांच की प्लेट) के लिए संचरण का प्रतिशत \_\_\_\_\_% पाया गया है।

त्रुटि का स्रोत और सावधानियाँ:

- दो स्रोतों को ले जाने वाले अपराइट की ऊंचाई को उचित रूप से समायोजित किया जाना चाहिए ताकि प्रकाश सामान्य रूप से गिरे और फोटोमीटर के कांच की प्लेट पर तिरछा न पड़े। ऐसा इसलिए किया जाता है ताकि स्रोत के प्रकाश की पूरी तीव्रता फोटोमीटर हेड में प्रवेश करे।
- ऊपर बताए गए समान कारण से फोटोमीटर हेड को इस तरह से सेट किया जाता है कि कांच की प्लेट दो स्रोतों को जोड़ने वाली रेखा के सामान्य रूप से स्थित हो।
- iii. फोटोमीटर से प्रकाश के स्रोत की एक निश्चित दूरी के लिए दूसरे स्रोत की दूरी के लिए कई अवलोकन किए जाने चाहिए। ऐसा एक रीडिंग लेने में किसी भी छोटी सी बुटि को खत्म करने के लिए किया जाता है।
- iv. प्रकाश के स्रोत के संदर्भ में फोटोमीटर हेड को 180 डिग्री तक घुमाएँ ताकि प्रकाश के संपर्क में आने वाली सतहों को आपस में बदला जा सके। यह कांच की प्लेट की दो सतहों की परावर्तक शक्तियों की असमानता के कारण होने वाली किसी भी त्रृटि को खत्म करता है।
- कांच की प्लेट की मोटाई गणना में थोड़ी तुटि का कारण बनती है, हालांकि वास्तविक व्यवहार में स्लैब की मोटाई को ध्यान में नहीं रखा जाता है।

### MAULANA AZAD

#### NATIONAL INSTITUTE OF TECHNOLOGY, BHOPAL

#### DEPARTMENT OF PHYSICS B.Tech. 1/II Sem

#### EXPERIMENT: MULTIPLE SLIT DIFFRACTION

OBJECT: To determine the Grating element of given Multiple slits grating using He-Ne laser.

APPARATUS USED: Optical bench with suitable accessories, 3-slit unit, He-Ne laser source

THEORY: Laser is a device that emits light through a specific mechanism for which the term
laser is an acronym: Light Amplification by Stimulated Emission of Radiation.

A helium-neon laser, generally called He-Ne laser, is a type of small gas laser. This lasers have many industrial and scientific uses, and are often used in laboratory demonstrations of optics. The gain medium of the laser, as suggested by its name, is a mixture of helium and neon gases, in a 5:1 to 20:1 ratio, contained at low pressure

This experiment is based on the diffraction of light. The very heart of the explanation of all diffraction phenomena is interference. When two waves combine, their displacements are added, causing either a lesser or greater total displacement depending on the phase difference between the two waves. The bright bands observed on the screen happen when the light has interfered constructively—where a crest of a wave meets a crest from another wave. The dark regions show destructive interference—a crest meets a trough.

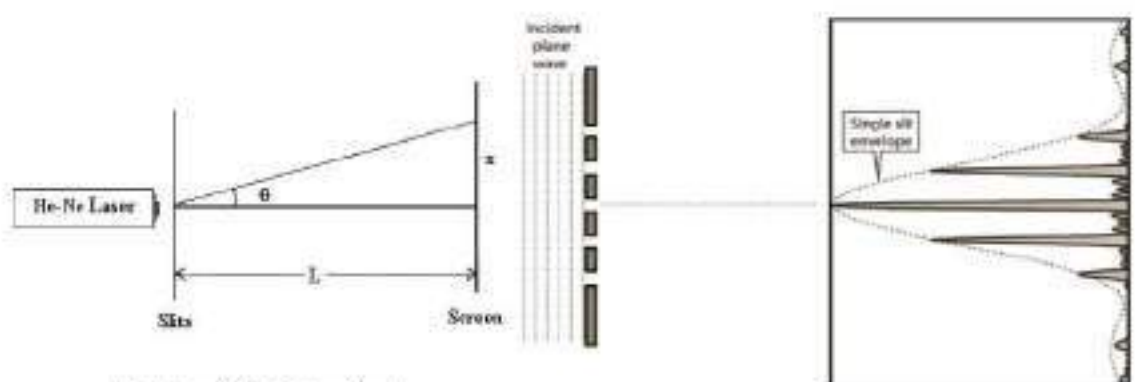


Fig 1. Laser Diffraction Experiment

Fig: 2 Diffraction patterns from slits

Constructive interference to give bright band occurs when

$$\frac{n\lambda}{d} = \frac{x}{L} \Leftrightarrow n\lambda = \frac{xd}{L}$$
,

Where  $\lambda$  is the wavelength of the light, d is the separation of the slits, n is the order of maxima observed (for maxima, n=0), x is the fringe distance, and L is the distance from the slits to the screen.

If  $\lambda$  and L are known and x is observed, then  $\lambda$  can be easily calculated.

#### PROCEDURE:

- Make sure that the incident LASER beam and the screen are both along one, single horizontal line.
- Set the screen behind the slit so close as to get the sharpest diffracted image. We get four bright Red vertical lines in the image for a given set of slits.
- 3. Fix the screen at a point to 30cm away from the slit (L cm).

- Set the cross wire on the image of first slit by using the screw gauge (connected at the bottom
  of screen holder) which controls their movement. Note this reading of screw gauge.
- 5. Measure the screw gauge reading similarly for all rest of the lines in the image.
- Measure the separation between all the two consecutive lines and find out an average separation termed as "x" cm.
- Using this value of average separation "x" and that of wavelength "λ" given for He-Ne LASER, calculate the grating element "d" cm.
- 8. Increase the distance of screen from the slit by 10cm, and repeat the procedure step-4 to 7.
- 9. Average out the two "d" values.

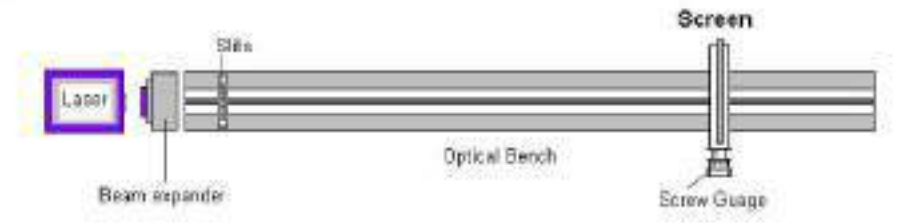


Fig. 3 Experimental setup for grating element

#### OBSERVATIONS:

TABLE: For measuring Fringe width x.

Distance of screen from slits L (mm)	Fringes	Position of fringes on screen			Fringe width	Mean	
		Main scale (mm)	circular scale (mm)	Total (mm)	(mm)	value of x (mm)	
	1.			A=	A 75-		
	2.		1	B=	A~B=		
300 mm	3.		1 8	C=	B~C=		
	4.			D=	C~D= D~E=		
	5.			E=	D-E		
	1.			A=,,,,,,			
	2.			B=,,	A~B=		
400 mm	3.			C=	B-C=		
	4.			D=	C~D= D~E=		
	5.			E=	D-E		

#### CALCULATIONS:

Grating element d,

$$d = n\lambda L/x$$
 [n=1]  
=.....mm

RESULT: The Grating element of given slits is ...... cm.

#### PRECAUTIONS AND SOURCE OF ERROR:

- i. NEVER LOOK INTO A LASER BEAM
- Incident LASER beam, Beam expander, slits and the screen are should be along one, single horizontal line.
- iii. Operate the knob of screw gauge carefully.

## मौलाना आजाद राष्ट्रीय प्रौद्योगिकी संस्थान, भोपाल

भौतिकी विभाग बी टेक प्रथम / दितीय सेमेस्टर

## प्रयोग: मल्टीप्ल स्लिट विवर्तन

उद्देश्य: He-Ne लेजर का उपयोग करके दिए गए मल्टीप्ल स्लिट ग्रेटिंग के ग्रेटिंग तत्व/ झिर्री के बीच की

दरी का निर्धारण करना।

उपकरणः उपयुक्त सहायक उपकरण, ऑप्टिकल बेंच, 3-स्लिट ग्रेटिंग युनिट, He-Ne लेजर स्रोत।

सिद्धांत: लेजर एक उपकरण है जो एक विशेष तंत्र के माध्यम से प्रकाश का उत्सर्जन करता है, जिसके लिए शब्द लेजर एक एकारणिक है: रोशनी के उत्सर्जन के द्वारा प्रकाश। एक हीलियम-नीओन लेजर, सामान्य रूप से He-Ne लेजर के रूप में जाना जाता है, एक प्रकार का छोटा गैस लेजर है। ये लेजर बहुत सारे औद्योगिक और वैज्ञानिक उपयोग हैं, और अक्सर ऑप्टिक्स के प्रयोगशाला प्रदर्शनों में उपयोग किए जाते हैं। लेजर का उत्पत्ति माध्यम, जैसा कि इसके नाम से सुझाया गया है, हीलियम और नीओन गैसों का मिश्रण है, जिसे निम्न दबाव पर रखा गया है।

यह प्रयोग प्रकाश के विवर्तन (diffraction) पर आधारित है। सभी विवर्तन प्रदर्शनों की स्पष्ट व्याख्या का आधार व्यतिकरण (Interference) है। जब दो तरंगे मिलती हैं, तो उनके स्थानांतरण जोडे जाते हैं, जिससे दो तरंगों के बीच चरण अंतर (phase difference) के आधार पर कम या अधिक कुल स्थानांतरण होता है। स्क्रीन पर दीप्त क्षेत्र उस समय होते हैं जब संतोषी व्यतिकरण होता है जहां एक तरंग का श्रंग दूसरी तरंग श्रंग से मिलता है। अदीप्त क्षेत्र उस समय होते हैं जब विनाशी व्यतिकरण दिखाते हैं जहां एक श्रंग एक गर्त से मिलता है। प्रकाश का संतोषी व्यतिकरण तब होता है जब,

$$\frac{n\lambda}{d} = \frac{x}{L} \Leftrightarrow n\lambda = \frac{xd}{L}$$
,

दिए गए समीकरण में: λ प्रकाश की तरंग लम्बाई है, d झिर्री के बीच की दूरी है, n देखे गए उचिष्टा के क्रम है (उचिष्ट के लिए, n=0), x फ्रिंज दूरी है, और L झिर्री से परदे तक की दूरी है। यदि A. और L. ज्ञात हों और x निर्धारित हो, तो a की गणना की जा सकती है

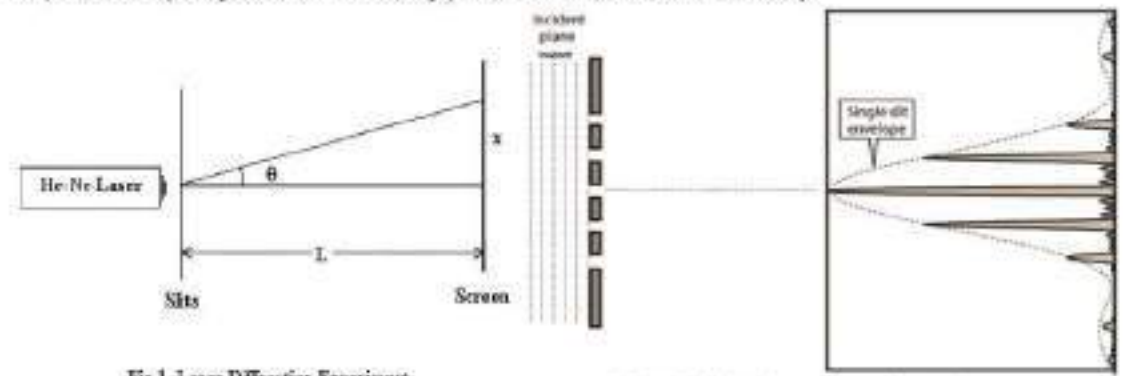


Fig 1. Loser Diffraction Experiment

Fig: 2 Diffraction patterns from slits

#### प्रक्रिया:

- सुनिश्चित करें कि आपितत लेजर बीम और स्क्रीन (परदे) दोनों (परदे) एकल-क्षैतिज रेखा पर हैं।
- स्तिट के पीछे स्क्रीन इतना करीब सेट करें कि सबसे तीव्र विवर्तन छवि प्राप्त हो। हमें दिए गए स्तिट के लिए चार दीप्त लाल ऊर्ध्वाधारी रेखाएँ (लाइन) छवि में प्राप्त होती हैं।
- 3. स्क्रीन स्लिट से 30 सेमी. दूर (L. सेमी) एक बिंदु पर बंद करें।

 स्क्रीन होल्डर के नीचे कनेक्ट किए गए स्क्रू गेज, जो उनके मुवमेंट को नियंत्रित करता है, का उपयोग करके पहले स्लिट की ऊर्ध्वाधारी रेखा (लॉइन) पर क्रॉस तार को सेट करें। इस स्कू गेज का पाठ्यांक नोट करें।

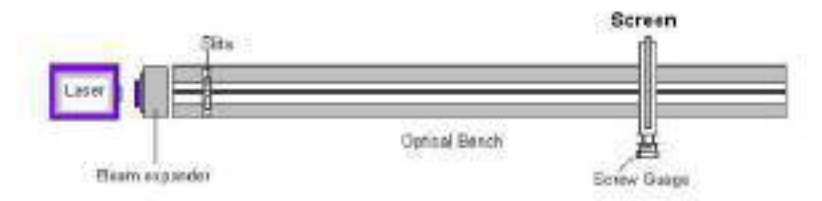


Fig. 3 Experimental setup for grating element

- छवि में शेष सभी लाइनों के लिए स्क्रू गेज का पाठ्यांक इसी तरह मापें।
- 6. सभी दो लगातार रेखाओं के बीच की दूरी को मापें और औसत दूरी ज्ञात करें जिसे x सेमी कहा है।
- 7. औसत अंतर x सेमी और He-Ne LASER के लिए दी गई तरंगदैर्ध्य ). सेमी का उपयोग करके ग्रेटिंग तत्व "d" सेमी की गणना करें।
- स्लिट से स्क्रीन की दूरी को 10 सेमी बढ़ाएं, और प्रक्रिया को पुनः कदम-4 से -7 तक दोहराएं।
- दो "a" मुल्यों का औसत निकालें।

### अवलोकनः

स्क्रीन से स्लिट	रेखा	स्क्रीन	पर फ्रिजों का	पाठ्यांक	फ्रिंज चौड़ाई x	= 0.000000000
की दूर L (मिमी)	(लाइन)	मुख्य स्केल (मिमी)	वृत्ताकार स्केल (मिमी)	कुल (मिमी)	(मिमी)	x का माध्य मान (मिमी)
	17	110114011021		A=	1 D	
	2.			B=	A-B	
300 मिमी	3.			C=	B-C	
PONTOSATO PACIFICIO	4.			D=	C~D= D~E=	
	5.		is .	E=	D-E	
	1.			A=	OKO POS	
	2.			B	A~B=	
400 मिमी	3.			C=	B~C=	
	4.			D=	C~D= D~E=	
	5.			E=	D-E	

गणना: झिरीं के बीच की दूरी (Grating element) d;

 $d = n\lambda L/x$ 

[n=1]

परिणाम: दी गई स्लिटों का ग्रेटिंग अवयव ...... सेमी है।

दिए गए ग्रेटिंग स्लिट्स का ग्रेटिंग तत्व/ झिर्री ...... सेमी है।

## सावधानियाँ और त्रुटि का स्रोत:

- कभी भी लेज़र किरण को सीधे न देखें।
- आपतित लेजर बीम, बीम एक्सपैंडर, स्लिट्स और स्क्रीन एक एकल क्षैतिज रेखा में होने चाहिए। ii.
- स्क्र गेज की घंडी को सावधानी से चलाएँ।

## MAULANA AZAD NATIONAL INSTITUTE OF TECHNOLOGY, BHOPAL DEPARTMENT OF PHYSICS

#### B.Tech. I Sem/II sem

## EXPERIMENT: MICHELSON INTERFEROMETERS OBJECT:

To determine the wavelength of He-Ne laser with the help of Michelson interferometer

#### APPARATUS USED:

Michelson interferometer, laser source, screen etc.

#### THEORY:

The Michelson interferometer operates on the principle of division of amplitude rather than on division of wave front.

The important parts of a Michelson interferometer include a sturdy base, a diffusing glass, a beam splitter, a movable mirror with a micrometer screw for measuring distance of movement, a fixed mirror, and compensating glass. These parts are shown in a typical physical arrangement in Figure 1.

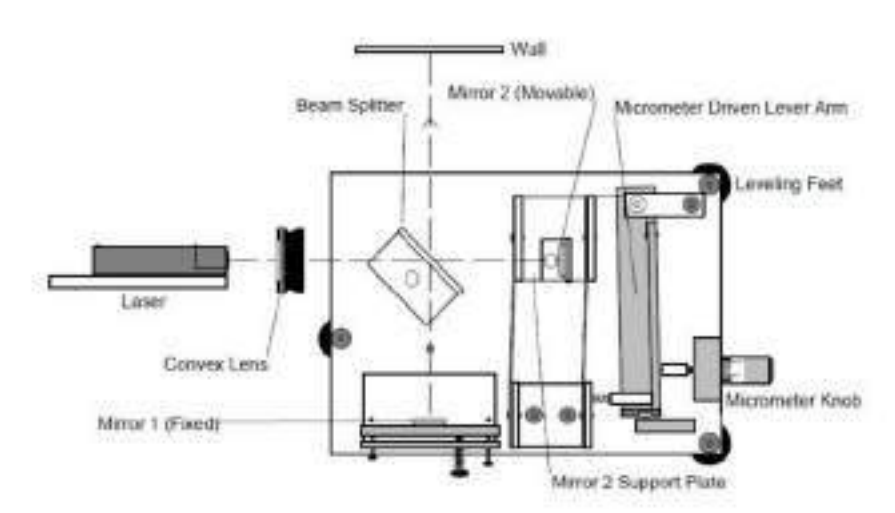


Fig.1 A typical Michelson interferometer

The light source shown to the left can be a white light or spectral light source. It is not generally considered a part of the Michelson interferometer.

An accurately machined micrometer screw is attached to the movable mirror, permitting the mirror to be moved toward or away from the beam splitter by a precisely determined amount. The micrometer generally has about one inch of movement and usually can measure mirror motion to within 0.002 mm. The two mirrors, beam splitters, and compensating glass all are made of carefully annealed glass (e.g., borosilicate-crown).

The optical arrangement for the Michelson interferometer is shown schematically in Figure 2. Light from a broad spectrum source S, such as an incandescent bulb, passes through a diffusing glass DG (e.g., a ground glass plate), and strikes the beam splitter P. The beam splitter is half-silvered glass plates (silvered on the back side) which reflects half of the light toward mirror  $M_1$  and transmits half of the light (but the entire cross section) toward mirror  $M_2$ .

If the two mirrors are precisely aligned such that planes are exactly perpendicular to one another, thus ensuring that differences over different regions of the mirrors are constant, the fringe pattern be seen by the observer at consist of a series of concentric rings Figure 3.

The fringes shown are called fringes of equal inclination. When the mirror M<sub>1</sub> is moved so as approach the condition for zero path difference, the fringe pattern will appear collapse with all fringes moving toward the center, then disappearing. Collapse of one fringe at the center will be

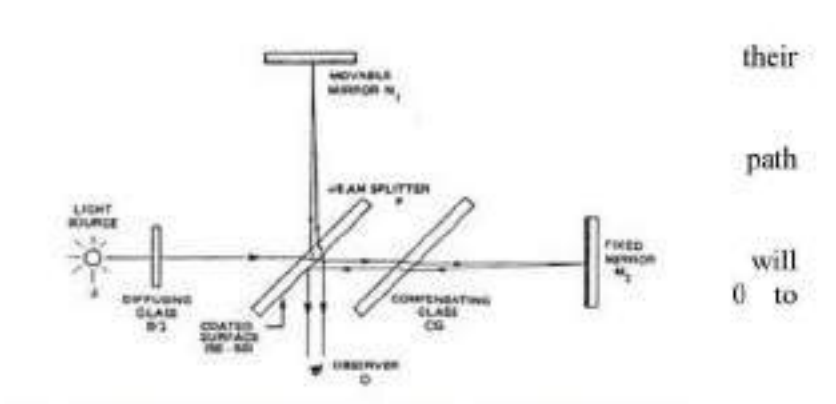


Fig.2 Optical arrangement and light path in Michelson interferometer

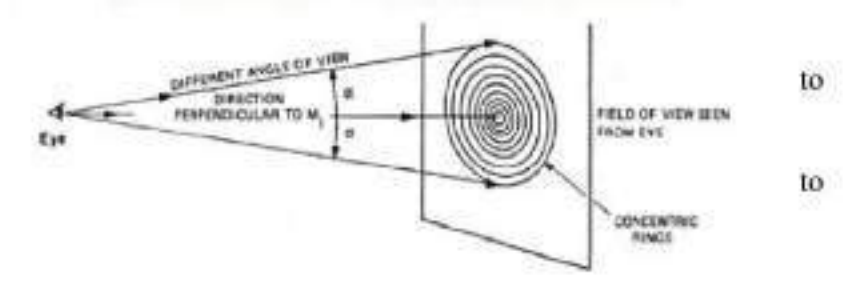


Fig. 3 Circular fringes (equal inclination) seen in Michelson interferometer

equivalent to a displacement of mirror  $M_1$  by an amount of  $\lambda$ . Thus if N is the number of fringes collapsing at the center when  $M_1$  is moved by a distance of  $d_0$  then

$$2d_0 = N\lambda$$

Using this relation \( \lambda \) can be obtained.

#### FORMULA USED:

Wavelength λ.

 $\lambda = 2 d_o / N$ 

where d<sub>o</sub> is distance measured with micrometer screw and N is number of fringes collapsing

#### PROCEDURE:

- Set up the Michelson interferometer
- Mount the laser on the optical table with the beam parallel to the table surface
- c) The moveable mirror will be the one in the direct path of the laser beam.
- d) Align the mirrors using the laser beam.

- e) Adjust the distance of M<sub>1</sub> and M<sub>2</sub> from P to be nearly equal.
- f) Adjust the center of circular fringes in the field of view.
- Note down the least count of micrometer screw provided with the mirror M<sub>1</sub>.
- h) Record the initial reading of the screw. Now, move it solely and count the number of fringes collapsing at the center in steps of 25 and each time note down the micrometer reading in the tabular form.
- Measure the wavelength of the He-Ne laser using eq.3.

#### OBSERVATIONS:

#### TABLE:

No. of fringes collapsed	Main scale (cm)	Circular scale V <sub>1</sub> (cm)	Vernier scale V <sub>2</sub> (cm)	Total (cm)	Separation $d_o$ for N=50 (cm)
0	12	3			
25					
50					
75					
100					
92	3				

Mean value of  $d_{\alpha}$  (cm)

#### CALCULATIONS:

Wavelength  $\lambda$ ,  $\lambda = 2 d_o / N$ = .....em = .....Ao

#### RESULT:

The wavelength of given He-Ne laser is ...... A"

#### PRECAUTIONS AND SOURCE OF ERROR:

- i. The two mirrors should be highly silvered on their front surfaces.
- ii. The glass plate should be of same thickness.
- iii. Adjustment should be made by moving M1 only

## मौलाना आजाद राष्ट्रीय प्रौद्योगिकी संस्थान, भोपाल भौतिकी विभाग

## बी.टेक, प्रथम / द्वितीय सेमेस्टर प्रयोग: माइकल्सन इंटरफेरोमीटर

उद्देश्य: माइकलसन इंटरफेरोमीटर की सहायता से He-Ne लेजर की तरंगदैर्घ्य निर्धारित करना

उपकरण: माइकलसन इंटरफेरोमीटर, लेजर स्रोत, स्क्रीन आदि।

#### सिद्धांत:

माइकलसन इंटरफेरोमीटर तरंग अग्रभाग के विभाजन के बजाय आपाम के विभाजन के सिद्धांत पर काम

माइकलसन इंटरफेरोमीटर के महत्वपूर्ण भागों में एक मजबूत आधार, एक विसरित ग्लास, एक बीम सिलटर, शिफट की दूरी मापने के लिए एक माइक्रोमीटर स्कू के साथ एक चल दर्पण, एक स्थिर दर्पण और क्षतिपूर्ति ग्लास शामिल हैं। इन भागों को चित्र 1 में एक विशिष्ट भौतिक व्यवस्था में दिखाया गया है।

बाईं ओर दिखाया गया प्रकाश स्रोत एक सफेद प्रकाश या वर्णक्रमीय प्रकाश स्रोत हो सकता है। इसे आमतौर पर माइकलसन इंटरफेरोमीटर का हिस्सा नहीं माना जाता है।

चल दर्पण पर एक सटीक रूप से मशीनीकृत माइक्रोमीटर स्कू लगाया जाता है, जिससे दर्पण को एक में

निश्चित निर्धारित मात्रा बीम स्प्लिटर की ओर उससे दर ले जाया जा सकता माइक्रोमीटर में आम तौर पर लगभग एक इंच की संचलन होती ओर आमतोर पर यह दर्पण की संचलन को 0.002 मिमी के भीतर माप सकता है। दो दर्पण, बीम स्प्लिटर और क्षतिपूर्ति ग्लास, सभी सावधानीपूर्वक एनील्ड ग्लास (जैसे. बोरोसिलिकेट-क्राउन) से बने होते हैं।

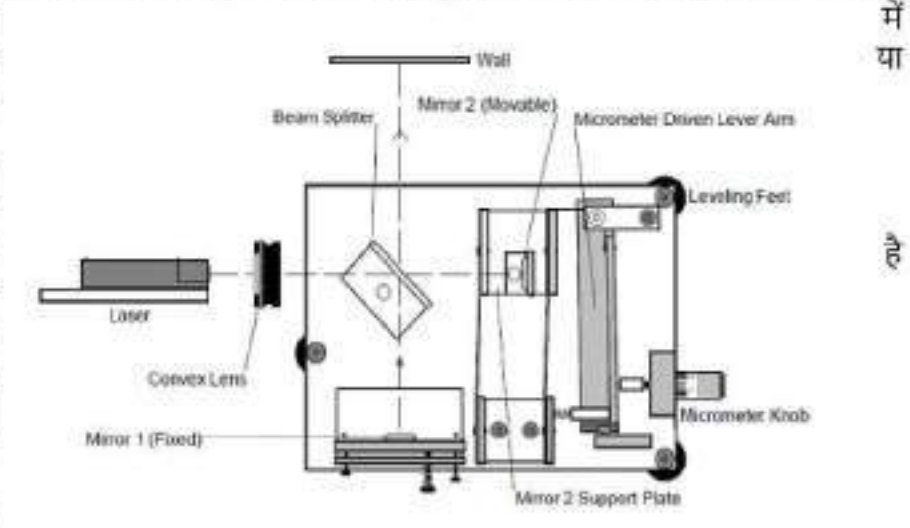


Fig. 1 A typical Michelson interferometer

हे

माइकलसन इंटरफेरोमीटर के लिए ऑप्टिकल व्यवस्था को 2 में योजनाबद्ध रूप से दिखाया गया है। एक व्यापक स्पेक्ट्रम स्रोत जैसे कि एक तापदीप्त बल्ब से प्रकाश, एक विसरित ग्लास DG (उदाहरण के लिए, एक ग्राउंड ग्लास प्लेट) से होकर गुजरता है, और स्पिलटर P से टकराता बीम स्प्लटर आधा

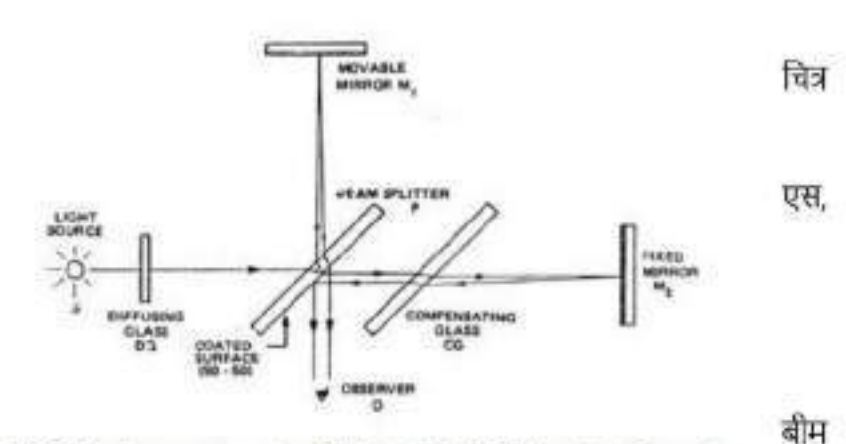


Fig. 2 Optical arrangement and light path in Michelson interferometer

चांदी का ग्लास प्लेट (पीछे की तरफ चांदी का) होता है जो प्रकाश का आधा हिस्सा दर्पण M1 की ओर परावर्तित करता है और प्रकाश का आधा हिस्सा (लेकिन संपूर्ण क्रॉस सेक्शन) दर्पण M2 की ओर संचारित करता है।

यदि दो दर्पणों को इस तरह से ठीक से संरेखित किया जाता है कि उनके समतल एक दूसरे के बिल्कुल लंबवत होते हैं, इस प्रकार यह सुनिश्चित करते हुए कि दर्पणों के विभिन्न क्षेत्रों में पथ अंतर स्थिर हैं, फ्रिंज पैटर्न पर्यविक्षक द्वारा 0 पर संकेंद्रित वलयों की एक श्रृंखला में देखा जाएगा चित्र 3। दिखाए गए फ्रिंजों को समान झुकाव के फ्रिंज कहा जाता है। जब दर्पण M1 को शून्य पथ अंतर की स्थिति के करीब ले जाया जाता है, तो फ्रिंज पैटर्न सभी फ्रिंजों के केंद्र की ओर बढ़ने और फिर गायब होने के साथ गिरता हुआ दिखाई देगा। केंद्र पर एक फ्रिंज का गिरना दर्पण M1 के λ की मात्रा से विस्थापन के बराबर होगा। इस प्रकार यदि N केंद्र पर गिरने वाले फ्रिंजों की संख्या है जब M1 को do की दूरी से खिसकाया जाता है तो , 2do = Nλ संबंध का उपयोग करके λ प्राप्त किया जा सकता है।

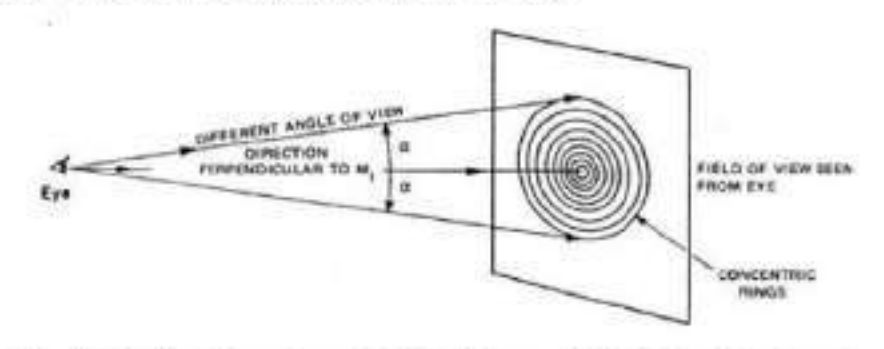


Fig. 3 Circular fringes (equal inclination) seen in Michelson interferometer

सूत्रः तरंगदैर्घ्य ८, २ =2 d./N

जहाँ d. माइक्रोमीटर स्कू से मापी गई दूरी है और N गिरने वाले फ्रिंजों की संख्या है

है।

#### प्रक्रियाः

- माइकलसन इंटरफेरोमीटर सेट करें
- b. लेजर को ऑप्टिकल टेबल पर इस तरह से माउंट करें कि बीम टेबल की सतह के समानांतर हो
- चलने वाला दर्पण लेजर बीम के सीधे रास्ते में होगा।
- त. लेजर बीम का उपयोग करके दर्पणों को संरेखित करें।
- e. P से M1 और M2 की दूरी को लगभग बराबर करने के लिए समायोजित करें।
- हश्य क्षेत्र में वृत्ताकार फ्रिंजों के केंद्र को समायोजित करें।
- g. दर्पण MI के साथ दिए गए माइक्रोमीटर स्कू की कम से कम गिनती को नोट करें।
- फ्रू की शुरुआती रीडिंग रिकॉर्ड करें। अब, इसे अकेले घुमाएँ और केंद्र पर 25 के चरणों में ढहने वाली फ्रिंजों की संख्या गिनें और हर बार सारणीबद्ध रूप में माइक्रोमीटर रीडिंग को नोट करें।
- समीकरण 3 का उपयोग करके He-Ne लेजर की तरंग दैर्ध्य ), को मापें।

#### अवलोकनः

- a. इंटरफेरोमीटर मुख्य स्केल का लघुत्तमांक = ...... सेमी
- b. वृत्ताकार स्केल V1 का लघुत्तमांक = ...... सेमी
- c. वॅर्नियर स्केल V2 का लघुत्तमांक = ...... सेमी

#### तालिका:

CHICIAN:					
No. of fringes collapsed	Main scale (cm)	Circular scale V <sub>1</sub> (cm)	Vernier scale V <sub>2</sub> (cm)	Total (cm)	Separation d <sub>o</sub> for N=50(cm)
0					
25					
50					
75		7			
100					

मध्यमान (औसत) do - (cm)

_		_	_
- 30	-		т.
•	ıwı	•	

तरंगदैर्घ्य λ, λ =2 d<sub>0</sub>/N = ......सेमी = .....A<sup>e</sup>

परिणाम:

दिए गए He-Ne लेजर की तरंगदैर्घ्य ........................... Aº है।

## त्रुटि का स्रोत और सावधानियाँ:

- दोनों दर्पणों की सामने की सतह पर चांदी की परत चढ़ी होनी चाहिए।
- ii. कांच की प्लेट एक समान मोटाई की होनी चाहिए।
- iii. समायोजन केवल M1 को हिलाकर किया जाना चाहिए।

#### MAULANA AZAD NATIONAL INSTITUTE OF TECHNOLOGY, BHOPAL

#### DEPARTMENT OF PHYSICS

B.Tech. I Sem/II sem

#### EXPERIMENT: HALL EFFECT

OBJECT: To determine the Hall voltage and Hall Coefficient of Germanium crystal.

INSTRUMENTS: Hall Probe (Ge Crystal); Hall Effect Set-up, Electromagnet, Constant Current Power Supply, Digital Gaussmeter,

#### THEORY:

A static magnetic field has no effect on charges unless they are in motion. When the charges flow, a magnetic field directed perpendicular to the direction of flow produces a mutually perpendicular force on the charges. When this happens, electrons and holes will be separated by opposite forces. This means that the current of carriers will be deflected from a straight line in y-direction. In other words, there is a component of the velocity in y-direction and so the surfaces perpendicular to the y-direction will become charged as soon as the current (or the magnetic field) is switched on. The flow-lines of the carriers will look like fig 1.

They will in turn produce an electric field (Eh) which depends on the cross product of the magnetic intensity, H and the current density, J

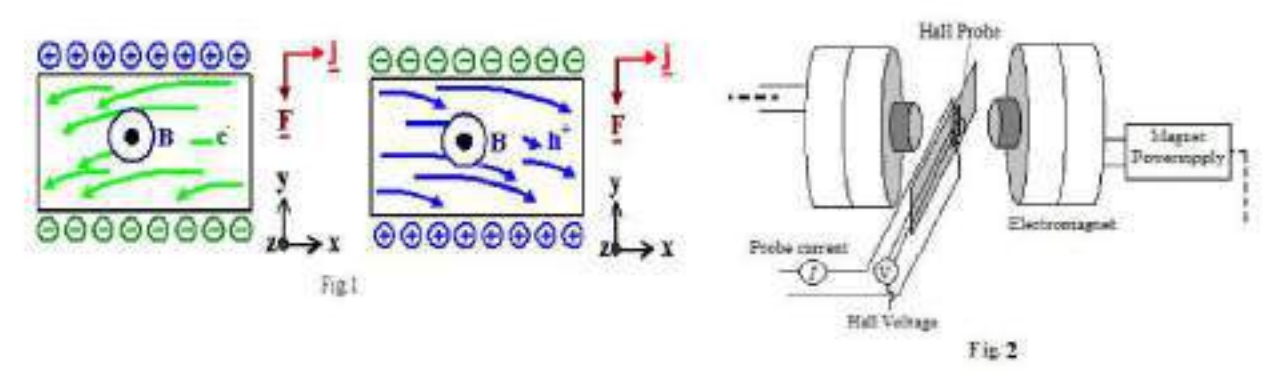
$$E_h = RJ \times H \tag{1}$$

Where R is called the Hall Coefficient

Now, let us consider a bar of semiconductor, having dimension, x, y and z. Let J is directed along X and H along Z then Eh will be along Y. Then we could write

$$R = V_{\underline{b}}/\underline{y}$$
 Or  $R = V_{\underline{b}} \times \underline{z}$  (2)

Where V<sub>b</sub> is the Hall voltage appearing between the two surfaces perpendicular to y and I=J<sub>yz</sub>. The Hall Effect phenomenon is different for different charge carriers. In most common electrical applications, the conventional current is used partly because it makes no difference whether you consider positive or negative charge to be moving. But the Hall voltage has a different polarity for positive and negative charge carriers, and it has been used to study the details of conduction in semiconductors and other materials which show a combination of negative and positive charge carriers. n-type semiconductors are doped with trace quantities of a group V element (e.g. phosphorus, arsenic or antimony) as a pentavalent donor, p-type semiconductors are doped with trace quantities of a group III element (e.g. boron, aluminium or indium) as a trivalent acceptor, n-type semiconductors conduct by mobile negative charges (electrons), p-type semiconductors by mobile positive charges (holes). These electrons and holes are known as majority carriers. For semiconductors the Hall effect provides a means of determining the sign of the majority charge carriers and their number density.



Hall Effect

#### PROCEDURE:

- a) Connect Hall probe to set-up ( red wires to Voltage and green wires to Current)
- b) Switch ON the setup and adjust current (say mA).
- c) Switch over the display to voltage side. See the Zero field potential. Place probe in the magnetic field as shown in fig. 2 and switch on electromagnet power supply. Measure magnetic field by Gaussmeter sensor. Adjust the current (I<sub>EM</sub>) of power supply of electromagnet around 0.3 Amp to get magnetic field H<sub>I</sub>=1000 Gauss. Keep it constant
- d) Rotate the probe till it becomes perpendicular to magnetic field.
- e) Gradually increase current (I<sub>x</sub>) of probe and measure the Hall voltage (V<sub>h</sub>) corresponding to that current. Take 6 readings.
- f) Repeat experiment step 'e' by increasing the electromagnet current (I<sub>EM</sub>) (maximum 4.0Amp) for constant magnetic field H<sub>2</sub>=1200 Gauss and H<sub>3</sub>=1400 Gauss (SET-1 & SET-2).

#### OBSERVATIONS:

Thickness of probe  $(z) = 5 \times 10^{-2} \text{ cm}$ 

#### OBSERVATION TABLE:

SET-1 Electromagnet power supply H <sub>1</sub> =1000 Gauss (I <sub>1M</sub> =Amp)		SET-2 Electromagnet power supply H <sub>2</sub> =1300 Gauss (I <sub>104</sub> =Amp)			SET-3 Electromagnet power supply H <sub>3</sub> =1600 Gauss (1 <sub>th</sub> =Amp)			
S.No.	I, (mA)	V <sub>h</sub> (mV)	S.No.	I, (mA)	(mV)	S.No.	1, (m.4)	(mV)
1	9 3		1	9		1	S 9	
- 2			2			2		
3	-		3			3		
4	3		4	7		4	9 .	
5			5			- 5		
6			6			6		

#### CALCULATIONS:

Plot  $V_h$  versus  $I_x$  graph and compute slope  $(\Delta V_h / \Delta I_x)$  for all the three sets. Calculate R for each set,

$$R_1 = \text{slope } x$$
  $\underline{z}$   $H_1$   $H_1$   $\underline{z}$   $\underline{R}_1$   $\underline{r}$   $\underline{r}$ 

#### RESULT:

Hall Coefficient of Germanium crystal (R)

=.....Volt.cm.amp<sup>-I</sup>, G<sup>-I</sup>

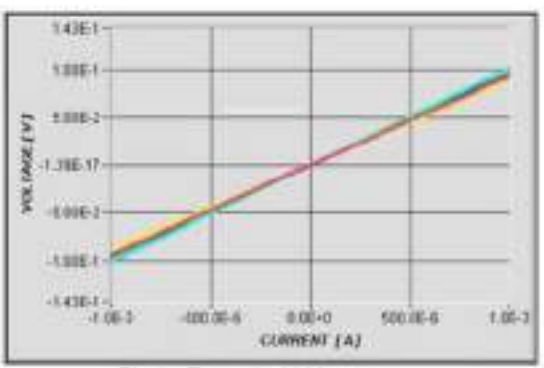


Fig 3: Expected I-V curve

#### PRECAUTIONS AND SOURCE OF

#### ERROR:

- The magnet power supply can furnish large currents at dangerous voltage levels; do not touch exposed magnet coil contacts.
- Do not exceed magnet current of 4 A.
- 3. Do not exceed Hall probe current of 0.4 A

2 Hall Effect

## मौलाना आजाद राष्ट्रीय प्रौद्योगिकी संस्थान, भोपाल

भौतिकी विभाग

## बी.टेक, प्रथम / द्वितीय सेमेस्टर

## प्रयोग: हॉल इफ़ेक्ट

उद्देश्य: जर्मेनियम क्रिस्टल के हॉल वोल्टेज और हॉल गुणांक का निर्धारण करना।

उपकरण: हॉल प्रोब (Ge क्रिस्टल), हॉल इफ़ेक्ट सेट-अप, इलेक्ट्रोमैग्नेट, स्थिर करंट पॉवर सप्लाई, डिजिटल गॉसमीटरआदि।

सिद्धांत: स्थिर चुंबकीय क्षेत्र का आवेशों पर तब तक कोई प्रभाव नहीं पहता जब तक कि वे गति में न हों। जब आवेश प्रवाहित होते हैं, तो प्रवाह की दिशा के लंबवत निर्देशित चुंबकीय क्षेत्र आवेशों पर परस्पर लंबवत बल उत्पन्न करता है। जब ऐसा होता है, तो इलेक्ट्रॉन और छिद्र विपरीत बलों द्वारा अलग हो जाएंगे। इसका मतलब है कि वाहकों की धारा y-दिशा में एक सीधी रेखा से विक्षेपित हो जाएंगी। दूसरे शब्दों में, y-दिशा में वेग का एक घटक होता है और इसलिए y-दिशा के लंबवत सतहें धारा (या चुंबकीय क्षेत्र) चालू होते ही आवेशित हो जाएंगी। वाहकों की प्रवाह-रेखाएँ चित्र .1 की तरह दिखेंगी, वे बदले में एक विद्युत क्षेत्र (Eh) उत्पन्न करेंगे जो चुंबकीय तीव्रता, H और धारा घनत्व, J के क्रॉस उत्पाद पर निर्भर करता है

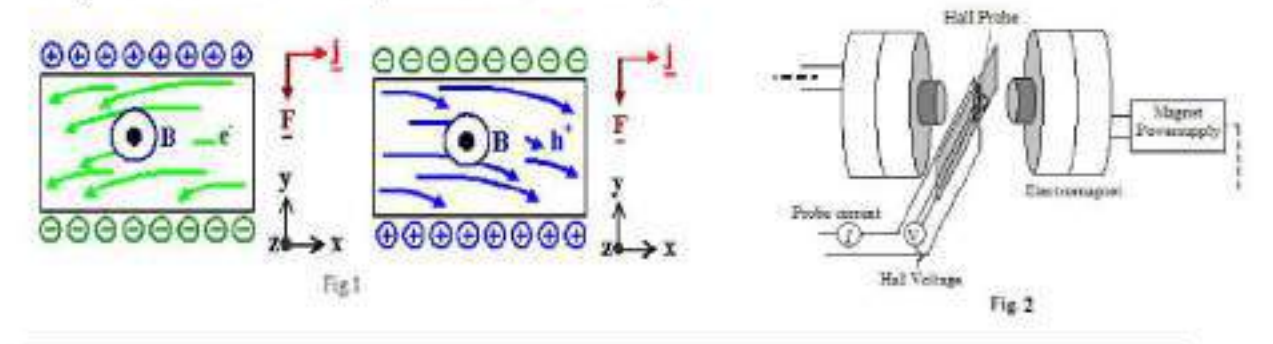
$$E_h = RJXH (1)$$

जहाँ R को हॉल गुणांक कहा जाता है

अब, एक अर्धचालक की बार (पट्टी) पर विचार करें, जिसका आयाम x, y और z है। मान लीजिए कि J को x के साथ और H को Z के साथ निर्देशित किया जाता है, तो E<sub>h</sub>, Y के साथ होगा। तब हम लिख सकते हैं

$$R = \underline{V_b/y}$$
 or  $R = \underline{V_b} \times \underline{Z}$  (2)

जहाँ V<sub>h</sub> हॉल वोल्टेज है जो y के लंबवत दो सतहों के बीच उत्पन्न होता है और 1=J<sub>yz</sub> हॉल इफ़ेक्ट की घटना अलग-अलग आवेश वाहकों के लिए अलग-अलग होती है। अधिकांश सामान्य विद्युत अनुप्रयोगों में, पारंपरिक धारा का उपयोग आंशिक रूप से इसलिए किया जाता है क्योंकि इससे कोई फ़र्क नहीं पड़ता कि आप धनात्मक या ऋणात्मक आवेश को गतिमान मानते हैं। लेकिन हॉल वोल्टेज में धनात्मक और ऋणात्मक आवेश वाहकों के लिए एक अलग धुवता होती है, और इसका उपयोग अर्धचालकों और अन्य सामग्रियों में चालन के विवरण का अध्ययन करने के लिए होता है जो ऋणात्मक और धनात्मक आवेश वाहकों के संयोजन को दर्शाते हैं। n-प्रकार के अर्धचालकों को पेंटावैलेंट दाता के रूप में समूह V तत्व (जैसे फॉस्फोरस, आर्सेनिक या एंटीमनी) की ट्रेस मात्रा के साथ डोप किया जाता है। p-प्रकार के अर्धचालकों को त्रिसंयोजक स्वीकर्ता के रूप में समूह III तत्व (जैसे बोरॉन, एल्युमिनियम या इंडियम) की ट्रेस मात्रा के साथ डोप किया जाता है। n-टाइप अर्थचालक गतिशील ऋणात्मक आवेशों (इलेक्ट्रॉनों) द्वारा चालन करते हैं, p-टाइप अर्धचालक गतिशील धनात्मक आवेशों (छिद्रों) द्वारा चालन करते हैं। इन इलेक्ट्रॉनों और छिद्रों को बहुसंख्यक वाहक के रूप में जाना जाता है। अर्धचालकों के लिए हॉल इफ़ेक्ट बहुसंख्यक आवेश वाहकों के चिद्र और उनकी संख्या घनतव को निर्धारित करने का एक साधन प्रदान करता है।



#### प्रक्रिया:

हॉल प्रोब को सेट-अप से जोडें (लाल तार को वोल्टेज से और हरे तार को करंट से)

क्षेटअप चालू करें और करंट समायोजित करें (मान लें 0.2mA)।

c) डिस्प्ले को वोल्टेज की तरफ स्विच करें। शून्य क्षेत्र विभव देखें। हॉल प्रोब को चुंबकीय क्षेत्र में रखें जैसा कि चित्र 2 में दिखाया गया है और इलेक्ट्रोमैग्नेट बिजली की आपूर्ति चालू करें। गॉसमीटर सेंसर द्वारा चुंबकीय क्षेत्र को मापें। चुंबकीय क्षेत्र H1=1000 गॉस प्राप्त करने के लिए इलेक्ट्रोमैग्नेट की बिजली आपूर्ति के करंट (I<sub>IM</sub>) को 2.0 एम्पियर के आसपास समायोजित करें। इसे स्थिर रखें

हॉल प्रोब को दाएं बाएं घुमाएँ जिस से यह चुंबकीय क्षेत्र के लंबवत हो जाए।

- हॉल प्रोब के करंट (I<sub>k</sub>) में धीरे-धीरे वृद्धि करें और उस करंट के अनुरूप हॉल वोल्टेज (V<sub>h</sub>) को मापें। इसी प्रकार 6 रीडिंग लें।
- स्थिर चुंबकीय क्षेत्र H2=1200 गाँस और H3=1400 गाँस के लिए इलेक्ट्रोमैग्नेट करंट (I<sub>EM</sub>) को बढ़ाकर (अधिकतम 4.0Amp) प्रयोग चरण 'e' को दोहराएँ (SET-1 & SET-2)।

अवलोकन:

हॉल प्रोब (क्रिस्टल) की मोटाई (z) = 5 x 10<sup>-2</sup> सेमी

#### तालिकाः

SET-1 Electromagnet power supply H <sub>1</sub> =1000 Gauss (I <sub>EM</sub> =Amp)		SET-2 Electromagnet power supply H <sub>2</sub> =1300 Gauss (I <sub>LM</sub> =Amp)			SET-3  Electromagnet power supply  H <sub>3</sub> =1600 Gauss  (I <sub>tot</sub> =Amp)			
S.No.	1, (mA)	V <sub>i</sub> (mV)	S.No.	I, (mA)	V <sub>k</sub> (mV)	S.No.	1 <sub>x</sub> (mA)	$V_h$ $(mV)$
1	G 46 1	10 25	1	22 8 3	1 1 2	1	W 3	00 06
2			2			2		
3			3			- 3		
4			4			4	1	
5			5			5		
6			6			6		

#### गणना :

Vh v/s I, ग्राफ प्लॉट करें और तीनो ग्राफ के लिए ढलान (ΔVh/ ΔIn) की गणना करें।

प्रत्येक सेंट के लिए ८ की गणना करें,

$$R_1 = ढलान x Z$$

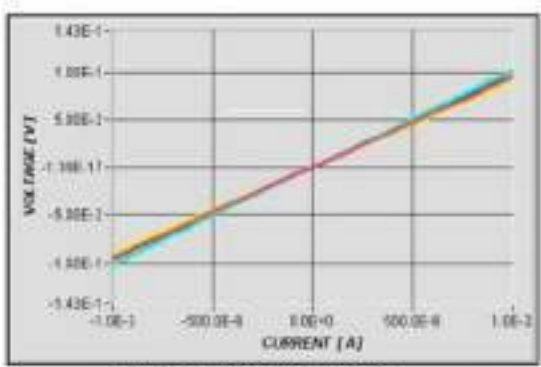


Fig 3: Expected I-V curve

औसत R = R<sub>1</sub>+R<sub>2</sub>+R<sub>3</sub> =..... वोल्ट.सेमी.एम्प<sup>-1</sup>.G<sup>-1</sup>

परिणाम: दिए गए जर्मेनियम क्रिस्टल का हॉल गुणांक (R) =...... वोल्ट.सेमी.एम्प 1.G 1

त्रटि का स्रोत और सावधानियाँ:

- चुंबक विदयुत आपूर्ति खतरनाक वोल्टेज स्तरों पर बड़ी धाराएं प्रदान कर सकती है।
- ii. चुंबक धारा 4 ए से अधिक नहीं होना चाहिए।
- iii. हॉल प्रोब धारा 0.4 ए से अधिक नहीं होना चाहिए।

## MAULANA AZAD NATIONAL INSTITUTE OF TECHNOLOGY, BHOPAL DEPARTMENT OF PHYSICS

#### B.Tech. I Sem/II sem

#### EXPERIMENT: FOUR PROBE METHOD

OBJECT: To measure resistivity of a semiconductor by Four Probe method at different temperatures and determine the Band-gap.

#### APPARATUS USED:

Four probe setup, semiconductor crystal film, oven, and digital meter for current & voltage measurement.

#### THEORY:

Atoms are usually arranged in a regular way to achieve a dense packing in solids and thereby form a crystal. The arrangement has very desirable characteristics, i.e. the transports of holes and free electrons is very smooth in these structures. Silicon and germanium (and carbon) crystallize with an identical crystal structure, called diamond structure.

By Ohm's law, the electric field intensity,  $\vec{E}$  at a point in a material is proportional to the current density,  $\vec{J}$  that it induces at that point. The proportionality constant is called electrical resistivity  $\rho$ , of the material as,

$$\vec{E} = \rho \vec{J}$$

For a sample with a long wire like geometry with uniform cross-sectional area,  $\rho$  can be measured by simple 2-probe, passing a known current through the sample and measuring the voltage drop across it. This simple method has however several disadvantages. Some of the

difficulties can be resolved by employing a technique called four probe method.

Consider a flat semiconducting sample. In the four probe method, four pointed, collinear, equally spaced probes are placed in pressure contact with the plane surface of the sample (Fig. 1). A current is injected into the sample through the outer two probes (1 & 4). The resulting electric potential is measured

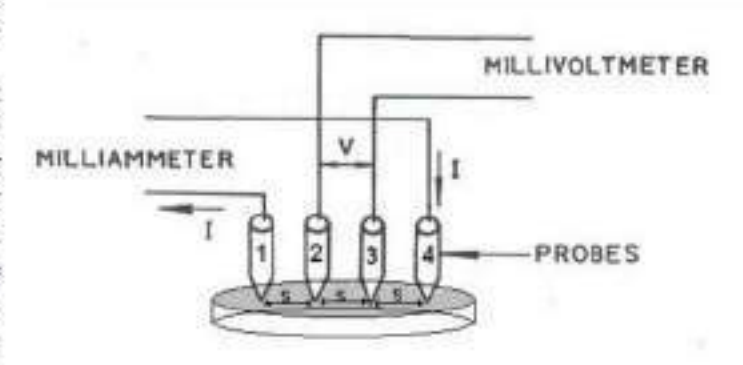


Fig 1. Four probe setup circuit

via the two inner probes (2 & 3). An oven is provided with a heater to heat the sample so that behavior of the sample is studied with increase in temperature.

#### FORMULA:

The energy gap of the semiconductor is given by the equation

E<sub>g=</sub> 
$$\frac{2 K \log \rho}{\frac{1}{T}}$$
 eV  
E<sub>g=</sub>  $\frac{(2 \times 2.303) K \log_{10} \rho}{\frac{1}{T}}$  eV

Note that  $\log = 2.303 \log_{10}$ .

K is the Boltzmann constant (K=8.6x10- $^5$  eV/deg,), T is the temperature, in Kelvin,  $\rho$  the resistivity of the semiconductor crystal is,

$$\rho = \frac{\rho_0}{f(W/S)}$$
Where, 
$$\rho_0 = \frac{V}{I} X 2\pi S,$$
 in ohm-cn

W is the thickness of the crystal, in mm, S is the distance between the probes, in mm, V is the voltage across the inner probes, I is the current through the crystal. f(W/S) is a function and its value is taken from the data sheet of experiment setup.

If the values of  $T^{-1}X10^{-3}$  and the corresponding values of  $log_{10}p$  are plotted on a graph, a curve is found (Fig. 2). The slope of the curve is calculated from the graph and putting the value of slope in equation,  $E_p$  is obtained as

$$E_{g} = 2 \times 2.303 \times K \times Slope \qquad eV$$

$$Slope = \frac{\Delta log_{10} \rho}{\Delta \frac{1}{T} X 10^{-3}}$$

$$Slope = \frac{\Delta log_{10} \rho}{\Delta r} = \frac{1}{T} \frac$$

Symbols have their usual meanings.

#### PROCEDURE:

- Connect the outer pair of probes (red/black) leads to the constant current power supply and the inner pair (vellow/green leads) to the probe voltage terminals.
- Place the four probe arrangement in the oven and fix the thermometer in the oven through the hole provided.
- Switch on the ac mains of Four Probe Set-up and put the digital panel meter in the current measuring mode through the selector switch. In this position LED facing mA will glow. Adjust the current to a suitable value (Say 5 mA).
- Now put the digital panel meter in voltage measuring mode. In this position LED facing mV would glow and read the voltage (V) between the probes. Note the value of V and room temperature T in table.
- Connect the oven with power supply. Rate of heating may be selected with the help of a switch Low or High as desired. Switch on the power to the Oven. The glowing LED indicates the power to the oven is 'ON'. For different temperatures, up to 150°C, note the voltage developed between the probes.

#### OBSERVATIONS TABLE:

- Probe spacing S= 0.200 cm
- Sample Width W= 0.050 cm
- f(W/S) function = 5.89
- Current I= ..... mA (Constant)

S.No.	Temperature (°C)	Temperature T (K)	Voltage (mV)	$\rho = \underbrace{(V/D) \times 2\pi S}_{5.89}$ (ohm.cm)	T <sup>-1</sup> x 10 <sup>3</sup>	log <sub>10</sub> p
1.	Room Temp					
2.	40					
2	60					
33	1					
90						
#S	150					

#### CALCULATIONS

- Plot graph for log<sub>10</sub>ρ v/s T<sup>-1</sup>X10<sup>-3</sup>
- Find the slope from graph,

Slope = 
$$\frac{\Delta \log_{10} \rho}{\Delta \frac{1}{T} X 10^{-3}}$$

- Calculate band gap,

$$E_a = 2 \times 2.303 \times K \times Slope$$
 eV

symbols have their usual meanings.

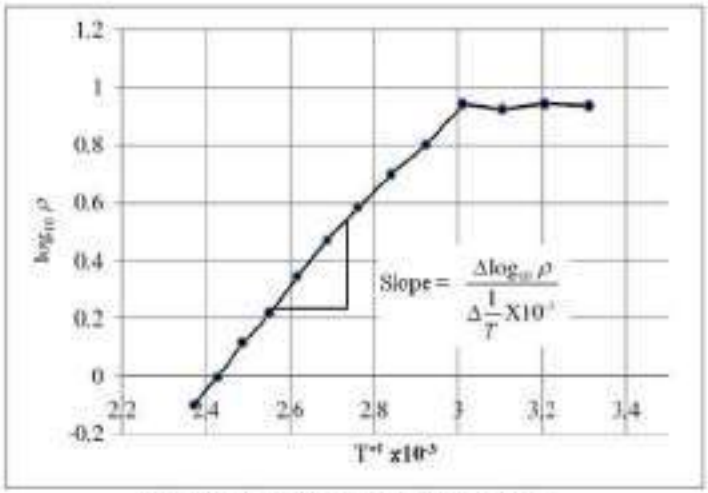


Figure 2 Variation of  $\rho$  with temperature

#### RESULTS:

Experimentally obtained Eg for semiconductor = .....eV

#### PRECAUTIONS AND SOURCES OF ERROR:

- 1. Don't press the probes tightly on the surface of semiconductor film
- 2. Four probes should lie in a straight line
- 3. Probe-film contact point should be small compared to

## मौलाना आजाद राष्ट्रीय प्रौद्योगिकी संस्थान, भोपाल भौतिकी विभाग

## बी.टेक. प्रथम / द्वितीय सेमेस्टर प्रयोग: 4- प्रोब विधि (4-कांटेक्ट पॉइंट विधि)

उद्देश्यः विभिन्न तापमानों पर फोर प्रोब विधि द्वारा अर्धचालक की प्रतिरोधकता मापना तथा बैंड-गैप निर्धारित करना।

उपकरण: 4 कांटेक्ट पॉइंट सेटअप, अर्धचालक क्रिस्टल फिल्म, ओवन, और वर्तमान और वोल्टेज माप के लिए डिजिटल मीटर आदि।

#### सिद्धांत:

ठोस पदार्थों में सघन पैकिंग प्राप्त करने के लिए परमाणुओं को आमतौर पर एक नियमित तरीके से व्यवस्थित किया जाता है और इस प्रकार एक क्रिस्टल बनता है। व्यवस्था में बहुत ही वांछनीय विशेषताएँ हैं, यानी इन संरचनाओं में छिद्रों और मुक्त इलेक्ट्रॉनों का परिवहन बहुत आसान है। सिलिकॉन और जर्मेनियम (और कार्बन) एक समान क्रिस्टल संरचना के साथ क्रिस्टलीकृत होते हैं, जिसे हीरा संरचना कहा जाता है। ओम के नियम के अनुसार, किसी पदार्थ में किसी बिंदु पर विद्युत क्षेत्र की तीव्रता, उस बिंदु पर प्रेरित धारा घनत्व, ) के समानुपाती होती है। आनुपातिकता स्थिरांक को पदार्थ की विद्युत प्रतिरोधकता ρ कहा जाता है, क्योंकि, एक समान क्रॉस-सेक्शनल क्षेत्र के साथ एक लंबे तार जैसी ज्यामिति वाले नमूने के लिए, ρ को सरल 2-कांटेक्ट पॉइंट विधि द्वारा मापा जा सकता है, नमूने के माध्यम से एक ज्ञात धारा को पारित करना और इसके पार वोल्टेज ड्रॉप को मापना। हालाँकि इस सरल विधि में कई नुकसान हैं। कुछ कठिनाइयों को 4-कांटेक्ट पॉइंट प्रणाली का उपयोग करके हत किया

जा सकता हैं। एक सपाँट अर्धचालक नमूने पर विचार करें। 4-कांटेक्ट पॉइंट विधि में, चार नुकीले, एकसमान दूरी वाले कांटेक्ट पॉइंट अर्धचालक नमूने की समतल सतह के साथ दबाव संपर्क (प्रेशर कॉन्टेक्ट) में रखे जाते हैं (चित्र 1)। बाहरी दो कांटेक्ट पॉइंट (1 और 4) के माध्यम से नमूने में एक धारा(करंट) इंजेक्ट की जाती हैं। परिणामी विद्युत विभव को दो आंतरिक कांटेक्ट पॉइंट (2 और 3) के Fig माध्यम से मापा जाता है। नमूने को गर्म

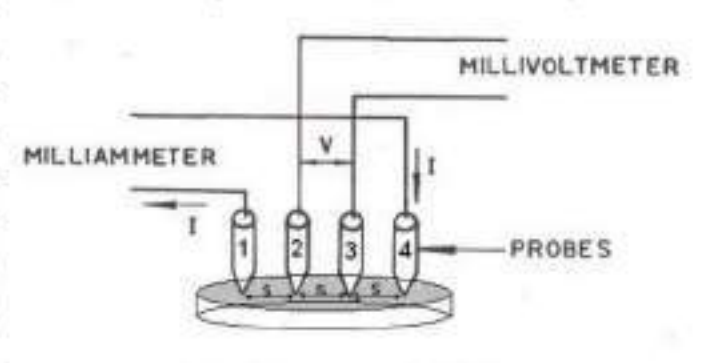


Fig 1. Four probe setup circuit

करने के लिए एक ओवन को हीटर के साथ प्रदान किया जाता है ताकि तापमान में वृद्धि के साथ नमूने के व्यवहार का अध्यपन किया जा सके।

सूत्र: अर्थचालक का ऊर्जा अंतराल निम्नलिखित समीकरण द्वारा दिया जाता है

$$E_{g=} = \frac{2 K \log \rho}{\frac{1}{T}} \quad eV$$

$$E_{g=} = \frac{(2 \times 2.303) K \log_{10} \rho}{\frac{1}{T}} \quad eV$$

ध्यान दें कि log = 2.303 log<sub>10</sub>.

K बोल्ट्ज़मैन स्थिरांक है (K=8.6x10<sup>-5</sup> eV/deg,), T तापमान है, केल्विन में, ρ अर्धचालक क्रिस्टल की प्रतिरोधकता है,

$$\rho = \frac{\rho_0}{f(W/S)}$$
हां,  $\rho_0 = \frac{V}{I} X 2\pi S$ , ओम-सेमी है

w क्रिस्टल की मोटाई है मिमी में, S कांटेक्ट पॉइंट के बीच की दूरी है मिमी में, V आंतरिक कांटेक्ट पॉइंट में वोल्टेज है. 1 क्रिस्टल के मध्य से प्रवाहित करंट है। / (W/S) एक फ़ंक्शन है और इसका मान प्रयोग सेटअप की डेटा शीट से लिया गया है

यदि  $T^{-1}X10^{-3}$  तथा log 10 $\rho$  के संगत मानों को ग्राफ पर अंकित किया जाए, तो एक वक्र प्राप्त होता है (चित्र 2)। वक्र के ढ़लान की गणना ग्राफ से की जाती है तथा ढ़लान के मान को समीकरण में रखने पर, Eg इस प्रकार प्राप्त होता है,

$$E_e = 2 \times 2.303 \times K \times Slope$$
 eV

Slope = 
$$\frac{\Delta \log_{10} \rho}{\Delta \frac{1}{T} X 10^3}$$
  
प्रतीकों के अपने सामान्य अर्थ हैं।

#### प्रक्रिया:

- बाहरी कांटेक्ट पॉइंट की जोड़ी को निरंतर स्थिर करंट की तार (लाल/काली) से और आंतरिक कांटेक्ट पॉइंट की जोड़ी को कांटेक्ट पॉइंट वोल्टेज तार (पीली/हरी) से कनेक्ट करें।
- ओवन में 4-कांटेक्ट पॉइंट रखें और दिए गए छेद के माध्यम से ओवन में धर्मामीटर को एडजस्ट करें।
- 4-कांटेक्ट पॉइंट सेट-अप के एसी मेन को स्विच करें और चयनकर्ता स्विच के माध्यम से डिजिटल पैनल मीटर को करंट मापने वाले मोड में रखें। इस स्थिति में mA वाली एल.ई.डी. चमकेगी। करंट को उचित मान (5 mA) पर एडजस्ट करें।
- d) अब डिजिटल पैनल मीटर को वोल्टेज मापने वाले मोड में रखें। इस स्थिति में mv वाली एलईडी चमकेगी और मीटर आंतरिक कांटेक्ट पॉइंट के बीच वोल्टेज (V) को नोट करें। तालिका में V और कमरे के तापमान T का मान नोट करें।
- ओवन को बिजली की आपूर्ति से जोड़ें। स्विच की मदद से हीटिंग की दर को इच्छानुसार कम या उच्च चुना जा सकता है। ओवन की बिजली चालू करें। चमकती हुई एलईडी यह संकेत देती है कि ओवन की बिजली 'ON' है। 150 डिग्री सेल्सियस तक के विभिन्न तापमानों के लिए, आंतरिक कांटेक्ट पॉइंट के बीच वोल्टेज (V) को नोट करें।

#### अवलोकनः

- कांटेक्ट पॉइंट के बीच की दूरी है S= 0.200 सेमी
- क्रिस्टल की मोटाई W= 0.050 सेमी
- /(W/S) फ़ंक्शन = 5.89
- करंट I- ..... mA (स्थिर)

S.No.	Temperature (°C)	Temperature T (K)	Voltage (mV)	$\rho = \frac{\text{(V/I)} \times 2\pi \text{S}}{5.89}$ (ohm.cm)	T1 x 103	log <sub>10</sub> ρ
3.	Room Temp					
4.	40					
*:	60					
10				7		
**	150					

#### गणना :

- log<sub>10</sub>ρ v/s T<sup>-1</sup>X10<sup>-3</sup> के लिए ग्राफ बनाएँ

- ग्राफ से ढलान ज्ञात करें,

Slope = 
$$\frac{\Delta \log_{10} \rho}{\Delta \frac{1}{T} X 10^{-5}}$$

बैंड गैप की गणना करें,
 E<sub>s</sub>= 2×2.303×K×Slope eV
 प्रतीकों के अपने सामान्य अर्थ हैं।

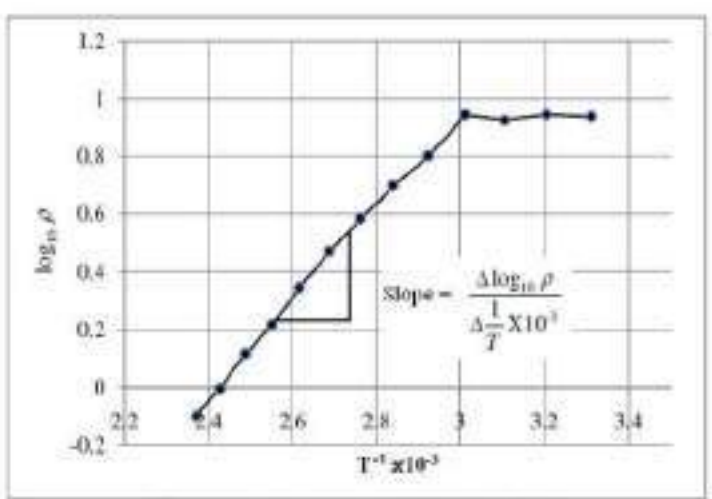


Figure 2 Variation of  $\rho$  with temperature

#### परिणाम:

दिए गए अर्धचालक के लिए प्रयोगात्मक रूप से प्राप्त बैंड गैप = .....ev

## त्रुटि का स्रोत और सावधानियाँ:

- सेमीकंडक्टर क्रिस्टल की सतह पर कांटेक्ट पॉइंट को कसकर न दबाएं
- ii. चार कांटेक्ट पॉइंट एक सीधी रेखा में होनी चाहिए
- iii. क्रिस्टल संपर्क बिंदु तुलना में छोटा होना चाहिए

# MAULANA AZAD NATIONAL INSTITUTE OF TECHNOLOGY, BHOPAL DEPARTMENT OF PHYSICS

# B.Tech. I Sem/II sem

# EXPERIMENT: NODAL SLIDE ASSEMBLY

### OBJECTIVE:

To verify the formula for the combination of lenses using Nodal Slide assembly.

### APPARATUS:

Nodal Slide Assembly, Light sorce and the convex lenses

## THEORY:

When a ray of light passes through a nodal point, its conjugate ray passes through the other nodal point and is always parallel to the incident ray. If the system is rotated

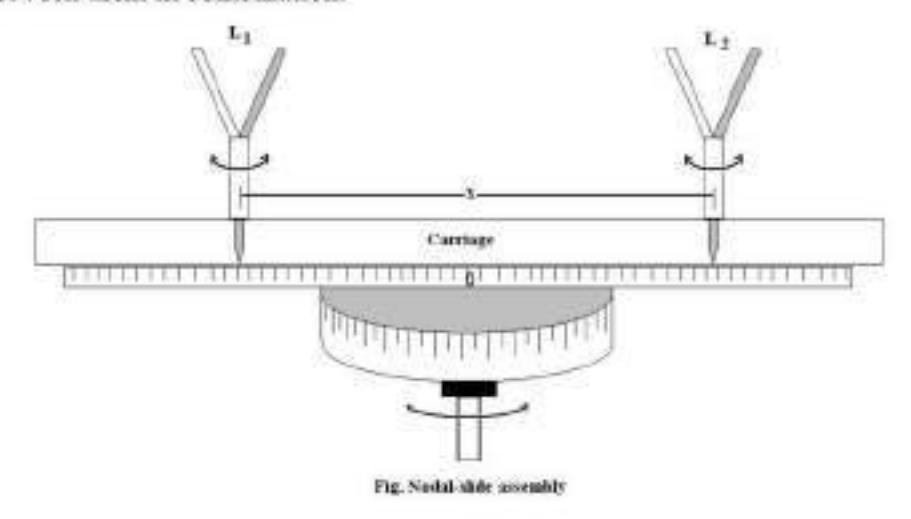
slightly about a vertical axis, the image will not shift from its position. The nodal slide assembly is used in optical instruments like microscopes, telescopes, and cameras to precisely adjust the position of the optical component without affecting the image quality.

If,  $f_1$  and  $f_2$  are the focal lengths of the component lenses of a system and the lenses be situated at a distance x apart, then the focal length of the combination is given as

$$\frac{1}{F} = \frac{1}{f_1} + \frac{1}{f_2} - \frac{x}{f_1 f_2}$$



Where f<sub>1</sub> and f<sub>2</sub> are focal lengths of first and second lens and x is the separation between them in combination.



### PROCEDURE:

- Adjust the lens holder on carriage of lens L<sub>1</sub>, cross slit, light source and plane mirror so that the line joining their centers are parallel to the bench.
- Adjust the alignment of plane mirror so that the image of the cross slit form close to itself.
- c) Adjust the position of the lens so that axial movement of lens holder through a small angle (by 5°) do not produce any shift in the image. At this point read the position of cross slit, R<sub>1</sub> and the axis of nodal slide R<sub>2</sub>. Their difference will give f<sub>1</sub> (One face).
- d) Rotate the carriage by 180° axially (Other face). Take the reading again for cross slit, R<sub>1</sub> and the axis of nodal slide R<sub>2</sub> to get f<sub>1</sub>. Their average will give f<sub>1</sub>.
- Repeat the same procedure (step 1 to 3) with second lens L<sub>2</sub> and obtain f<sub>2</sub>.
- f) And then repeat again with both the lenses on the carriage simultaneously. At this point read the distance between two lenses as x cm.
- Take similar readings after shifting the position of two lenses by rotating carriage 180°.

## OBSERVATIONS:

Least count of scale = .....cm

TABLE 1:

Light on	Position of cross slit R <sub>1</sub> cm	Position of lens on the Nodal slide R <sub>2</sub> cm	Focal length  f=R <sub>1</sub> -R <sub>2</sub> cm
One face			
Other face			
One face			
Other face			
	One face Other face One face	One face One face One face	Cross slit R <sub>1</sub> cm R <sub>2</sub> cm  One face  Other face  One face

### TABLE 2:

	Light on	Position of cross slit A cm	Position of axis of Nodal Slides B cm	Focal length of Combination F=A~B cm
Combination of	One face			
Lenses	Other face			

# CALCULATION:

$$f_1 = ---- cms$$
.  
 $f_2 = ---- cms$ .

$$\frac{1}{F} = \frac{1}{f_1} + \frac{1}{f_2} - \frac{x}{f_1 f_2}$$

Experimental F = ----- cms

## RESULT:

/alue of Focal length f <sub>1</sub> = cms.	
value of Focal length $f_2 =$ cms.	
Value of Experimental Focal length of combination lens F = cr	ms
Value of F(calculated) = cms	
6 error between calculated and experimental	
=cms	

# SOURCES OF ERRORS AND PRECAUTIONS:

- The cross slit must be properly and intensely illuminated by the light coming from the lamp, so that the image obtained is bright and distinct.
- Since the image is formed on the principle focus of the which lays on the principle axis, the lenses must be so mounted on the lens holders that the principle axis of the system passes through the point of intersection of the cross slits. If this condition is not adhered to the image of the cross slit won't form.
- 3. Sometimes a bright image is formed on the metal plate screen by reflection from the surface of the lens. This is termed as ghost image and it must not be confused with the one we desire to obtain. If the plane mirror is slightly turned the genuine image shifts slightly whereas the fake one remains stationary. As the other way out we can obstruct the light from falling on the plane mirror by hiding it behind our palms.
- 4. The rotation of the nodal slide about the vertical axis while testing it's coincidence with the nodal point should not exceed 5°, for if it does the image may leave the cross slit and has to be adjusted again to get a bright and distinct image.
- The image of cross slit will not shift on rotating the nodal slide, if the axis of rotation of nodal slide passes through the nodal point. So we can always switch the position of nodal slide until we end up with the apt one.
- In order that a sharp and well defined image forms on metal plate screen, use of small aperture lens is recommended.
- The mirror employed should be a perfect plane so that all the incident rays are reflected back without suffering any change.

# मौलाना आजाद राष्ट्रीय प्रौद्योगिकी संस्थान, भोपाल

भौतिकी विभाग

# बी.टेक. प्रथम / द्वितीय सेमेस्टर प्रयोग: नोडल स्लाइड असेंबली

उद्देश्यः नोडल स्लाइड असेंबली का उपयोग करके लेंसों के संयोजन के लिए सूत्र का सत्यापन करना। उपकरणः नोडल स्लाइड असेंबली, प्रकाश स्रोत और उत्तल लेंस आदि।

# सिद्धांत:

जब प्रकाश की किरण किसी नोडल बिंदु से होकर गुजरती है, तो उसकी संयुग्मी किरण दूसरे नोडल

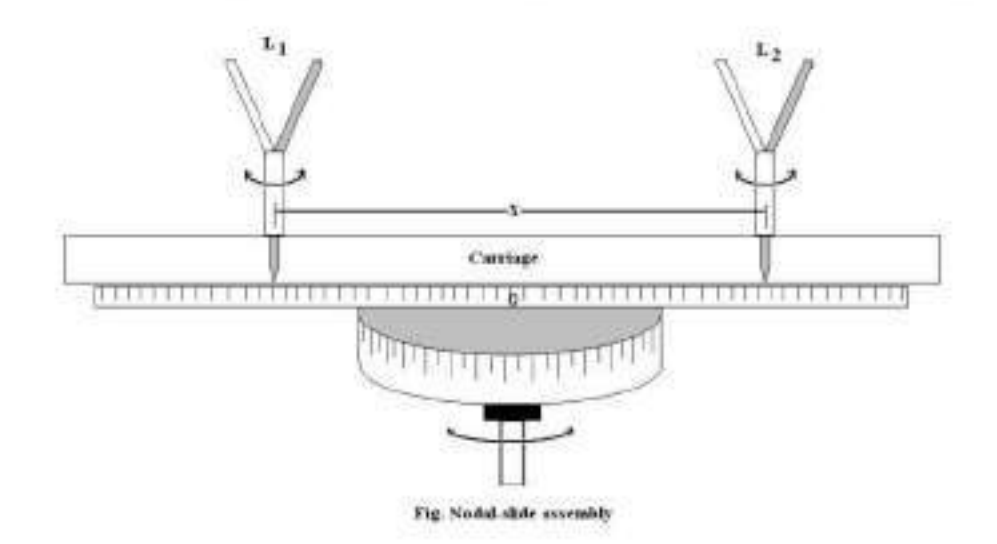
बिंदु से होकर गुजरती है और हमेशा आपितत किरण के समानांतर होती है। यदि सिस्टम को ऊर्ध्वाधर अक्ष के बारे में थोड़ा घुमाया जाता है, तो अपनी स्थिति से नहीं हटेगी। नोडल स्लाइड असेंबली का उपयोग ऑप्टिकल उपकरणों जैसे माइक्रोस्कोप, दूरबीनों और कैमरों में छवि की गुणवत्ता को प्रभावित किए बिना ऑप्टिकल घटक स्थिति को ठीक से समायोजित करने के लिए किया जाता है।



यदि, f1 और f2 किसी सिस्टम के घटक लेंस की फोकल लंबाई हैं और लेंस x दूरी पर स्थित हैं, तो संयोजन की फोकल लंबाई इस प्रकार दी गई है

$$\frac{1}{F} = \frac{1}{f_1} + \frac{1}{f_2} - \frac{x}{f_1 f_2}$$

जहाँ f: और f: पहले और दूसरे लेंस की फोकल लंबाई हैं और x संयोजन में उनके बीच की दूरी है



$$\frac{1}{F} = \frac{1}{f_c} + \frac{1}{f_c} - \frac{x}{f_c f_c}$$

जहाँ f; और f2 पहले और दूसरे लेंस की फोकल लंबाई हैं और x संयोजन में उनके बीच की दूरी है

# प्रक्रियाः

- लेंस L1, क्रॉस स्लिट, प्रकाश स्रोत और समतल दर्पण के कैरिज पर लेंस धारक को इस तरह से समायोजित करें कि उनके केंद्रों को जोड़ने वाली रेखा बेंच के समानांतर हो।
- समतल दर्पण के सरेखण को इस तरह से समायोजित करें कि क्रॉस स्लिट का प्रतिबिंब उसके करीब बने।
- c. लेंस की स्थिति को इस तरह से समायोजित करें कि लेंस धारक की अक्षीय गति एक छोटे कोण (5°) के माध्यम से छवि में कोई बदलाव न करे। इस बिंदु पर क्रॉस स्लिट, R1 और नोडल स्लाइड R2 की धुरी की स्थिति पढ़ें। उनका अंतर f1 (प्रथम ओर) देगा।
- d. घ) गाड़ी को 180° अक्षीय रूप से घुमाएँ (एक ओर)। क्रॉस स्लिट, R1 और नोडल स्लाइड R2 की धुरी के लिए फिर से रीडिंग लें ताकि r1 प्राप्त हो। उनका औसत r1 देगा।
- e. दूसरे लेंस L2 के साथ उसी प्रक्रिया (चरण 1 से 3) को दोहराएं और f2 प्राप्त करें।
- और फिर कैरिज पर दोनों लेंसों के साथ एक साथ दोहराएं। इस बिंदु पर दो लेंसों के बीच की दूरी x सेमी के रूप में पढ़ें।
- g. कैरिज को 180° घुमाकर दो लेंसों की स्थिति को स्थानांतरित करने के बाद समान रीडिंग लें।

# अवलोकन:

स्केल का लघुत्तमांक = .....सेमी

# तालिका 1:

Set	Light on	Position of cross slit R <sub>1</sub> cm	Position of lens on the Nodal slide R <sub>2</sub> cm	Focal length $f_1$ = R <sub>1</sub> -R <sub>2</sub> cm
Individual focal	One face			
length of lens L1	Other face			
Individual focal	One face			
length of lens L2	Other face			

# तालिका 2:

	Light on	Position of cross slit A cm	Position of axis of Nodal Slides B cm	Focal length of Combination F=A~B cm
Combination of	One face			
Lenses	Other face			

# गणनाः

# परिणाम:

फोकल लंबाई /; का मान =	- सेमी.
फोकल लंबाई /2 का मान =	सेमी.
संयुक्त लेंस F की प्रायोगिक फोकल लंबाई का मान	नं = सेमी
F की गणना कर फोकल लंबाई का मान =	
गणना और प्रायोगिक के बीच % त्रटि =	सेमी.

त्रटि का स्रोत और सावधानियाँ:

- क्रॉस स्लिट को लैंप से आने वाली रोशनी से ठीक से और तीव्रता से प्रकाशित किया जाना चाहिए, ताकि प्राप्त छवि उज्ज्वल और अलग हो।
- ii. चूँिक छवि मुख्य फोकस पर बनती है जो मुख्य अक्ष पर स्थित होती है, इसलिए लेंस को लेंस धारकों पर इस तरह से लगाया जाना चाहिए कि सिस्टम की मुख्य अक्ष क्रॉस स्लिट के प्रतिच्छेद बिंदु से गुज़रे। यदि इस शर्त का पालन नहीं किया जाता है तो क्रॉस स्लिट की छवि नहीं बनेगी।
- iii. कभी-कभी लेंस की सतह से परावर्तन द्वारा धातु की प्लेट स्क्रीन पर एक उज्ज्वल छवि बनती है। इसे भूत छवि कहा जाता है और इसे उस छवि के साथ भ्रमित नहीं होना चाहिए जिसे हम प्राप्त करना चाहते हैं। यदि समतल दर्पण को थोड़ा घुमाया जाता है तो असली छवि थोड़ी सी बदल जाती है जबकि नकली स्थिर रहती है। दूसरे तरीके के रूप में हम अपनी हथेलियों के पीछे इसे छिपाकर समतल दर्पण पर पड़ने वाले प्रकाश को रोक सकते हैं। 4. नोडल बिंदु के साथ इसके संयोग का परीक्षण करते समय ऊर्ध्वाधर अक्ष के बारे में नोडल स्लाइड का घुमाव 5° से अधिक नहीं होना चाहिए, क्योंकि यदि ऐसा होता है तो छवि क्रॉस स्लिट को छोड़ सकती है और एक उज्ज्वल और अलग छवि प्राप्त करने के लिए इसे फिर से समायोजित करना होगा। 5. नोडल स्लाइड को घुमाने पर क्रॉस स्लिट की छवि नहीं बदलेगी, अगर नोडल स्लाइड के रोटेशन की धुरी नोडल बिंदु से गुजरती है। इसलिए हम नोडल स्लाइड की स्थित को हमेशा बदल सकते हैं जब तक कि हम उपयुक्त स्थिति पर न पहुँच जाएँ। 6. धातु की प्लेट स्क्रीन पर एक स्पष्ट और अच्छी तरह से परिभाषित छवि बनाने के लिए, छोटे एपर्चर लेंस का उपयोग करने की सलाह दी जाती है। 7. उपयोग किया जाने वाला दर्पण एकदम समतल होना चाहिए ताकि सभी घटना किरणें बिना किसी परिवर्तन के वापस परावर्तित हो जाएँ।

# MAULANA AZAD NATIONAL INSTITUTE OF TECHNOLOGY, BHOPAL DEPARTMENT OF PHYSICS

# B.Tech. I Sem / II Sem

# EXPERIMENT: PHOTO CELL CHARACTERISTICS

AIM: To study the characteristics of a Photo cell.

APPARATUS USED: Photo cell, D.C Power Supply and Digital meters, Light source (lamp of 100W), optical bench, scale etc.

BRIEF THEORY: Photocells are of two types (i) Vaccum filled Photocell and (ii) Gas filled Photocell.

(i) Vacuum filled Photocell: It consists of a semi cylindrical plate C coated with very thin layer of Photo sensitive material (like potassium or cesium) and a wire of platinum or nickel is connected along the axis of this cylinder. The whole system is fixed on an ebonite

base and is enclosed by an evacuated glass cover as shown in fig. 1. When radiation falls on the semi cylindrical plate (cathode) C, electrons are emitted from it and are collected by anode A. The two important characteristics of this Photocell are (a) Photocurrent Vs anode voltage (I-V) characteristic at different light intensity and (b) Photocurrent Vs Light intensity (I-X) characteristic at different anode voltage. Since the light intensity X falling on the photocell is proportional to 1/d2, where d is the distance of the photocell from the

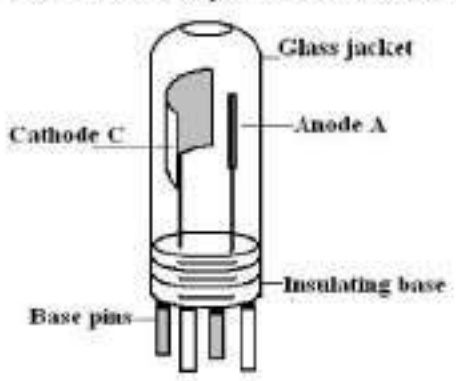


Fig 1: A Photocell

source, a plot of I Vs 1/d2 plot will be same as I Vs X plot.

(ii) Gas filled Photocell: Its construction is exactly similar to Vacuum filled Photocell except that the gas filled photocell is filled with inert gas. Like Vacuum filled Photocell, this cell has also two important characteristics, (a) I-V characteristic and (b) I-X characteristic.

## PROCEDURE:

- a) Keep the photo cell in sunlight for 15 to 20 minutes so that it gets properly activated
- b) Make connections as per Fig-2.
- c) Keep micro-ammeter's selector switch towards 200µA side, voltmeter range selector's switch towards 20V side and output switch towards 20V side.
- d) Place the lamp (100W) close to cell so that the light from the lamp falls on cell. Note the distance as di

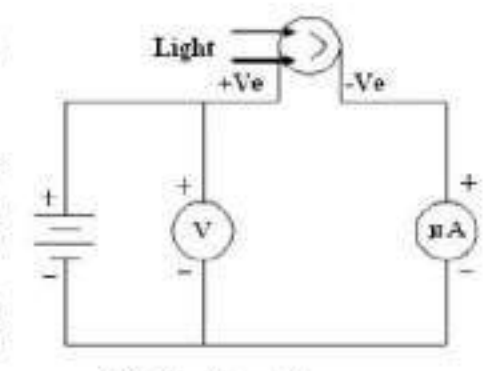


Fig 2 Circuit diagram

- e) For I-V characteristic, Keep the lamp from photocell at fix distance and note as d1. Now increase the positive potential to anode in steps of 5V and note the corresponding reading of the micro ammeter as I in table 1. Repeat the experiment with two other distances d2 and d3to change the incident intensities. Note the readings in Table 1.
- f) Plot a graph by taking anode voltage on x-axis and corresponding reading in micro ammeter on y-axis to obtain I-V characteristic (Fig 3a).

- g) For I-X characteristic, Keep the anode voltage at certain fix value, note as Va<sub>1</sub>. Change the distance (d) of lamp from the photocell in steps of 5cm and note the corresponding reading in the micro ammeter (I). Repeat the experiment with two other with two other anode voltage Va<sub>2</sub> and Va<sub>3</sub>. Note the readings in Table 2.
- h) Plot a graph by taking by taking intensity (X) on x-axis and corresponding reading in micro ammeter (I) on y-axis to obtain I-X characteristic (Fig 3b).

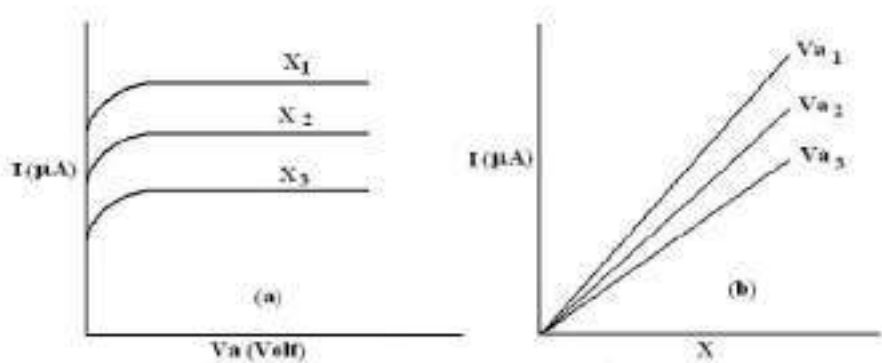


Fig 3 (a) I-V characteristics (b) I-X characteristics

# OSERVATIONS:

TABLE 1: For I-V characteristic

S.No.	Anode potential V <sub>a</sub> (Volt)	Corresponding Micro-ammeter Readin I (µA)			
		for d <sub>1</sub> =20cm	for d <sub>2</sub> =30cm	for d <sub>3</sub> = 40cm	
1.	0				
2.	2				
	4				
5					

TABLE 2: For I-X characteristic

S.No.	Distance d (em)		onding Micro-ammeter Reading I (μA)		
	95 33	100	$Va_1 = 3 \text{ volt}$	$Va_2 = 8 \text{ volt}$	$Va_3 = 13 \text{ volt}$
1.	20			2	
2.	25				
****	30.			T	
.5	46				

### CALCULATIONS:

Since no parameters are to be obtained, draw characteristic curves from the data of Table 1 and Table 2.

# RESULT:

- i. The I-V characteristic curves of given photocell is given in graph.......
- ii. The I-X characteristic curves of given photocell is given in graph.......

# PRECAUTIONS:

- i. Avoid the extra light falling on photocell
- ii. Set the photocell such that it yields maximum current.
- iii. Close the opening window of photocell when it is not in use.

# मौलाना आजाद राष्ट्रीय प्रौद्योगिकी संस्थान, भोपाल

भौतिकी विभाग

बी.टेक. प्रथम / द्वितीय सेमेस्टर

# प्रयोग: फोटो सेल की विशिष्टताएँ

उद्देश्य: फोटो सेल की विशिष्टताओं का अध्ययन करना।

उपकरण: फोटो सेल, डी.सी. पावर सप्लाई और डिजिटल मीटर, प्रकाश स्रोत (100W का लैंप), ऑप्टिकल बेंच, स्केल आदि ।

सिद्धांत:

फोटोसेल दो प्रकार के होते हैं (i) वैक्यूम भरा फोटोसेल और (ii) गैस भरा फोटोसेल।

 (i) वैक्यूम भरा फोटोसेल: इसमें एक अर्द्ध बेलनाकार प्लेट ८ होती है, जो प्रकाश संवेदनशील (सेंसिटिव)पदार्थ (जैसे पोटेशियम या सीज़ियम) की बहुत पतली परत से लेपित होती है तथा इस बेलन की

धुरी के साथ प्लैटिनम या निकल का एक तार जुड़ा होता है।
पूरा सिस्टम एक एबोनाइट बेस पर फिक्स होता है और एक
वैक्यूम ग्लास कवर द्वारा संलग्न होता है जैसा कि चित्र 1 में
दिखाया गया है। जब विकिरण अर्ध बेलनाकार प्लैट
(कैथोड) C पर पड़ता है, तो उसमें से इलेक्ट्रॉन उत्सर्जित
होते हैं तथा एनोड A द्वारा एकत्रित हो जाते हैं। इस
फोटोसेल की दो महत्वपूर्ण विशेषताएं हैं (ए) फोटोकरंट
बनाम एनोड वोल्टेज (I-V) विभिन्न प्रकाश तीव्रता पर
विशिष्टता और (बी) फोटोकरंट बनाम प्रकाश तीव्रता (I-X)
विभिन्न एनोड वोल्टेज पर विशिष्टता। चूँकि फोटोसेल पर
पड़ने वाली प्रकाश तीव्रता X, 1/d2 के समानुपाती होती है,
जहाँ व स्रोत से फोटोसेल की दूरी है, I Vs 1/d2 प्लॉट का
प्लॉट I Vs X प्लॉट के समान होगा।

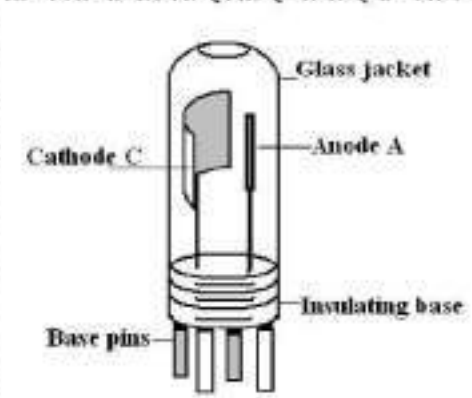


Fig 1: A Photocell

(ii) गैस भरा फोटोसेल: इसका निर्माण वैक्यूम भरे फोटोसेल के समान ही होता है, सिवाय इसके कि गैस भरा फोटोसेल निष्क्रिय गैस से भरा होता है। वैक्यूम भरे फोटोसेल की तरह, इस सेल में भी दो महत्वपूर्ण विशेषताएँ हैं. (a) I-V विशेषता और (b) I-X विशेषता।

# प्रक्रिया:

- कोटोसेल को 15 से 20 मिनट तक धूप में रखें ताकि यह ठीक से सिक्रय हो जाए
- b) चित्र-3 के अनुसार कनेक्शन बनाएँ।
- माइक्रो-एमीटर के चयनकर्ता स्विच को 200µA की ओर, वोल्टमीटर रेंज चयनकर्ता स्विच को 20V की ओर तथा आउटपुट स्विच को 20V की ओर रखें।
- तैंप (100W) को सेल के पास रखें ताकि लैंप से प्रकाश सेल पर पड़े। दूरी को d1 के रूप में नोट करें

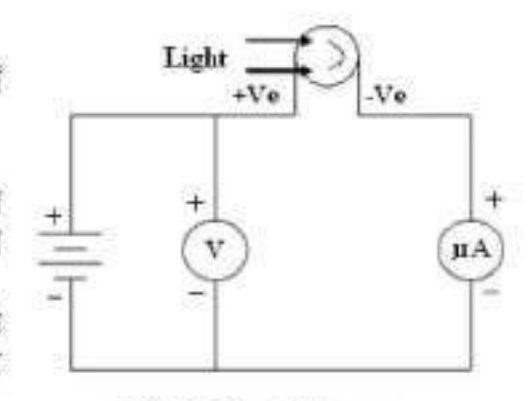


Fig 2 Circuit diagram

- e) I-V विशेषता के लिए लेंप को फोटोसेल से एक निश्चित दूरी d1 पर रखें तथा नोट करें। अब 5V के चरणों में एनोड के लिए पॉजिटिव पोटेंशियल (धनात्मक विभव) बढ़ाएँ तथा माइक्रो एमीटर में से संगत रीडिंग I को तालिका 1 में नोट करें। आपतित प्रकाश तीव्रता को बदलने के लिए दो अन्य दूरियों d2 तथा d3 के साथ प्रयोग को दोहराएँ। तालिका 1 में रीडिंग नोट करें।
- f) I-V विशेषता प्राप्त करने के लिए x-अक्ष पर एनोड वोल्टेज और y-अक्ष पर माइक्रो एमीटर में से संबंधित रीडिंग लेकर ग्राफ बनाएं (चित्र 2a) I

- g) अब I-X विशेषता के लिए, एनोड वोल्टेज को एक निश्चित मान पर रखें, Va1 के रूप में नोट करें। फोटोसेल से लैंप की दूरी (d) को 5 सेमी के चरणों में बदलें और माइक्रो एमीटर में से संगत रीडिंग। को तालिका 2 में नोट करें। दो अन्य एनोड वोल्टेज Va2 और Va3 के साथ प्रयोग को दोहराएं। तालिका 2 में रीडिंग नोट करें।
- h) I-X विशेषता प्राप्त करने के लिए x-अक्ष पर तीव्रता (X) और y-अक्ष पर माइक्रो एमीटर (I) में से संबंधित रीडिंग लेकर ग्राफ बनाएं (चित्र 2b) I

# अवलोकनः

- a) माइक्रो एमीटर का लघुत्तमांक =.....µA
- b) वोल्टमीटर का लघुत्तमांक =.....V

तालिका 1: I-V विशेषता के लिए

S.No.	Anode potential V <sub>a</sub> (Volt)	Correspon	er Reading	
		for d1 = 20cm	for d <sub>2</sub> = 30cm	for d <sub>3</sub> = 40cm
3.	0			
3. 4.	2			
£1	4			
+	-			
+				

तालिका 2: I-X विशेषता के लिए

3. 20 4. 25 . 30.	S.No.	Distance d (cm)	[7] [7] [7] [7] [7] [7] [7] [7] [7] [7]	oonding Micro-amr I (μA)	neter Reading	
4. 25		90 7/6		$Va_1 = 3 \text{ volt}$	$Va_2 = 8 \text{ volt}$	$Va_3 = 13 \text{ volt}$
St. 1 5190	3.	20				
. 30.	4.	25				
		30.				
	+	40				
	+	**				

### गणना -

चूंकि कोई पैरामीटर प्राप्त नहीं करना है, इसलिए तालिका 1 और तालिका 2 के डेटा से अभिलक्षणिक वक्र बनाएं।

# परिणामः

- i. दिए गए फोटोसेल के I-V अभिलक्षणिक वक्र, ग्राफ....... में दिए गए हैं
- ii. दिए गए फोटोसेल के I-X अभिलक्षणिक वक्र ग्राफ ....... में दिए गए हैं

# त्रुटि का स्रोत और सावधानियाँ:

- फोटोसेल पर पड़ने वाली अतिरिक्त रोशनी से बचें
- ii. फोटोसेल को इस तरह सेट करें कि यह अधिकतम करंट दे।
- जब फोटोसेल का उपयोग न हो तो उसकी खुली हुई खिड़की को बंद कर दें।

# MAULANA AZAD NATIONAL INSTITUTE OF TECHNOLOGY, BHOPAL DEPARTMENT OF PHYSICS

# B.Tech. I and II Sem

# EXPERIMENT: DETERMINE THE PLANCK'S CONSTANT OBJECT:

To determine the Planck's Constant using LED.

### APPARATUS USED:

Variable Voltage source (0-2V DC), Current meter (0-20 mA/2000μA), Temperature controlled Oven (ambient to 60°C), LED (Red, Yellow).

## THEORY:

We employ light emitting diodes (LEDs) to determine Planck's constant. From the Einstein's relation, the photon energy  $E_{\tau} = h\nu$  which is equal to the energy gap  $E_g$  between the valance and conduction bands of the diode. Energy gap is in turn equal to the height of energy barrier  $eV_0$ . Those electrons have to overcome to go from the n-doped side of diode junction to the p-doped side when no external voltage V is applied to the diode. In the p-diode side they recombine with holes releasing the energy  $E_g$  as photon with  $E_{\tau} = E_g = eV_0$ . Thus a measurement of  $V_0$  indirectly yields  $E_{\tau}$  and planck's constant. If  $\nu$  is known or measured. However there are practical and conceptual problems in actual measurement.

Let us consider the LED diode equation:

$$I \propto \exp\left(-V_o/V_r\right) \left[\exp\left(V/V_r\right) - 1\right],$$
  $V=V_m-RI$  where  $V_r = \frac{\eta kT}{e}$ 

K= boltzmann constant, T=absolute temperature & e= electronic charge.

 $V_m$  is voltmeter reading in external diode circuit and R is the contact resistance. The constant  $\eta$  is material constant, which depends on type of diode, location of recombination region etc. The energy barrier  $eV_o$  is equal to the gap energy  $E_g$  when no external voltage V is applied. The 'one' in the rectifier is negligible if  $I \ge 2nA$ , and the equation becomes,

$$I \propto \exp[(V - V_o / V_s)]$$
  
 $\propto \exp[e(V - V_o / \eta kT)]$ 

The height of potential barrier is obtained by directly measuring the dependency of diode current on the temperature keeping the applied voltage and thus the height of barrier fixed. The external voltage is kept fixed at a value lower than the barrier.

In our experimental set-up the variation of current I with temperature is measured over about a range of about 30 °C at a fixed voltage V(=1.8volts) kept slightly below V<sub>o</sub>. The slope of InI vs 1/T curve gives

$$V_n = V - \left[ \frac{\Delta \ln I}{\Delta T^{-1}} \times \frac{K}{\sigma} \times \eta \right]$$

The value of  $\eta$  is already is known

The Planck's constant is then obtained by relation

$$h = eV_s \lambda/c$$

The contact resistance of LED is usually around 10hm, while overall internal resistance of LED at applied voltage (1.8V) is few hundred ohms. The factor RI in expression V=V<sub>m</sub>-RI may therefore be neglected.

# FORMULA:

The Planck's Constant,

$$h = \frac{e \times V_o \times \lambda}{c}$$

Where,

$$V_o = V - \left[ \frac{\Delta \ln I}{\Delta T^{-1}} \times \frac{K}{e} \times \eta \right]$$

slope of curve of graph,

$$\frac{\Delta \ln I}{\Delta T^{-1}}$$

K = Boltzmann constant

e = Electronic charge

η - Material constant

λ - Wavelength of LED

c = velocity of light



Figure 1: The experimental setup.

Figure 2: A close view of the LED.

# PROCEDURE:

Dependence of current (I) on temperature (T) at constant applied voltage to find Temperature coefficient

- Keep the mode switch on V-I side and adjust the voltage across LED slightly below the band-gap of LED ie 1.8V for both yellow and red.
- Change the mode of two –way switch to T-I side.
- Insert LED in the oven and connect the other end of LED in the socket provided on set up. Before connecting the oven check that oven switch is in OFF position and SET Temperature knob is at minimum position. Now 1<sup>st</sup> DPM would read ambient temperature.
- Set the different temperature 20, 25, 30......C with the help of set –Temperature knob.
   Allow about 5 minutes on each set temperature to stabilize and take the reading of
   temperature and current.
- Find the inverse of temperature and draw the graph between in I & (1/T).

# OBSERVATIONS:

- Sample: (RED / <u>Yellow</u>) LED
- Voltage = 1.803V (constant for whole set of readings)
- Material constant of Red LED (n) = 1.755

- Material constant of Yellow LED (η) = 1.782
- Boltzmann Constant K= 1.38x10<sup>-23</sup> J/Kelvin
- Electric Charge e= 1.602X 10<sup>-19</sup> Coulombs
- Wavelength of yellow light λ = 5800 x 10<sup>-8</sup> cm
- Wavelength of Red light λ = 6400 x 10<sup>-8</sup> cm

Table: Determination of temperature coefficient of Current

S.No.	Temperature (°C)	Temperature (°K)	(K <sup>-1</sup> )	Current I (mA)	InI (I in mA)
1.	30	1			
2.	35				
3.	40				
4.	45				
5.	50				
6.	55				
7.	60				

## CALCULATIONS:

Draw graph between InI → 1/T and find Slope of curve as

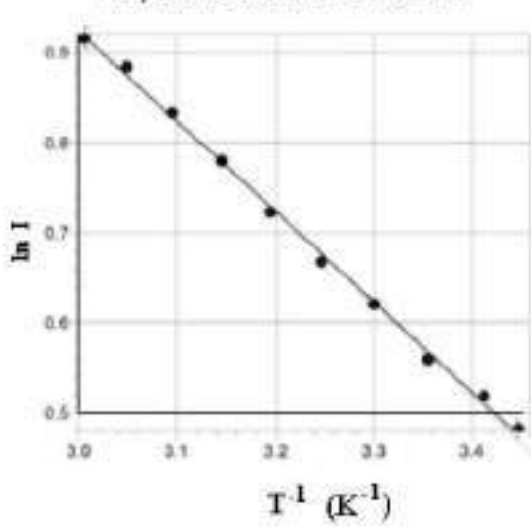
$$\frac{\Delta \ln I}{\Delta T^{-1}} =$$

$$V_o = V - \left[ \frac{\Delta \ln I}{\Delta T^{-1}} \times \frac{K}{e} \times \eta \right]$$

The Planck's Constant,

$$h = \frac{e \times V_o \times \lambda}{c}$$

**Temperature Coefficient of Current** 



# RESULT:

The Planck's Constant h=.....Joules.sec

# PRECAUTIONS:

- V-I characteristic of LED should be drawn at very low current upto = 1000μA only, so that disturbance to V<sub>0</sub> is minimum.
- In T-I mode, make sure that the oven switch is 'OFF' and SET temp knob is at minimum position before connecting the oven.
- On each setting of temperature, please allow sufficient time for the temperature to stabilized, between 5-6 minutes.

# मौलाना आजाद राष्ट्रीय प्रौद्योगिकी संस्थान, भोपाल

भौतिकी विभाग बी.टेक. प्रथम / द्वितीय सेमेस्टर

# प्रयोग: प्लांक का स्थिरांक

उद्देश्य: एलईडी (प्रकाश उत्सर्जक डायोड) का उपयोग करके प्लांक का स्थिरांक (h) निर्धारित करना। उपकरण: परिवर्तनीय वोल्टेज स्रोत (0-2V DC), करंट मीटर (0-20 mA/2000µA), तापमान नियंत्रित ओवन (पर्यावरण तापमान से 60°C तक), एलईडी (लाल, पीली)

सिद्धांत:

हम प्लांक का स्थिरांक निर्धारित करने के लिए प्रकाश उत्सर्जक डायोड (एलईडी) का उपयोग करते हैं। आइंस्टीन के संबंध से, फोटॉन ऊर्जा Ey=hv डायोड के वैलेंस और कंडक्शन बैंड के बीच ऊर्जा अंतर Eg के बराबर है। यह ऊर्जा अंतर Eg ऊर्जा अवरोध की ऊँचाई eVo के बराबर होता है, जिसे इलेक्ट्रॉनों को n-डोप्ड साइड से p-डोप्ड साइड तक जाने के लिए पार करना पड़ता है, जब डायोड पर कोई बाहरी वोल्टेज v लागू नहीं होता है। p-डोप्ड साइड पर, वे होल्स के साथ पुनर्संयोजित होते हैं और ऊर्जा Eg को फोटॉन के रूप में उत्सर्जित करते हैं, जो Ey=Eg= eVo होता है। इस प्रकार Vo का मापन अप्रत्यक्ष रूप से Ey और प्लांक का स्थिरांक h प्रदान करता है, यदि v ज्ञात या मापा गया हो।

$$I \propto \exp(-V_o/V_c)[\exp(V/V_c)-1]$$
.  $\forall \forall \forall v_o \in \mathbb{N}$  जहां  $V_c = \frac{\eta kT}{e}$ 

k बोल्ट्ज़मान स्थिरांक, c इलेक्ट्रॉन का चार्ज, T तापमान (केल्विन में) है जब कोई बाहरी वोल्टेज V लागू नहीं किया जाता है, तो ऊर्जा अवरोध cV<sub>0</sub> ऊर्जा अंतर Eg के बराबर होता है। इसके अलावा, कुछ स्थिरांक होते हैं जो एलईडी की गुणधर्मों पर निर्भर करते हैं, जैसे कि सामग्री स्थिरांक η, जो डायोड के प्रकार, पुनसँयोजन क्षेत्र की स्थिति आदि पर निर्भर करता है। और जब 1≥2nA होता है, तो समीकरण में −1अंश को नजरअंदाज किया जा सकता है। इस स्थिति में समीकरण निम्नलिखित हो जाता है:

$$I \propto \exp[(V - V_o/V_c)]$$
  
 $\propto \exp[e(V - V_o/\eta kT)]$ 

अवरोध विभव (पोटेंशियल बैरियर) की ऊंचाई को प्राप्त करने के लिए डायोड के करंट की तापमान पर निर्भरता को सीधे मापकर किया जाता है, जिससे लागू वोल्टेज और इस प्रकार विभव की ऊंचाई स्थिर रहती है। बाहरी वोल्टेज को विभव की ऊंचाई से कम मान पर स्थिर रखा जाता है। हमारे प्रयोगात्मक सेट-अप में, तापमान के साथ धारा 1 का परिवर्तन लगभग 30 डिग्री सेल्सियस की सीमा में मापा जाता है, एक निश्चित वोल्टेज V (जो 1.8 वोल्ट्स है) पर जो Vo से थोड़ी कम रखी जाती है। Int बनाम 1/1 ग्राफ़ की ढलान (स्लोप) से प्लांक के स्थिरांक की गणना की जा सकती है

$$V_e = V - \left[ \frac{\Delta \ln I}{\Delta T^{-1}} \times \frac{K}{e} \times \eta \right]$$
$$h = eV_- \lambda / c$$

एलईडी की संपर्क प्रतिरोध सामान्यतः लगभग । ओम के आसपास होती है, जबकि लागू वोल्टेज (1.8V) पर एलईडी की कुल आंतरिक प्रतिरोध कुछ सौ ओम होता है। इसलिए, समीकरण V=Vm-RI, में 1 को नकारा जा सकता है।

# फॉर्मूला:

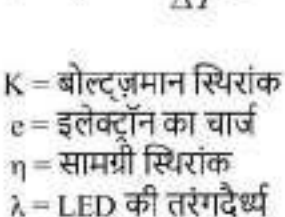
प्लांक का स्थिरांक.

$$h = \frac{e \times V_o \times \lambda}{c}$$

जहां

$$V_o = V - \left[ \frac{\Delta \ln I}{\Delta T^{-1}} \times \frac{K}{e} \times \eta \right]$$

ग्राफ़ की ढलान (स्लोप),  $\frac{\Delta \ln}{\Delta T}$ 



c = प्रकाश की गति



Figure 1: The experimental serup.

# प्रकिया:

तापमान गुणांक को खोजने के लिए स्थिर लागू वोल्टेज पर तापमान (T) पर धारा (I) की निर्भरता के लिए:

- मोड स्विच को V-I साइड पर रखें और LED के बैंड-गैप से थोड़ा नीचे, यानी पीले और लाल LED दोनों के लिए 1.8V. वोल्टेज को एडजस्ट करें।
- दो-तरफा स्विच के मोड को T-1 साइड में बढलें।



Figure 2: A close view of the LED.

- LED को ओवन में डालें और LED के दूसरे सिरे को सेटअप पर प्रदान किए गए सॉकेट में कनेक्ट करें। ओवन को कनेक्ट करने से पहले, जांच लें कि ओवन स्विच बंद स्थिति में है और सेट तापमान नॉब न्यूनतम स्थिति में है। अब पहला DPM परिवेश तापमान को पढ़ेगा।
- सेट-तापमान नाँब की सहायता से विभिन्न तापमान 20, 25, 30... डिग्री सेल्सियस सेट करें। प्रत्येक सेट तापमान पर लगभग 5 मिनट प्रतीक्षा करें ताकि तापमान स्थिर हो जाए और तापमान और तब धारा की रीडिंग लें।
- तापमान का व्युत्क्रम (inverse) निकालें और In I v/s (1/T) के बीच ग्राफ खींचें।

# अवलोकन:

• नमूनाः (लाल / पीला) एलईडी

- वोल्टेज: 1.803V (सम्पूर्ण रीडिंग सेट के लिए स्थिर)
- लाल एलईडी का सामग्री स्थिरांक (n) = 1.755
- पीला एलईडी का सामग्री स्थिरांक (n) = 1.782
- बोल्ट्ज़मान स्थिरांक (k) 1.38×10<sup>-23</sup> J/Kelvin
- इलेक्ट्रॉन चार्ज (e) = 1.602×10<sup>-19</sup> कूलॉम्ब
- पीले प्रकाश की तरंगदैर्ध्य (λ) = 5800×10<sup>-8</sup> सेमी
- लाल प्रकाश की तरंगदैर्ध्य (λ) = 6400×10<sup>-8</sup> सेमी

तालिका: करंट के तापमान गुणांक की निर्धारण

S.No.	Temperature (°C)	Temperature (°K)	1/T (K <sup>1</sup> )	Current I (mA)	InI (I in mA)
1.	30				
2.	35				
3.	40				
4.	45				
5.	50				
6.	55				
7.	60				

# गणनाएँ:

in I v/s (1/T) के बीच ग्राफ खींचें, ग्राफ़ की ढलान (स्लोप) निकालें.

$$\frac{\Delta \ln I}{\Delta T^{-1}} =$$

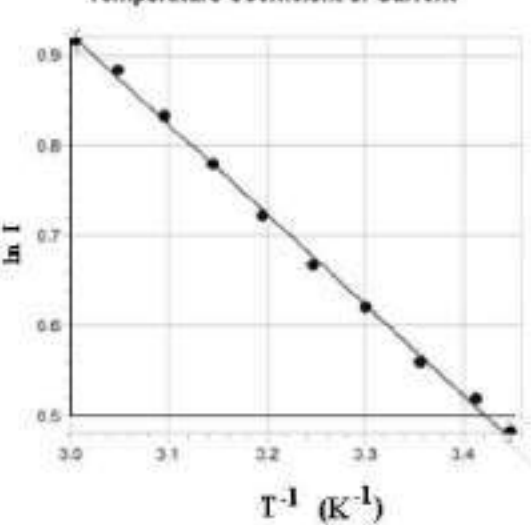
और 🗸 की गणना करें

$$V_o = V - \left[ \frac{\Delta \ln I}{\Delta T^{-1}} \times \frac{K}{e} \times \eta \right]$$

प्लांक का स्थिरांक (b) की गणना करें

$$h = \frac{e \times V_o \times \lambda}{c}$$

# Temperature Coefficient of Current



# परिणाम:

प्तांक का स्थिरांक (h) =.....Joules.sec

# सावधानियाँ:

- एलईडी के V−IV-IV−I विशेषताओं को बहुत कम करंट (1000µA तक) पर ही मापें, ताकि V0V 0V0 में न्यूनतम परिवर्तन हो।
- T-IT-IT-I मोड में, सुनिश्चित करें कि ओवन स्विच 'OFF' पर हो और सेट तापमान नॉब न्यूनतम स्थिति पर हो, इससे पहले कि ओवन को कनेक्ट किया जाए।
- iii. प्रत्येक तापमान सेटिंग पर, तापमान को स्थिर होने के लिए पर्याप्त समय दें, लगभग 5-6 मिनट।

# MAULANA AZAD NATIONAL INSTITUTE OF TECHNOLOGY, BHOPAL DEPARTMENT OF PHYSICS

# B.Tech. I Sem/II sem EXPERIMENT: PHOTOCONDUCTIVITY

OBJECTIVE: To measure the I-V characteristic of CdS as a function of irradiance and applied voltage, respectively

APPARATUS: light source (yellow light bulb), lamp housing, adjustable slit, polarizer, analyzer, voltage source 1) 2-12V 2) 0-16 V, focusing lense, optical bench.

INTRODUCTION: When the light radiations fall on a semiconducting or insulating crystal an increase in the electrical conductivity of the material results. This is recognized as the phenomenon of photoconductivity. The prime features of photoconductivity are

- 1) Photoconductivity of a given material depends upon the wavelength of light.
- Presence of impurities substantially affects photoconductivity of the material since some impurities may reduce its photosensitivity.
- Illumination has a direct impact on charge carrier concentration of the material.

### THEORY:

When a material is exposed to the illumination of an appropriate wavelength that is equivalent or more than its bandgap (Eg) then there is a higher probability for transition of its charge carriers from valence to conduction band. The free electron-hole pairs produced in this manner serve as carriers of electrical conductivity. This excitation of charge carriers results into photoconductivity when there is potential difference applied to the material. Photoconduction however is not an intrinsic phenomenon of a material. It depends upon the parameters like irradiance, temperature and the trap distribution across its band gap. Traps are nothing but the discrete energy levels of certain imperfections distributed across forbidden band gap of the material. Role of imperfections or traps is vital in the sense that traps of the form of recombination centers reduce photoconductivity whereas the activation centers tend to increase or contribute to it. Hence evaluation of photoconductivity of the given material (CdS) is targeted as, 1) Study of photoconductivity (I-V) characteristic of CdS with respect to the variation in irradiance. 2) Study of photoconductivity (I-V) characteristic of CdS with respect to the variation in potential difference applied to CdS.

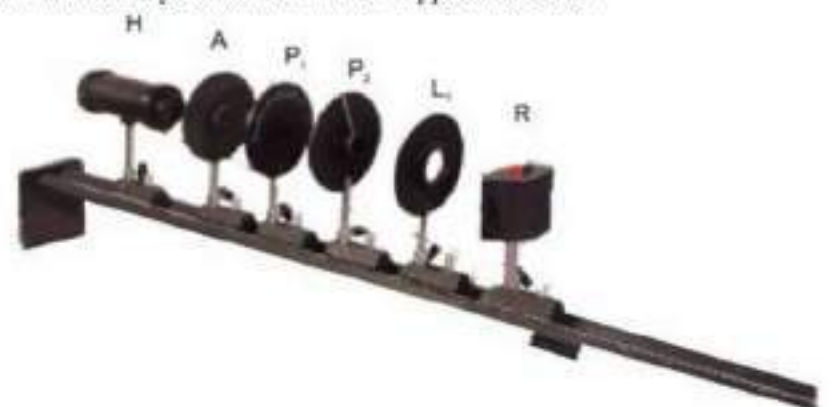


Figure 1: set-up for measurement of photoconductivity of the given crystal. Lamp hosing (H), lamp housing (H), adjustable slit (A), olarizer (P<sub>1</sub>), analyser (P<sub>2</sub>), lense (L) and photo-resistor material (R)

### PROCEDURE:

- Mount the lamp housing (H), adjustable slit (A), polarizer (P<sub>1</sub>), analyser (P<sub>2</sub>), lense (L) and photo-resistor material (R) on the optical bench as in following Fig.1.
- (2) Connect the leads of the lamp housing to the power supply (0-12 V A.C./ D.C., 5 amp.) and apply 10V A.C. to the lamp
- (3) Adjust the heights of lamp housing (H), adjustable slit (A), polarizer (P1), analyzer (P2), lens (L) and photo-resistor material (R), so that all these are fixed on the same optical axis.
- (4) Make the connections to photo-resistor and the given photo-current measuring unit (multimeter) as shown in the following Fig. 2.
- (5) Set both of polarizer and analyzer at the 0<sup>0</sup> mark initially.
- (6) Adjust the lamp, lense, and photoresistor to make a homogeneous beam of light fall straight on the surface of photoresistor.
- (7) Apply a D.C. voltage of 12 V to the photoresistor.
- (8) Adjust the width of slit to make a 9 mA current flow through the photo-resistor. Keep this width fixed throughout the experimentation.

# (a) Measurement of photocurrent as function of irradiance (a) at constant voltage.

- (9) Apply a constant voltage 2.0V D.C. to the photorseistor, vary the angle of polarizer and analyser 90°,60° ... to 0°and record the corresponding variation in the photocurrent I<sub>ph</sub>.
- (10) Similarly measure photocurrent for each fixed voltage 6.0 and 12.0 by vary the angle of polarizer and analyser and record in table 1.

# (b) Measurement of photocurrent as function of D. C. voltage applied to the crystal at constant irradiance

- (11) Fix the angle 90° and vary the applied voltage 2.0V D.C. to 12.0V D.C. and measure the corresponding variation in the photocurrent I<sub>ph</sub>.
- (12) Similarly measure photocurrent for fixed angle 60°, 30° and 0° by vary the voltage and record in table 2.

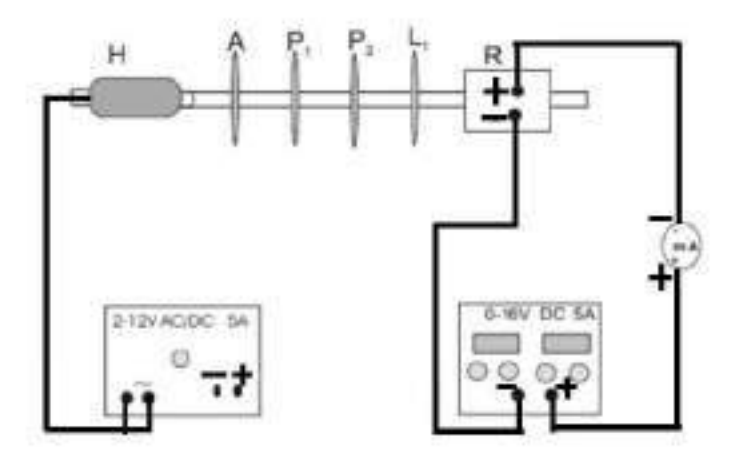


Figure 2: schematic representation of circuit connections for measurement set-up for measurement of photoconductivity of the given crystal.

### OBSERVATIONS:

### TABLE 1

S.No.	Irradiance (α)	Cos² α	Photocurrent with respect to the varying voltage (Iph mA)			
			2V	6V	12V	
1.	900					
2.	60 <sup>0</sup>					
3.	45°					
4.	30°					
5.	15 <sup>0</sup>					
6.	00					

### TABLE 2:

S.No.	D.C. Voltage applied to the	Photocurrent with respect to the varying irradiance, (I <sub>ph</sub> mA)				
	CdS crystal (V)	900	60°	300	00	
1.	2					
2.	4					
3.	6					
4.	8					
5.	10					
6.	12					

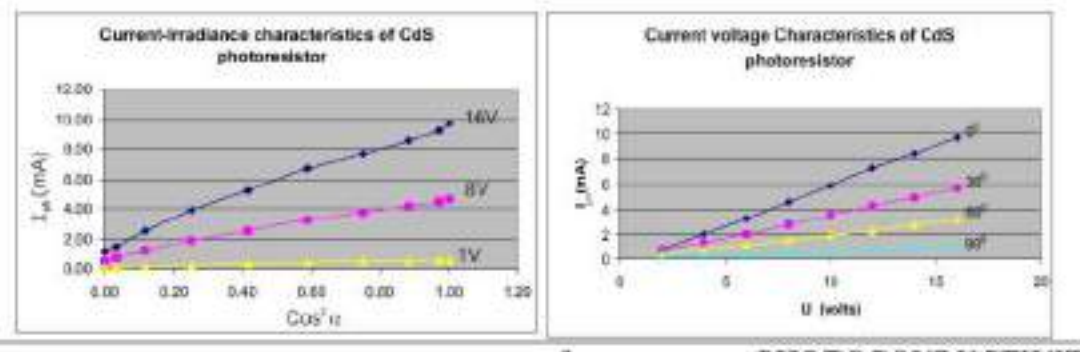
# CALCULATION/PLOT THE GRAPH:

- a. Calculate Cos²α in table 1 and draw a Cos²α V/S I<sub>ph</sub> graph.
   b. Draw a Voltage V/S I<sub>ph</sub> graph using the data of table 2.

RESULT: The photoconducting CdS crystals behave like an ohmic resistance that depends on irradiance

# SOURCES OF ERRORS AND PRECAUTIONS:

- i) Use a stable and calibrated light source to ensure consistent irradiance during measurements.
- ii) Maintain a constant temperature, as photoconductivity is temperature-dependent also.
- iii) Ensure that the light beam is accurately aligned with the photoconductive material.
- iv) Apply the appropriate voltage to avoid damaging the photoconductive material.



# मौलाना आजाद राष्ट्रीय प्रौद्योगिकी संस्थान, भोपाल भौतिकी विभाग

# बी.टेक. प्रथम / द्वितीय सेमेस्टर प्रयोग: प्रकाशचालकता (फ़ोटोकंडक्टिविटी)

उद्देश्य: प्रकाश-विकिरण और लागू वोल्टेज के फलन रूप में CdS की 1-V विशेषता को समझें।

उपकरण: प्रकाश स्रोत (पीला प्रकाश बल्ब), लैंप हाउसिंग, एडजस्टेबल स्लिट, पोलराइज़र, विश्लेषक, वोल्टेज स्रोत 1) 2-12 वी 2) 0-16 वी, फोकसिंग लेंस, ऑप्टिकल बेंच।

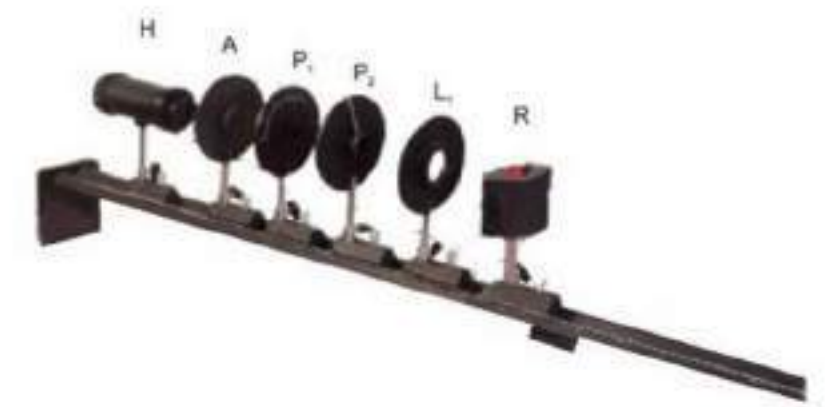
# सिद्धांत:

परिचय: जब प्रकाश विकिरण अर्धचालक या इन्सुलेटिंग क्रिस्टल पर पड़ता है, तो पदार्थ की विद्युत चालकता में वृद्धि होती है। इसे फोटोकंडिक्टिविटी की घटना के रूप में पहचाना जाता है। फोटोकंडिक्टिविटी की मुख्य विशेषताएं हैं,

किसी दिए गए पदार्थ की फोटोकंडिक्टिविटी प्रकाश की तरंग दैर्ध्य पर निर्भर करती है।

 अशुद्धियों की उपस्थिति पदार्थ की फोटोकंडिक्टिविटी को काफी हद तक प्रभावित करती है क्योंकि कुछ अशुद्धियाँ इसकी फोटोसेंसिटिविटी को कम कर सकती हैं।

3) प्रकाश का पदार्थ के चार्ज वाहक सांद्रता (चार्ज करिएर कंसंट्रेशन) पर सीधा प्रभाव पड़ता है। जब कोई सामग्री उचित तरंग दैर्ध्य की रोशनी के संपर्क में आती है जो उसके बैंडगैप (जैसे) के बराबर या उससे अधिक होती है तो उसके चार्ज वाहक के वैलेंस से कंडक्शन बैंड में संक्रमण की उच्च संभावना होती है। इस तरीके से उत्पादित मुक्त इलेक्ट्रॉन-होल जोड़े विद्युत चालकता के वाहक के रूप में कार्य करते हैं। जब सामग्री पर विभवांतर (पोटेंशियल डिफरेंस) लागू होता है तो चार्ज वाहकों की यह उत्तेजना फोटोकंडिवटिवटी में परिणत होती है। हालांकि फोटोकंडिवटिवटी किसी पदार्थ की आंतरिक घटना नहीं है। यह विकिरण, तापमान और उसके बैंडगैप में ट्रैप वितरण जैसे मापदंडों पर निर्भर करता है। ट्रैप पदार्थ के निषद्ध बैंडगैप में वितरित कुछ खामियों के असतत ऊर्जा स्तर हैं। खामियों या ट्रैप की भूमिका इस मायने में महत्वपूर्ण है कि पुनर्सयोजन (रिकॉम्बिनेशन) केंद्रों के रूप के ट्रैप फोटोकंडिक्टिवटी को कम करते हैं जबिक सिक्रयण (एक्टिवेशन) केंद्र इसे बढ़ाते हैं या इसमें योगदान देते हैं। इसलिए दिए गए पदार्थ (CdS) की फोटोकंडिक्टिवटी का मूल्यांकन इस प्रकार लिक्षत है, 1) विकिरण में भिन्नता के संबंध में CdS की फोटोकंडिक्टिवटी (I-V) विशेषता का अध्ययन। 2) सीडीएस पर लागू विभवांतर में परिवर्तन के संबंध में सीडीएस की फोटोकंडिक्टिवटी (I-V) विशेषता का अध्ययन।



चित्र 1: दिए गए क्रिस्टल की फोटोकंडक्टिविटी मापने के लिए सेट-अप। लैंप होसिंग (H), लैंप हाउसिंग (H), एडजस्टेबल स्लिट (A), ओलराइज़र (P1), एनालाइज़र (P2), लेंस (L) और फोटो-रेज़िस्टर मटीरियल (R)

# प्रक्रिया:

स्थिर वोल्टेज पर विकिरण (a) के कार्य के रूप में फोटोकरंट का मापन।

(1) लैंप हाउसिंग (एच), समायोज्य स्लिट (ए), पोलराइज़र (पी1), विश्लेषक (पी2), लेंस (एल) और फोटो-रेज़िस्टर सामग्री (आर) को ऑप्टिकल बेंच पर निम्न चित्र 1 के अनुसार माउंट करें।

(2) लैंप हाउसिंग के लीड़ को बिज़ली की आपूर्ति (0-12 वी ए.सी./ डी.सी., 5 एम्पियर) से कनेक्ट करें

और लैंप पर 10 वी ए.सी. लागू करें

- (3) लैंप हाउसिंग (H), समायोज्य स्लिट (A), पोलराइज़र (P1), विश्लेषक (P2), लेंस (L) और फोटो-रेज़िस्टर सामग्री (R) की ऊंचाइयों को समायोजित करें, तािक ये सभी एक ही ऑप्टिकल अक्ष पर स्थिर हो जाएं।
- (4) फोटो-रेजिस्टर और दिए गए फोटो-करंट मापने वाली इकाई (मल्टीमीटर) के कनेक्शन को निम्न चित्र 2 में दिखाए अनुसार बनाएँ।

(5) पोलराइज़र और एनालाइज़र दोनों को शुरू में 00 मार्क पर सेट करें।

(6) लैंप, लेंस और फोटोरेजिस्टर को इस तरह से एडजस्ट करें कि प्रकाश की एकसमान किरण सीधे फोटोरेजिस्टर की सतह पर पड़े।

(7) फोटोरेज़िस्टर पर 12 V का D.C. वोल्टेज लगाएँ।

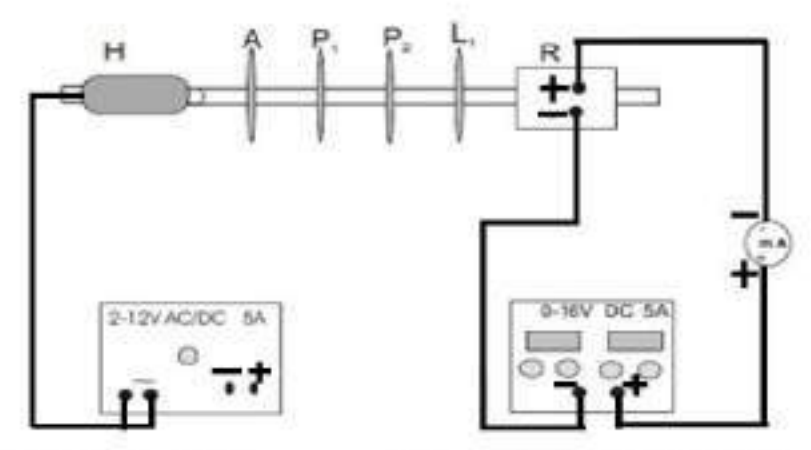
(8) फोटोरेजिस्टर से 9 mA करंट प्रवाहित करने के लिए स्लिट की चौड़ाई को एडजस्ट करें। पूरे प्रयोग के दौरान इस चौड़ाई को स्थिर रखें।

(ए) स्थिर वोल्टेज पर विकिरण (α) के फलन के रूप में फोटोकरंट का मापन।

- (9) फोटोरिस्टर पर स्थिर वोल्टेज 2.0V D.C. लागू करें, पोलराइज़र और विश्लेषक के कोण को 90° ,60° ... to से 0° तक बदलें और फोटोकरंट Iph में संगत परिवर्तन रिकॉर्ड करें।
- (10) इसी तरह पोलराइज़र और विश्लेषक के कोण को बदलकर प्रत्येक स्थिर वोल्टेज 6.0 और 12.0 के लिए फोटोकरंट मापें और तालिका 1 में रिकॉर्ड करें।

# (बी) स्थिर विकिरण पर क्रिस्टल पर लागू डी.सी. वोल्टेज के फलन के रूप में फोटोकरंट का मापन

- (11) कोण 900 तय करें और लागू वोल्टेज 2.0V D.C. को 12.0V D.C. तक बदलें और फोटोकरंट Iph में संगत परिवर्तन मापें।
- (12) इसी तरह वोल्टेज को बदलकर स्थिर कोण 60°, 30° और 0° के लिए फोटोकरंट मापें और तालिका 2 में रिकॉर्ड करें।



चित्र 2: दिए गए क्रिस्टल की प्रकाशचालकता के मापन हेत् सेट-अप का सर्किट कनेक्शन।

# प्रेक्षण/ अवलोकनः

# तालिका 1:

S.No.	Irradiance (a)	Cos² α	Photocurrent with respect to the varying voltage (l <sub>sh</sub> mA)			
			2V	6V	12V	
7.	900				17,750	
8.	60°					
9.	45°					
10.	300					
11.	150					
12.	00					

# तालिका 2:

S.No.	D.C. Voltage applied to the	Photocurrent with respect to the varying irradiance, (Iph mA)				
	CdS crystal (V)	900	60 <sup>0</sup>	300	00	
7.	2		3500		21000	
8.	4					
9.	6					
10.	8					
11.	10			0 0		
12.	12			(0 V)		

# गणना/ग्राफ प्लॉट करें:

- a. तालिका 1 में Cos2α की गणना करें और Cos2 α V/S Iph ग्राफ बनाएं।
- b. तालिका 2 के डेटा का उपयोग करके वोल्टेज V/S Iph ग्राफ बनाएं।

परिणाम: फोटोकंडक्टिंग CdS क्रिस्टल एक ओमिक प्रतिरोध की तरह व्यवहार करते हैं जो विकिरण पर निर्भर करता है

त्रुटियों के स्रोत और सावधानियाँ:

- माप के दौरान लगातार विकिरण सुनिश्चित करने के लिए एक स्थिर और कैलिब्रेटेड प्रकाश स्रोत का उपयोग करें।
- एक स्थिर तापमान बनाए रखें, क्योंकि फोटोकंडक्टिविटी तापमान पर भी निर्भर है।
- सुनिश्चित करें कि प्रकाश किरण फोटोकंडक्टिव सामग्री के साथ सटीक रूप से सरिखित है। फोटोकंडक्टिव सामग्री को नुकसान पहुंचाने से बचने के लिए उचित वोल्टेज लागू करें।

